

Effiziente parallele Algorithmen für Bäume und modulare Erweiterungen

Dem Fachbereich 11 (Mathematik und Informatik) der
Gerhard–Mercator–Universität — Gesamthochschule Duisburg
vorgelegte Diplomarbeit zur Erlangung des akademischen Grades

Dipl.-Math.

von

Thomas Szymczak

aus

Dinslaken (NRW)

Gutachter: Prof. Dr. Andreas Brandstädt
Zweitgutachter: (wird vom Prüfungsausschuß bestimmt)

Inhaltsverzeichnis

1	Einführung	1
1.1	Einleitung und Gliederung	1
1.2	Grundlagen und Definitionen	3
1.2.1	Mathematische Bezeichnungen	3
1.2.2	Graphentheoretische Grundlagen	4
1.2.3	Grundlagen für parallele Algorithmen	6
1.2.4	Grundlagen aus der Komplexitätstheorie	8
2	Auswertung algebraischer Ausdrücke	11
2.1	Konvertierung eines Wurzelbaums in einen regulären Wurzelbaum	11
2.2	Der Baum-Kontraktionsalgorithmus	13
2.3	Verfahren zur Auswertung algebraischer Ausdrücke	16
2.3.1	Das Bottom-up Verfahren B-ATC	16
2.3.2	Das Top-down Verfahren T-ATC	17
2.3.3	Die Funktionen B-ATC und T-ATC	18
3	Effiziente parallele Algorithmen für Bäume	21
3.1	Abstandsberechnungen	21
3.2	Die kgV-Berechnung in Bäumen	23
3.3	Berechnung einer Blätter-Eliminationsordnung	26
3.4	Dominationsprobleme	27
3.4.1	Das RDC -Problem	28
3.4.2	Das CRDS -Problem	32
3.4.3	Das RDHP -Problem	35
3.4.4	Das RDS -Problem	36
3.5	Übersicht der Algorithmen dieses Kapitels	36
4	Modulare Erweiterungen und Zerlegungen	39
4.1	Definitionen	39
4.2	Der einem Graphen zugehörige modulare Baum und Primgraph	40
4.3	Die Graphenklasse M	41

4.4	Erkennung modularer Erweiterungen von Graphen	44
4.5	Das RDS -Problem auf $MExt^*$ (Bäume)	51
4.5.1	Einschränkung des Problems auf spezielle Baumdarstellungen	51
4.5.2	Starke Blätter-Eliminationsordnungen	56
4.5.3	Der Algorithmus	58
4.6	NP -vollständige Probleme auf modularen Erweiterungen	68
	Literaturverzeichnis	71
	Symbol- und Sachwortverzeichnis	75
	Erklärung	79

Abbildungsverzeichnis

2.1	Beispiel einer Konvertierung von T in $B(T)$	12
2.2	Anwendung der Operationen $\text{Prune}(b)$, $\text{Bypass}(\text{parent}(b))$ auf ein Blatt b . . .	14
2.3	Die Operation (Op1)	16
3.1	Dominationsprobleme auf verschiedenen Graphenklassen	29
3.2	Inklusionshierarchie einiger Graphenklassen	30
3.3	Beispiel zum Algorithmus PCRDS	34
3.4	Skizze zum Beweis von Satz 3.4.6	35
4.1	Beispiel für den zugehörigen modularen Baum und Primgraphen eines Graphen	42
4.2	Ein Domino, Haus und ein „A“	51
4.3	Ein knotenbewerteter Graph aus $\text{MExt}^*(\mathbf{Bäume})$ in Baumdarstellung	55
4.4	Der gemäß Satz 4.5.1 konvertierte Graph aus Abbildung 4.3	55
4.5	Skizze zur Konvertierung in Satz 4.5.2	56
4.6	Der gemäß Satz 4.5.2 konvertierte Graph aus Abbildung 4.4	57
4.7	Zwei Beispiele zum RDS -Algorithmus auf $\text{MExt}^*(\mathbf{Bäume})$	67
4.8	Der Graph $G' := (G + x) \bowtie y$	69

Kapitel 1

Einführung

1.1 Einleitung und Gliederung

Viele Probleme, nicht nur aus der Informatik, lassen sich durch Graphen beschreiben. Klassische Beispiele hierfür sind u.a. das Stundenplanproblem (Problem der (zeitlichen) Einteilung der Lehrer einer Schule auf die Klassen), das Vier-Farben Problem (d.h. man möchte entscheiden, ob sich für jede Landkarte die Länder so mit vier Farben färben lassen, daß Länder mit einer gemeinsamen Grenze eine verschiedene Farbe erhalten) und Transportprobleme.

Doch für die meisten Probleme auf Graphen ist eine effiziente (polynomiale) Lösbarkeit nicht zu erwarten, da sie NP -vollständig sind. Daher hat man im Prinzip nur zwei Möglichkeiten:

1. Entwicklung von Approximationsheuristiken, d.h. man möchte polynomiell eine (möglichst gute) Näherungslösung für das gegebene Problem bestimmen.
2. Einschränkung der Eingabe, d.h. man gibt einen Algorithmus an, der das Problem effizient für Graphen einer speziellen Graphenklasse löst.

Die zweite Möglichkeit führte u.a. zur Einführung einer Fülle von Graphenklassen. Einen Überblick über etwa 120 Graphenklassen und deren Inklusionen findet man in dem Survey [Bra93].

Viele effiziente Algorithmen beruhen darauf, daß man einen unterliegenden Baum vorliegen hat (u.a. Heapsort, Suchbäume). Daher ist man zum einen bestrebt, effiziente Algorithmen für Bäume zu entwickeln, und zum anderen möchte man Graphenklassen mit einer gewissen Baumstruktur näher untersuchen.

Diese beiden Wege beschreiten wir auch in dieser Arbeit. Zunächst geben wir im ersten Kapitel die grundlegenden Bezeichnungen aus der Graphen- und Komplexitätstheorie an, die wir in den folgenden Kapiteln benötigen werden.

Anschließend, im zweiten Kapitel, beschreiben wir, wie man parallel effizient algebraische Ausdrücke auf Bäumen auswerten kann. Grundlage hierfür ist der optimale Baum-Kontraktionsalgorithmus von ABRAHAMSON ET ALTERA aus [ADKP89], der in Abschnitt 2.2 erklärt wird.

Im dritten Kapitel zeigen wir dann, daß sich einige Probleme auf Bäumen auf die Auswertung von algebraischen Ausdrücken zurückführen lassen. Unter Ausnutzung der Ergebnisse des

zweiten Kapitels erhalten wir somit effiziente parallele Algorithmen für diese Probleme. Unser Schwerpunkt liegt dabei auf den Dominationsproblemen.

Es sei $G = (V, E)$ ein Graph. Eine Menge $D \subseteq V$ heißt eine dominierende Menge, falls jeder Knoten $v \in V \setminus D$ zu einem Knoten aus D adjazent ist. Das **DS**-Problem besteht nun darin, eine (bzgl. der Kardinalität) minimale dominierende Menge zu berechnen. Es existieren viele Abwandlungen bzw. Verallgemeinerungen dieses **DS**-Problems, eine Übersicht einiger dieser Dominationsprobleme findet der Leser in Abschnitt 3.4.

Im letzten Kapitel beschäftigen wir uns mit modularen Erweiterungen von Graphen (bzw. Graphenklassen). Seien G und H zwei Graphen sowie v ein Knoten in G . Dann sei $\text{MExt}(G, v, H)$ derjenige Graph, den man erhält, wenn man den Graphen H „nachbarschaftstreu“ in den Knoten v (in G) einsetzt. Graphen, die durch endlichmalige Anwendung dieser „Operation“ aus G hervorgehen, bezeichnen wir als modulare Erweiterungen von G . (Eine mathematisch exakte Definition geben wir in Abschnitt 4.1 an. Dort wird auch die Namensgebung motiviert.) In den ersten drei Abschnitten dieses vierten Kapitels leiten wir zunächst einige, für die folgenden Abschnitte benötigte, theoretische Ergebnisse für modulare Erweiterungen und verwandte Begriffe her. In Abschnitt 4.4 zeigen wir dann, daß sich modulare Erweiterungen einer Graphenklasse \mathbf{G} , die bezüglich Primgraphbildung abgeschlossen ist, genauso effizient sequentiell und parallel erkennen lassen, wie Graphen aus \mathbf{G} . Hierbei erhalten wir auch eine Baumstruktur-Charakterisierung für modulare Erweiterungen von Bäumen.

Es gibt mehrere Möglichkeiten, eine Baumstruktur auf einer Graphenklasse zu definieren. So lassen sich z.B. recht viele Graphenklassen \mathbf{G} über Hyperbäume charakterisieren, d.h. man kann jedem Graphen G einen Hypergraphen $\mathcal{H}(G)$ so zuordnen, daß gilt: $\mathcal{H}(G)$ ist genau dann ein Hyperbaum (bzw. dualer Hyperbaum), wenn $G \in \mathbf{G}$ gilt.

Die bekanntesten Beispiele hierfür sind die chordalen, dual chordalen und distanz-erblichen Graphen:

Satz 1.1.1

Es gelten folgende Aussagen:

(1) ([Wal72], [Gav74], [Bun74])

Ein Graph G ist genau dann chordal, wenn der Hypergraph $\mathcal{C}(G)$ der maximalen Cliques in G ein dualer Hyperbaum ist.

(2) ([BDCV93])

Folgende Aussagen sind für einen Graphen G äquivalent:

(a) G ist dual chordal.

(b) $\mathcal{C}(G)$ ist ein Hyperbaum.¹

(c) Der Hypergraph $\mathcal{N}(G)$ der (abgeschlossenen) Nachbarschaften in G ist ein Hyperbaum.

(d) $\mathcal{N}(G)$ ist ein dualer Hyperbaum.

(3) ([Nic94b], [Nic94a])

Ein Graph G ist genau dann distanz-erblich, wenn der Hypergraph der maximalen zusammenhängenden Cographen in G ein dualer Hyperbaum ist. ■

¹Diese Eigenschaft zusammen mit (1) führte zur Namensgebung der „dual“ chordalen Graphen.

Bei modularen Erweiterungen von Bäumen (für diese Klasse schreiben wir im folgenden kurz $\text{MExt}^*(\mathbf{Bäume})$) erhält man eine noch „direktere“ Baumstruktur, eine sogenannte Baumdarstellung. Wir zeigen in Abschnitt 4.4, daß sich jeder Graph $G \in \text{MExt}^*(\mathbf{Bäume})$ wie folgt aus einem Baum erzeugen läßt: Es gibt einen Baum $T = (V, E)$ und eine Familie $(H_v)_{v \in V}$ von Graphen so, daß derjenige Graph, den man erhält, wenn man (nacheinander) für jedes $v \in V$ den Graphen H_v „Nachbarschaftstreu“ in v einsetzt, gleich G ist. (Man beachte, daß eine solche Baumdarstellung nicht sofort aus der Definition der modularen Erweiterungen zu erwarten ist.) Diese Baumstruktur nutzen wir im Abschnitt 4.5 aus, um einen sequentiellen Algorithmus zu entwickeln, der das **RDS**-Problem (eine Verallgemeinerung des **DS**-Problems) auf modularen Erweiterungen von Bäumen in Linearzeit löst. Der Algorithmus (bzw. der Beweis für die Korrektheit des Algorithmus) ist recht kompliziert und erfordert mehrfache Fallunterscheidungen, was zum Teil daran liegt, daß die Graphen, „die in dem unterliegenden Baum der Baumdarstellung eingesetzt sind“, beliebige Graphen sein können.

Die effiziente Lösbarkeit des **RDS**-Problem auf $\text{MExt}^*(\mathbf{Bäume})$ liegt auch an der „Natur“ der Dominationsprobleme (insbesondere in Hinblick auf Moduln). Denn, wie wir in Abschnitt 5.6 zeigen werden, sind viele der klassischen Graphenprobleme auf $\text{MExt}^*(\mathbf{Bäume})$ NP-vollständig (u.a. die Berechnung der Graphenparameter, das HAMILTONkreis- und HAMILTONpfad-Problem). Dies liegt u.a. daran, daß die Graphen aus $\text{MExt}^*(\mathbf{Bäume})$ im allgemeinen nicht perfekt sind (siehe Abschnitt 5.6).

1.2 Grundlagen und Definitionen

1.2.1 Mathematische Bezeichnungen

Wir geben hier nur diejenigen Bezeichnungen an, die häufig von Autor zu Autor variieren. Weitere Grundbegriffe setzen wir voraus.

Die natürlichen Zahlen (bzw. ganzen Zahlen) bezeichnen wir mit \mathbb{N} (bzw. \mathbb{Z}). In unserem Sinne ist 0 eine natürliche Zahl.

Ist M eine Menge und sind A, B zwei Teilmengen von M , so schreiben wir

- $|M|$ für die *Kardinalität* von M ,
- $A \subseteq B$, falls A eine Teilmenge von B ist,
- $A \subset B$, falls $A \subseteq B$ und $A \neq B$ erfüllt ist.

Es seien M eine Menge und $k \in \mathbb{N}$. Dann bezeichnen wir mit $\mathcal{P}_k(M)$ die *Menge aller k -elementigen Teilmengen von M* . Die *Potenzmenge* $\mathcal{P}(M)$ von M ist dann gegeben durch $\mathcal{P}(M) = \bigcup_{k \in \mathbb{N}} \mathcal{P}_k(M)$.

Zur Komplexitätsbeschreibung benutzen wir die LANDAUSchen Symbole: Seien $f, g : \mathbb{N} \rightarrow \mathbb{N}$ zwei Funktionen. Dann schreiben wir $f \in O(g)$, falls es natürliche Zahlen $C, n_0 \in \mathbb{N}$ so gibt, daß $f(n) \leq C \cdot g(n)$ für alle $n \geq n_0$ erfüllt ist.

1.2.2 Graphentheoretische Grundlagen

Es seien V eine endliche Menge und $E \subseteq \mathcal{P}_2(M)$. Dann nennen wir das Paar $G = (V, E)$ einen *Graphen*. Die Elemente aus V heißen *Knoten* und jedes $e \in E$ nennt man eine *Kante*. Graphen lassen sich durch Angabe von Inzidenzen in allgemeinerer Form definieren (vgl. [Bra94]). In diesem Sinne sind unsere Graphen ungerichtet, einfach (d.h. ohne Doppelkanten und Schlingen) und endlich.

Für eine Kante $\{x, y\} \in E$ schreiben wir kurz xy . x und y heißen in diesem Fall *benachbart* (oder *adjazent*).

Ist $U \subseteq V$, so bezeichnen wir mit $G(U)$ den von U in G induzierten Teilgraphen, d.h. $G(U) := (U, \mathcal{P}_2(U) \cap E)$. Für $G(V \setminus U)$ schreiben wir kurz $G - U$ und $G - u$, falls $U = \{u\}$ gilt.

Mit \overline{G} bezeichnen wir den zu G *komplementären Graphen*, d.h. $V(\overline{G}) := V$, $E(\overline{G}) := \mathcal{P}_2(V) \setminus E$.

G heißt *vollständig*, falls $E = \mathcal{P}_2(V)$. G heißt *unabhängig*, falls \overline{G} vollständig ist. Einen vollständigen Graphen mit n Knoten bezeichnen wir kurz mit K_n . Ist $U \subseteq V$, so nennen wir U eine *vollständige Menge*² (bzw. *unabhängige Menge*) in G , falls $G(U)$ vollständig (bzw. unabhängig) ist.

Sind $G_i = (V_i, E_i)$, $i = 1, 2$, zwei Graphen mit $V_1 \cap V_2 = \emptyset$, so bezeichnet $G_1 + G_2 = (V', E')$ die *disjunkte Vereinigung* von G , d.h. $V' = V_1 \cup V_2$ und $E' = E_1 \cup E_2$.³ Ist G ein Graph und $k \in \mathbb{N}$, $k \geq 2$, so sei $kG := \underbrace{G + \dots + G}_{k \text{ mal}}$.

Für $v \in V$ sei $N(v) := \{w \in V : vw \in E\}$ die (*offene*) *Nachbarschaft* und $N[v] := N(v) \cup \{v\}$ die *abgeschlossene Nachbarschaft* von v . Die Anzahl der Knoten aus $N(v)$ ist der *Grad* $\deg(v)$ von v . Dann gilt $2|E| = \sum_{v \in V} \deg(v)$ (*Handschlagslemma*). Ist $U \subseteq V$, so sei

$$N[U] := \bigcup_{u \in U} N[u] \quad (\text{bzw. } N(U) := N[U] \setminus U)$$

die (*offene*) *Nachbarschaft* (bzw. *abgeschlossene Nachbarschaft*) von U .

Die k -te *Nachbarschaft* $N^k(v)$ eines Knotens v sei die Menge aller Knoten aus V , die von v den Abstand k besitzen, d.h.

$$N^k(v) := \{w \in V : d(v, w) = k\}.$$

Die k -te *Disk* $D(v, k)$ um v sei die Menge aller Knoten aus V , die von v einen Abstand kleiner oder gleich k haben, also

$$D(v, k) := \{w \in V : d(v, w) \leq k\} = \bigcup_{i=0}^k N^i(v).$$

Ein *Pfad* von v_0 (*Anfangsknoten*) nach v_k (*Endknoten*) in G ist eine Familie (v_0, v_1, \dots, v_k) von paarweise verschiedenen Knoten (bis auf evtl. $v_0 = v_k$), so daß für alle $i \in \{0, \dots, k-1\}$

²Eine vollständige Menge in einem Graphen nennt man auch eine *Clique*.

³Sind V_1, V_2 nicht disjunkt, so definiert man $G_1 + G_2$, indem man V_1 mit $V_1 \times \{1\}$ und V_2 mit $V_2 \times \{2\}$ identifiziert.

gilt $v_i v_{i+1} \in E$ (Kurzschreibweise hierfür: $v_0 - v_1 - \dots - v_k$). Die Zahl k der Kanten des Pfades nennen wir die *Länge des Pfades*. Ein *Kreis* in G ist ein Pfad mit gleichem Anfangs- und Endknoten. Ein Pfad (bzw. Kreis) (v_0, \dots, v_k) heißt *sehenlos*, wenn $v_i v_j \notin E$ für alle $i, j \in \{0, \dots, k\}$ mit $|i - j| \geq 2$ (bzw. $v_i v_j \notin E$ für alle $i, j \in \{0, \dots, k - 1\}$ mit $|i - j| \geq 2 \pmod{k - 1}$). Sehenlose Pfade (bzw. Kreise) der Länge $n - 1$ (bzw. n), d.h. mit n Knoten, bezeichnen wir mit P_n (bzw. C_n).

Einen Pfad (bzw. Kreis) der Länge $|V| - 1$ (bzw. $|V|$) in G nennen wir einen HAMILTONPfad (bzw. HAMILTONkreis).

Sind $v, w \in V$, so sei mit $d_G(v, w)$ der *Abstand von v zu w* gemeint, das ist die minimale Länge eines Pfades von v nach w , falls ein solcher existiert. Existiert kein solcher Pfad, so setzen wir $d_G(v, w) := \infty$. Oft lassen wir auch den Index G weg, wenn keine Verwechslungen zu befürchten sind. Ist $v \in V$ und $W \subseteq V$ eine nichtleere Teilmenge von V , so sei

$$d(v, W) := \min_{w \in W} d(v, w).$$

G heißt *zusammenhängend*, wenn zwischen je zwei Knoten aus V ein Pfad existiert, der beide Knoten verbindet. $W \subseteq V$ heißt eine *Zusammenhangskomponente* von G , wenn $G(W)$ zusammenhängend ist und für jedes $v \in V \setminus W$ der Graph $G(W \cup \{v\})$ nicht zusammenhängend ist. Die Zusammenhangskomponenten von G bezeichnen wir mit $ZHK(G)$ und die Anzahl der Zusammenhangskomponenten von G mit $c(G)$. G heißt *kreisfrei*, wenn G keinen C_n , $n \geq 3$, als induzierten Teilgraphen enthält. Kreisfreie Graphen bezeichnet man auch als *Wälder*.

Ein Graph $T = (V, E)$ heißt *Baum* (oder auch *freier Baum*), wenn er zusammenhängend und kreisfrei ist. Ist zusätzlich ein bestimmter Knoten $w \in V$ ausgezeichnet, so nennen wir T einen *Wurzelbaum* mit *Wurzel* w . Wenn wir zum Ausdruck bringen möchten, daß es sich bei einem Baum T um einen Wurzelbaum mit Wurzel w handelt, so schreiben wir T_w für T . Die Knoten aus T , die Grad 1 besitzen, nennt man die *Blätter* in T .

In Bäumen gibt es bekanntlich für je zwei Knoten $u, v \in V$ genau einen Pfad, der beide Knoten verbindet (genauer sind Bäume sogar durch diese Eigenschaft charakterisiert). Diesen Pfad bezeichnen wir im folgenden mit $P(u, v)$.

Sei $T_w = (V, E)$ ein Wurzelbaum und $v \in V$. Jeden Knoten aus $P(v, w)$ nennt man einen *Vorgänger* von v und jeden Knoten aus $\{u \in V \setminus \{v\} : v \in P(u, w)\}$ einen *Nachfolger* von v . Vorgänger bzw. Nachfolger von v , die zu v benachbart sind, nennt man *unmittelbare Vorgänger* bzw. *unmittelbare Nachfolger*. Wegen der Kreisfreiheit hat jeder Knoten (außer w) genau einen unmittelbaren Vorgänger $\text{parent}(v)$. Häufig bezeichnet man den unmittelbaren Vorgänger auch als *Vater* und die unmittelbaren Nachfolger als *Söhne* oder *Kinder*. Die Anzahl der unmittelbaren Nachfolger eines Knotens v nennen wir den *Ausgangsgrad* $\text{outdeg}(v)$ und den Abstand von v zur Wurzel die *Tiefe* $\text{depth}(v)$ von v . Die Tiefe $\text{depth}(T)$ von T sei durch $\text{depth}(T) := \max_{v \in V} \text{depth}(v)$ definiert.

Ein Graph $G = (V, E)$ sei für uns in Adjazenzlistendarstellung gegeben, d.h. G wird beschrieben durch

- eine lineare Liste, welche die Knoten aus G in einer beliebigen Reihenfolge enthält,
- für jeden Knoten $v \in V$ sei eine (doppelt verkettete) lineare Liste (*Adjazenzliste* zu v) vorhanden, worin die Knoten aus $N(v)$ abgespeichert sind.

Für Wurzelbäume wählt man eine spezielle Darstellung. Für jeden Knoten v sei anstatt der Adjazenzliste ein Zeiger auf den unmittelbaren Vorgänger und eine (doppelt verkettete) lineare Liste der unmittelbaren Nachfolger gegeben.

Mit T_v bezeichnen wir den von v und seinen Nachfolgern induzierten Wurzelbaum mit Wurzel v .

Nun noch einige Bezeichnungen aus der Theorie der Hypergraphen. Ein Tupel $\mathcal{H} := (V, \mathcal{E})$ heißt *Hypergraph*, wenn $\mathcal{E} \subseteq \mathcal{P}(V)$. Häufig identifizieren wir \mathcal{H} mit \mathcal{E} . Mit $\mathcal{E}(v)$ meinen wir die Menge aller Hyperkanten aus \mathcal{E} , die den Knoten v enthalten. Ist $\mathcal{H} = (V, \mathcal{E})$ ein Hypergraph, so heißt $\mathcal{H}^* := (\mathcal{E}, \{\mathcal{E}(v) : v \in V\})$ der zu \mathcal{H} *duale Hypergraph*.

Ein Hypergraph $\mathcal{H} = (V, \mathcal{E})$ heißt *Hyperbaum*, wenn ein Baum T mit Knotenmenge V so existiert, daß $T(e)$ für jedes $e \in \mathcal{E}$ zusammenhängend ist. Ein Hypergraph \mathcal{H} heißt *dualer Hyperbaum*, wenn \mathcal{H}^* ein Hyperbaum ist, d.h. es existiert ein Baum T mit Knotenmenge \mathcal{E} , so daß $T(\mathcal{E}(v))$ für jedes $v \in V$ zusammenhängend ist. T nennen wir dann einen *unterliegenden Baum* von \mathcal{H} .

1.2.3 Grundlagen für parallele Algorithmen

Als Modell für die parallelen Algorithmen in dieser Arbeit benutzen wir die **PRAM** (*parallel random access machine*). Sie besteht aus einer gewissen Anzahl von (synchron arbeitenden) identischen Prozessoren (für die einzelnen Prozessoren benutzt man das Standardmodell der **RAM**, siehe etwa [AHU74]) und einem gemeinsamen Speicher (*shared memory*). In jedem Ausführungsschritt kann ein Prozessor eine Lese- oder Schreiboperation auf eine Speicherzelle oder eine Grundrechenfunktion durchführen. Hierbei kann es natürlich vorkommen, daß in einem Ausführungsschritt mehrere Prozessoren auf dieselbe Speicherzelle eine Lese- oder Schreiboperation ausführen möchten (*Speicherkonflikte*). Je nachdem, wie die Speicherkonflikte behandelt werden, unterscheidet man verschiedene Typen von **PRAMs**:

- Bei einer **EREW-PRAM** (*exclusive read, exclusive write*) sind gleichzeitige Schreib- und Leseoperationen mehrerer Prozessoren verboten.
- Bei einer **CREW-PRAM** (*concurrent read, exclusive write*) sind nur gleichzeitige Leseoperationen mehrerer Prozessoren erlaubt.
- Bei einer **CRCW-PRAM** (*concurrent read, concurrent write*) sind sowohl gleichzeitige Schreib- als auch gleichzeitige Leseoperationen mehrerer Prozessoren erlaubt. Zur Regelung, welcher Prozessor sich bei einem Schreibkonflikt durchsetzt, unterscheidet man weitere Subtypen (vgl. hierzu [Ja92]).

Viele Resultate über **PRAMs** findet man in dem Survey [Vis83].

Sei P ein algorithmisches Problem und $O(t_{\text{seq}})$ die Zeit, die ein schnellster sequentieller Algorithmus benötigt, um das Problem P zu lösen. Ein paralleler Algorithmus, der das Problem P in Zeit $O(t)$ mit $O(p)$ Prozessoren löst, heißt *speedup-optimal*, falls $O(p \cdot t) = O(t_{\text{seq}})$.

Jeden parallelen Algorithmus kann man *sequentialisieren*, indem man die Arbeit der Prozessoren taktweise nacheinander sequentiell ausführt. Ein solcher sequentieller Algorithmus benötigt dann die Zeit $O(p \cdot t)$. In dieser Hinsicht liefert ein speedup-optimaler paralleler Algorithmus einen schnellsten sequentiellen Algorithmus.

Seien J_1, \dots, J_n (unabhängige) Jobs (ein Job sei hierbei eine Folge von Grundrechenoperationen, d.h. ein Programm auf einer **RAM**). Die sequentielle Ausführungszeit von J_i , $i = 1, \dots, n$ betrage t_i . Gilt dann $t_i \in O(\log n)$ für alle $i = 1, \dots, n$ sowie $\sum_{i=1}^n t_i \in O(n)$,⁴ so lassen sich die Jobs J_1, \dots, J_n auf einer **EREW-PRAM** in $O(\log n)$ Zeit unter Benutzung von $O(n/\log n)$ Prozessoren ausführen ([CV86a]).

Läßt sich P parallel in Zeit $O(\log n)$ mit $O(n/\log n)$ Prozessoren lösen, wobei n die Länge der Eingabe bezeichne, so sprechen wir von einem *optimalen* parallelen Algorithmus bzw. von einem *optimal* parallel lösbaeren Problem. Damit läßt sich jedes optimal parallel lösbare Problem sequentiell in Linearzeit lösen.

Nun zu einigen Grundproblemen, die für viele parallele Algorithmen benötigt werden.

Es sei $L = v_1 \rightarrow v_2 \rightarrow \dots \rightarrow v_n$ eine lineare Liste und $f : \{v_1, \dots, v_n\} \rightarrow \mathbb{N}$ eine Bewertung der Listenelemente. Weiter sei $\otimes : \mathbb{N} \times \mathbb{N} \rightarrow \mathbb{N}$ eine assoziative binäre Verknüpfung auf \mathbb{N} derart, daß sich für alle $i, j \in \mathbb{N}$ der Funktionswert $i \otimes j := \otimes(i, j)$ sequentiell in konstanter Zeit $O(1)$ berechnen läßt. Das *Partialsummenproblem* (*partial sum computation problem*, *prefix computation problem*) besteht nun darin, für jedes $k \in \{1, \dots, n\}$ den Wert $d_f(v_k) := \bigotimes_{i=1}^k f(v_i)$ zu bestimmen.

Satz 1.2.1 ([CV86b])

Das Partialsummenproblem läßt sich auf einer **EREW-PRAM** optimal parallel lösen. ■

Folgende Spezialfälle des Partialsummenproblems treten häufig auf:

- *Gewichtetes list ranking Problem.*
Hier ist speziell $\otimes := +$.
- *List ranking Problem.*
Ist der Spezialfall des gewichteten list ranking Problems mit

$$f(v) := \begin{cases} 0, & \text{falls } v = v_1, \\ 1, & \text{falls } v \neq v_1. \end{cases}$$

$d_f(v)$ gibt dann den Abstand von v zum Listenanfang an, den man auch als *Rang* $\text{rank}(v)$ von v in der Liste L bezeichnet.

- *Maximums- bzw. Minimumsberechnung.*
Um das Maximum bzw. Minimum der Elemente einer linearen Liste zu berechnen, setzt man $\otimes := \max$ bzw. $\otimes := \min$. $d_f(v_n)$ ist dann das Maximum bzw. Minimum der Listenelemente.

In parallelen Algorithmen für Bäume ist es meist nötig, daß der Baum als Wurzelbaum vorliegt. Sei $T = (V, E)$ ein Baum und $w \in V$. Dann lassen sich die unmittelbaren Vorgänger und unmittelbaren Nachfolger der Knoten aus T_w optimal parallel berechnen ([GR88], p. 22f). Im folgenden verwenden wir die Funktion $\text{Root-Tree}(T, w)$, die den Baum T in den Wurzelbaum T_w „konvertiert“.

⁴Dies ist insbesondere dann der Fall, wenn $t_1 = \dots = t_n = 1$ gilt.

1.2.4 Grundlagen aus der Komplexitätstheorie

Eine ausführliche Darstellung dieses Themengebiets findet man in [GJ79] und [Rei90].

Da man jedes Entscheidungsproblem, entsprechend codiert, als Akzeptierungsproblem einer Sprache beschreiben kann, beschränken wir uns im folgenden auf Akzeptierungsprobleme.

Dazu sei Σ ein Alphabet und Σ^* die Menge der Wörter über Σ .

Dann besteht \mathbb{P} (bzw. \mathbb{NP}) aus allen Sprachen $L \subseteq \Sigma^*$, für die eine deterministische (bzw. nichtdeterministische) TURING Maschine existiert, die L in Polynomialzeit akzeptiert.

Eine Funktion f auf Σ^* heißt *polynomialzeit-berechenbar*, wenn sie sich auf einer deterministischen TURING-Maschine in polynomialer Zeit berechnen läßt.

Sind A, B Sprachen über Σ , so schreiben wir $A \leq_{\text{pol}} B$ (*A ist polynomialzeit-reduzierbar auf B*), wenn es eine polynomialzeit-berechenbare Funktion f auf Σ^* gibt, so daß für alle $x \in \Sigma^*$ gilt $x \in A \iff f(x) \in B$.

Eine Sprache A über Σ heißt \mathbb{NP} -vollständig, wenn

- $A \in \mathbb{NP}$.
- Für alle $B \in \mathbb{NP}$ gilt $B \leq_{\text{pol}} A$.

Offensichtlich gilt $\mathbb{P} \subseteq \mathbb{NP}$, doch die Frage, ob $\mathbb{P} \neq \mathbb{NP}$ gilt, ist schon seit langer Zeit ein ungeklärtes Problem der Komplexitätstheorie. Jedoch geht man davon aus, daß $\mathbb{P} \neq \mathbb{NP}$ gilt. Diese Vermutung wird zudem dadurch bekräftigt, daß bis heute eine Vielzahl \mathbb{NP} -vollständiger Probleme bekannt sind, für die man keine polynomialen Algorithmen kennt.

Um die \mathbb{NP} -Vollständigkeit einer Sprache zu beweisen, nutzt man bekannte, schon als \mathbb{NP} -vollständig bewiesene, Sprachen aus, denn es folgt aus der Transitivität der Relation „ \leq_{pol} “:

Satz 1.2.2

Es seien A, B Sprachen über Σ und $B \in \mathbb{NP}$. Dann gilt: Ist A \mathbb{NP} -vollständig und gilt $A \leq_{\text{pol}} B$, so ist auch B \mathbb{NP} -vollständig.

Analog läßt sich eine Theorie entwickelt, um die Parallelisierbarkeit von Problemen zu untersuchen.

Die Klasse \mathbb{NC} (*Nick's Class*)⁵ umfaßt genau diejenigen Sprachen, die sich auf einer **PRAM** in polylogarithmischer Zeit unter Benutzung von polynomial vielen Prozessoren akzeptieren lassen.⁶

Die Inklusion $\mathbb{NC} \subseteq \mathbb{P}$ ist klar, doch ob die Inklusion echt ist, ist ungeklärt. (Analogon zum Problem $\mathbb{P} \neq \mathbb{NP}$.)

Wie bei den \mathbb{NP} -vollständigen Problemen gibt es auch hier Probleme, die schwer parallelisierbar zu sein scheinen, die sogenannten \mathbb{P} -vollständigen Probleme.

Eine Funktion f auf Σ^* heißt *logspace-berechenbar*, wenn es eine deterministische TURING-Maschine M mit Eingabe-, Arbeits- und Ausgabeband gibt, die f auf logarithmischem Raum berechnet.

⁵Der Name geht zurück auf Nicholas Pippenger.

⁶Der Typ der **PRAM** spielt hier keine Rolle, da man die verschiedenen Typen untereinander in logarithmischer Zeit simulieren kann, vgl. hierzu das Survey [Har94].

Wir schreiben $A \leq_{\text{logspace}} B$ (A ist *logspace-reduzierbar auf* B) genau dann, wenn eine logspace-berechenbare Funktion f auf Σ^* existiert, so daß für alle $x \in \Sigma^*$ gilt $x \in A \iff f(x) \in B$.

Ein Sprache A über Σ heißt \mathbb{P} -vollständig, wenn gilt:

- $A \in \mathbb{P}$.
- Für jedes $B \in \mathbb{P}$ gilt $B \leq_{\text{logspace}} A$.

Recht viele Probleme, auch wenn sie sich sequentiell in Linearzeit lösen lassen, sind \mathbb{P} -vollständig. Eines davon ist z.B. die Bestimmung einer **DFS**-Numerierung (= Numerierung der Knoten gemäß Tiefensuche) eines Graphen. Weitere \mathbb{P} -vollständige Probleme findet man z.B. in [GR88] oder [Ja92].

Kapitel 2

Auswertung algebraischer Ausdrücke

Im ersten Abschnitt dieses Kapitels zeigen wir zunächst, wie man einen Wurzelbaum T in einen regulären binären Wurzelbaum $B(T)$ konvertiert.

Will man ein Problem parallel auf einem Wurzelbaum T lösen, so ist dies meist problematisch, falls T einen „langen“ Pfad P enthält, dessen innere Knoten zu keinem Knoten aus $T - P$ adjazent sind. Dieses Problem läßt sich meist dadurch umgehen, indem man zunächst das Problem auf $B(T)$ löst und dann hieraus eine Lösung für T erhält.

Im zweiten Abschnitt geben wir den optimalen Baum-Kontraktionsalgorithmus von ABRAHAMSON ET ALTERA aus [ADKP89] an. Dieser wird zur Auswertung algebraischer Ausdrücke benützt.

Es gibt zwei verschiedene Methoden, um algebraische Ausdrücke auf Bäumen auszuwerten, ein Bottom-up und ein Top-down Verfahren, diese beschreiben wir im dritten Abschnitt.

2.1 Konvertierung eines Wurzelbaums in einen regulären Wurzelbaum

Es sei $T_w = (V, E)$ ein Wurzelbaum. T_w heißt ein *binärer Wurzelbaum* (kurz: *Binärbaum*), wenn jeder Knoten höchstens zwei Kinder besitzt. Ein Graph G heißt *regulär*, falls in G alle Knoten denselben Grad besitzen. Einen Wurzelbaum T_w nennen wir *regulär*, wenn jeder innere Knoten (d.h. ein Knoten, der kein Blatt ist) aus T genau zwei Kinder besitzt, die man (der Reihenfolge in der linearen Liste nach) *linkes* bzw. *rechtes Kind* nennt. Jeder reguläre Wurzelbaum ist natürlich ein Binärbaum.

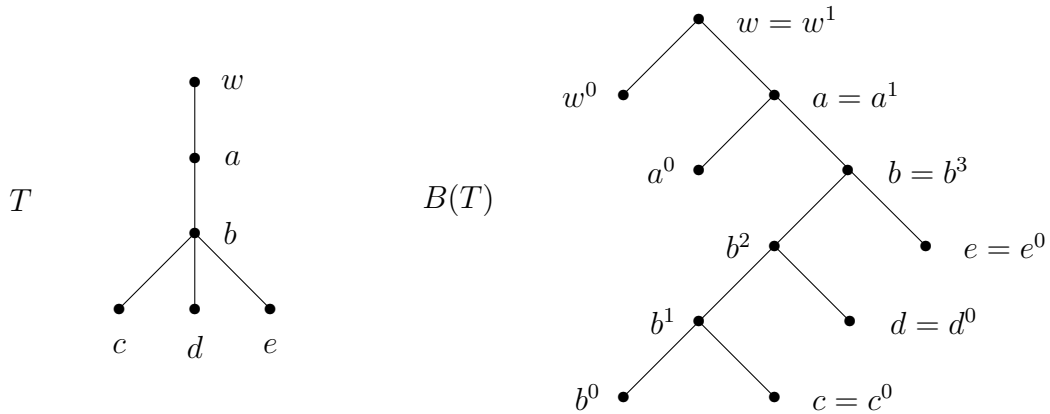
Es sei $T_w = (V, E)$ ein Wurzelbaum. Dann konvertieren wir T wie folgt in einen regulären Wurzelbaum $B(T) = (V', E')$:

- (1) (Wurzel)

Die Wurzel von $B(T)$ ist w .

- (2) (Knoten)

Für jeden Knoten $v \in V$ mit Ausgangsgrad $l = \text{outdeg}(v)$ nehmen wir Knoten $v^0, \dots, v^{l-1}, v^l = v$ in V' auf.

Abbildung 2.1: Beispiel einer Konvertierung von T in $B(T)$ 

(3) (Kanten)

Die Kantenmenge E' besteht aus zwei Komponenten:

(a) (interne Kanten E'_{int})

Für jeden Knoten $v \in V$ sei für $i = 0, \dots, \text{outdeg}(v) - 1$ der Knoten v^i das linke Kind von v^{i+1} .

(b) (externe Kanten E'_{ext})

Sei v ein Knoten aus V mit Kindern u_1, \dots, u_k . Die Numerierung der Kinder sei dabei durch die Position in der linearen Liste der Kinder von v gegeben. In $B(T)$ sei dann u_i das rechte Kind von v^i für $i = 1, \dots, \text{outdeg}(v)$.

Ein Beispiel für diese Konvertierung ist in Abbildung 2.1 dargestellt.

Ist $L : E \rightarrow \mathbb{N}$ eine Kantenbewertung eines Graphen $G = (V, E)$ und sind $u, v \in V$, so sei

$$L(u, v) := \min \left\{ \sum_{i=1}^{k-1} L(w_i, w_{i+1}) : u = w_1 - w_2 - \dots - w_k = v \right\}.$$

Lemma 2.1.1

Es sei $T_w = (V, E)$ ein Wurzelbaum und $B(T) = (V', E')$ wie oben definiert. Dann gelten folgende Aussagen:

(1) Ist $|V| > 1$ so gilt:

(a) $B(T)$ ist ein regulärer Wurzelbaum mit Wurzel w .

(b) Die Menge aller Blätter in $B(T)$ ist gegeben durch $\{v^0 : v \in V\}$.

(2) Die internen Kanten von $B(T)$ sind genau die Linkskanten in $B(T)$ (eine Kante $e = \{u, v\}$, $u = \text{parent}(v)$, heißt eine Linkskante, wenn v das linke Kind von u ist), und es gilt $|E'_{\text{ext}}| = |E|$.(3) $|V'| = 2|V| - 1$, $|E'| = 2|E|$.

- (4) Sei $L(e) = 1$ für alle externen Kanten und $L(e) = 0$ für alle internen Kanten. Dann gibt für alle $u, v \in V$ der Wert $L(u, v)$ in $B(T)$ den Abstand $d_T(u, v)$ von u und v in T an.
- (5) Die **DFS**-Reihenfolge (= Numerierung der Knoten gemäß dem Tiefensuche-Algorithmus) von $B(T)$ mit Startknoten w induziert in natürlicher Weise die **DFS**-Reihenfolge von T mit Startknoten w .¹
- (6) (Komplexität der Berechnung von $B(T)$)
- (a) $B(T)$ kann sequentiell in Linearzeit konstruiert werden.
- (b) $B(T)$ kann auf einer **EREW-PRAM** optimal parallel konstruiert werden.

Beweis. Die Aussagen (1) und (2) folgen direkt aus der Konstruktion von $B(T)$. Da in einem Baum $T = (V, E)$ gilt $|E| = |V| - 1$, folgt

$$|V'| = \sum_{v \in V} (1 + \text{outdeg}(v)) = 1 + \sum_{v \in V} \text{deg}(v) = 1 + 2|E| = 2|V| - 1$$

und $|E'| = |V'| - 1 = 2|E|$.

(4) und (5) folgen induktiv aus der Konstruktion von $B(T)$.

Nun zur Berechnung von $B(T)$. Zunächst numerieren wir die Kinder jedes Knotens gemäß ihrer Reihenfolge in der linearen Liste der Kinder (list ranking Problem). Nach Satz 1.2.1 geht dies optimal.² Der Wert $\text{nr}(v)$ gebe für $v \in V \setminus \{w\}$ die Position von v in der Adjazenzliste von $\text{parent}(v)$ an.

Da nach (3) gilt $|V'| = 2|V| - 1$ und wir die Ausgangsgrade der Knoten aus T bereits kennen ($\text{outdeg}(v) = \text{Rang}$ des letzten Knotens in der Adjazenzliste von v), können wir die lineare Liste, welche die Knoten aus V' enthält, optimal erzeugen.

Da $B(T)$ ein regulärer Wurzelbaum ist, benutzen wir für jeden Knoten $v \in V'$ anstatt der linearen Liste der Kinder von v zwei Parameter $\text{Lchild}(v)$ bzw. $\text{Rchild}(v)$, die das linke bzw. rechte Kind von v in $B(T)$ enthalten (falls v ein innerer Knoten ist). Die Kanten von $B(T)$ können dann wie folgt optimal erzeugt werden: Ist $v \in V$ ein Knoten mit $v \neq w$, $i := \text{nr}(v)$ und $u := \text{parent}(v)$, so setzen wir

$$\text{Lchild}(u_i) := u_{i-1}, \quad \text{Rchild}(u_i) := v. \quad \blacksquare$$

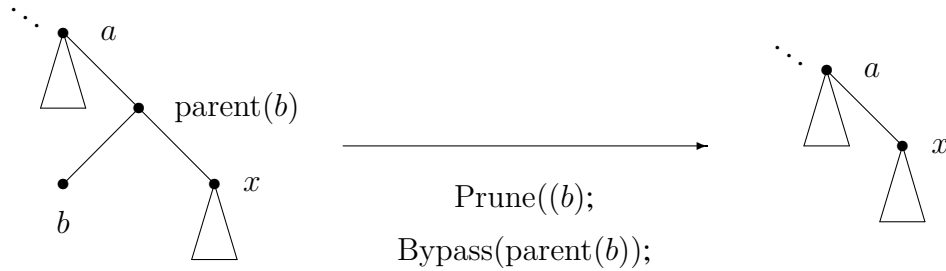
2.2 Der Baum-Kontraktionsalgorithmus von Abrahamson et alera

Sei T_w ein binärer Wurzelbaum. Der Algorithmus nutzt zwei fundamentale Operationen aus:

- (P) $\text{Prune}(b)$: Ist b ein Blatt in T , so entfernt die Operation $\text{Prune}(b)$ den Knoten b aus T .

¹Wenn wir von der **DFS**-Reihenfolge sprechen, so gehen wir davon aus, daß die Knoten im **DFS**-Algorithmus gemäß ihrer Reihenfolge in der Adjazenzliste durchlaufen werden.

²Wir fassen die einzelnen Adjazenzlisten als eine lineare Liste L auf. Die Länge von L liegt dann in $O(2|E|)$. Dann lösen wir das list ranking Problem auf L und bestimmen anschließend hieraus den Rang der Knoten für die einzelnen Adjazenzlisten.

Abbildung 2.2: Anwendung der Operationen $\text{Prune}(b)$, $\text{Bypass}(\text{parent}(b))$ auf ein Blatt b 

(B) $\text{Bypass}(v)$: Es sei $v \neq w$ ein Knoten aus T , der genau einen unmittelbaren Nachfolger u besitzt. Die Operation $\text{Bypass}(v)$ entfernt v aus T und setzt $\text{parent}(u) := \text{parent}(v)$.

Es seien T, T' zwei binäre Wurzelbäume. Weiter seien $P := \{b \in V(T) : b \text{ Blatt in } T\}$, $B := \{v \in V(T) : v \neq w \text{ besitzt genau einen Sohn}\}$ sowie $W := V(T) \setminus V(T') \subseteq B \cup P$. T' heißt eine (Baum-)Kontraktion von T , wenn T' wie folgt aus T hervorgeht: Zunächst wird, ausgehend von T , auf die Knoten aus $W \cap B$ die Operation (B) angewendet. Anschließend wendet man auf die Knoten aus $W \cap P$ die Operation (P) an.

Um die parallele Ausführbarkeit der einzelnen Operationen einer Kontraktion zu sichern, benötigen wir spezielle Kontraktionen. Es sei T' eine Kontraktion von T und $W := V(T) \setminus V(T')$. Gilt dann $\text{parent}(v) \notin W$ für alle $v \in W$, so heißt T' eine *unabhängige Kontraktion* von T .

Eine Folge T_1, \dots, T_k von Bäumen heißt eine (unabhängige) (Baum-)Kontraktionsfolge von T , wenn sie folgende Eigenschaften erfüllt:

- (1) $T_1 = T$,
- (2) $T_k = (\{w\}, \emptyset)$,
- (3) Für alle $i \in \{1, \dots, k-1\}$ ist T_{i+1} eine (unabhängige) Kontraktion von T_i .

Die Zahl k nennen wir die *Länge* der Kontraktionsfolge.

Natürlich besitzt jeder Wurzelbaum T_w eine Kontraktionsfolge der Länge $\text{depth}(T)$, indem man im i -ten Schritt, $i = 1, \dots, \text{depth}(T)$, auf alle Knoten v mit $\text{depth}(v) = \text{depth}(T) - i + 1$ die Operation (P) anwendet. Für optimale Algorithmen benötigt man aber Kontraktionsfolgen der Länge $O(\log |V|)$. Dazu definieren wir: Eine Kontraktionsfolge der Länge k eines Wurzelbaumes $T = (V, E)$ heißt *optimal*, wenn $k \in O(\log |V|)$.

In [ADKP89] wird gezeigt, daß jeder binäre Wurzelbaum eine optimale Baum-Kontraktionsfolge besitzt und daß sie effizient berechnet werden kann. Hierbei kann man sich auf reguläre Wurzelbäume beschränken, da sich aus einer Kontraktionsfolge von $B(T)$ leicht eine Kontraktionsfolge von T berechnen läßt.

Die Grundidee des Algorithmus besteht darin, in jedem Schritt parallel auf bestimmte Blätter v in T nacheinander die Operationen $\text{Prune}(v)$, $\text{Bypass}(\text{parent}(v))$ auszuführen, vgl. Abbildung 2.2. Hierbei muß natürlich die Unabhängigkeit der Kontraktionen gewährleistet bleiben. Dies geschieht dadurch, daß in jedem Schritt k folgendes beachtet wird:

- (1) Auf ein Blatt v (in T) mit Nummer $\text{nr}(v)$ (aus Zeile (2)) wird im Schritt k genau dann die Operation Prune angewendet, wenn

$$k = \min\{j \in \{1, \dots, \log |V|\} : \text{nr}(v) \bmod 2^{j-1} = 1\},$$

d.h. in der Darstellung von $\text{nr}(v)$ als Binärzahl ist k die erste Stelle von rechts, wo eine 1 steht.

- (2) Die sequentielle Abarbeitung der Zeilen (9) bis (18) sichert, daß nicht auf zwei benachbarte Knoten die Operation Bypass gleichzeitig angewendet wird (d.h. in jedem Schritt werden (nacheinander) zwei Kontraktionen durchgeführt).

Algorithmus von Abrahamson, Dadoun, Kirkpatrick und Przytycka

Eingabe : Ein regulärer binärer Wurzelbaum $T = (V, E)$ mit Wurzel w .

Ausgabe : Ein optimale Kontraktionsfolge von T .³

- ```

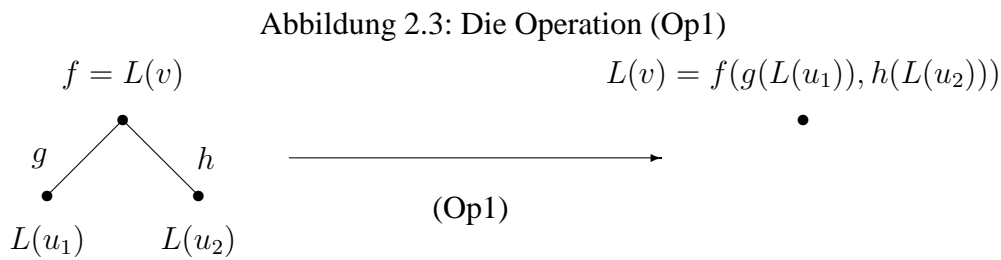
(1) begin
(2) Bestimme bei 0 beginnend parallel die Numerierung nr der Blätter von T
 von links nach rechts;
(3) repeat $\log |V|$ times
(4) for each Blatt b in parallel do
(5) begin
(6) $v := \text{parent}(b)$;
(7) if ($\text{nr}(b)$ ist ungerade) and ($v \neq w$)
(8) then begin
(9) if b ist linkes Kind von v
(10) then begin
(11) Prune(b);
(12) Bypass(v);
(13) end
(14) if b ist rechtes Kind von v
(15) then begin
(16) Prune(b);
(17) Bypass(v);
(18) end
(19) end
(20) else if $v \neq w$
(21) then $\text{nr}(b) := \text{nr}(b)/2$
(22) else Prune(b);
(23) end
(24) end.

```

#### Satz 2.2.1 ([ADKP89])

Der obige Algorithmus ist korrekt und läßt sich auf einer **EREW-PRAM** in  $O(\log |V|)$  Zeit mit  $O(|V|/\log |V|)$  Prozessoren implementieren. ■

<sup>3</sup>Hierbei wird nicht die gesamte Kontraktionsfolge erzeugt, sondern es werden nur die Knoten angegeben, die in jedem Kontraktionsschritt entfernt werden.



## 2.3 Die beiden Verfahren zur Auswertung algebraischer Ausdrücke

Sei  $T_w$  ein regulärer Wurzelbaum. Weiter sei  $S$  eine Menge,  $F \subseteq \{f : f : S \times S \rightarrow S\}$  eine Teilmenge von binären Funktionen auf  $S$  und  $H \subseteq \{h : h : S \rightarrow S\}$  eine Teilmenge von unären Funktionen auf  $S$ .

Es gibt zwei verschiedene Methoden zur Auswertung von algebraischen Ausdrücken (**ATC** = *algebraic tree computation*) auf Bäumen, ein Bottom–up und ein Top–down Verfahren, die wir im folgenden näher beschreiben werden. In beiden Verfahren ist eine Belegungsfunktion  $L : V \uplus E \rightarrow S \cup F \cup H$  gegeben.

### 2.3.1 Das Bottom–up Verfahren B–ATC

Hier sind die Blätter mit Elementen aus  $S$ , die inneren Knoten mit Elementen aus  $F$  und die Kanten mit Elementen aus  $H$  belegt. Das **B–ATC** (*Bottom–up algebraic tree computation*) Problem besteht nun darin, die Endbelegung der Wurzel zu bestimmen.

Wir betrachten die folgende Operation (Op1), vgl. auch Abbildung 2.3:

- (Op1) Ist  $v$  ein Knoten mit  $L(v) = f$ , dessen Kinder  $u_1, u_2$  Blätter sind, so entfernen wir  $u_1, u_2$  aus  $T$  und aktualisieren  $L(v)$  durch  $f(g(L(u_1)), h(L(u_2)))$ , wobei  $L(vu_1) = g$  und  $L(vu_2) = h$ .

Da  $T$  nach Voraussetzung ein regulärer Wurzelbaum ist, läßt sich  $T$  durch wiederholte Anwendung von (Op1) zur Wurzel reduzieren. Die Belegung der Knoten aus  $T$  nach dieser Reduktion (mit Belegung sei hier der  $L$ –Wert gemeint, wenn nur noch die Wurzel übrig ist) nennen wir die *Endbelegung* der Knoten.

Damit das **B–ATC** Problem effizient lösbar ist, muß man natürlich einige zusätzliche Forderungen an die beteiligten Funktionen stellen. Ein **B–ATC** Problem heißt *zerlegbar* genau dann, wenn die folgenden beiden Eigenschaften erfüllt sind:

- (B1) Die Mengen  $F$  und  $H$  seien als indizierte Mengen gegeben und die Funktionswerte der Funktionen aus  $F$  und  $H$  können in  $O(1)$  sequentieller Zeit berechnet werden.
- (B2) Für alle  $h_i, h_j, h_k \in H$ ,  $f_l \in F$  und  $a \in S$  gehören die Funktionen  $x \mapsto h_i(f_l(h_j(x), h_k(a)))$  und  $x \mapsto h_i(f_l(h_k(a), h_j(x)))$  zu  $H$  und ihre Indizes können in  $O(1)$  sequentieller Zeit berechnet werden.

Dann gilt:

**Satz 2.3.1 ([ADKP89])**

Zerlegbare **B-ATC** Probleme lassen sich auf einer **EREW-PRAM** in Zeit  $O(\log n)$  mit  $O(n/\log n)$  Prozessoren lösen. Ferner kann die Endbelegung aller Knoten des Baumes in derselben Zeit- und Prozessorkomplexität berechnet werden. ■

Grundlage des Beweises von Satz 2.3.1 ist der optimale parallele Baum-Kontraktionsalgorithmus aus dem zweiten Abschnitt.

Aus Satz 2.3.1 folgt sofort, daß sich jedes zerlegbare **B-ATC** Problem sequentiell in Linearzeit lösen läßt, indem man den parallelen Algorithmus sequenzialisiert. Eine andere Möglichkeit, um sequentiell die Endbelegung der Wurzel (oder aller Knoten) in Linearzeit zu bestimmen, besteht darin, den Baum rekursiv mit postorder (vgl. [Bra94], Seite 23f) auszuwerten. Hierzu verwendet man die folgende Funktion:

```

function Endbelegung(v : KnotenTyp);
begin
 if v ist ein Blatt
 then Endbelegung(v) := $L(v)$;
 else begin
 { v ist ein innerer Knoten von T }
 Sei u_L das linke Kind und u_R das rechte Kind von v ;
 a := Enbelegung(u_L);
 b := Enbelegung(u_R);
 Enbelegung(v) := $L(v)(a, b)$;
 end
end.

```

Der Wert  $\text{Endbelegung}(w)$  gibt dann die Endbelegung der Wurzel an.

### 2.3.2 Das Top-down Verfahren T-ATC

Hier wird die Wurzel mit einem Element aus  $S$ , die inneren Knoten und die Kanten werden mit einem Element aus  $H$  belegt. Das **T-ATC** (*Top-down algebraic tree computation*) Problem besteht darin, die Endbelegung aller Knoten aus  $T$  zu berechnen.

Wir betrachten die Operation (Op2):

(Op2) Ist  $v$  ein Knoten mit  $L(v) \in S$  und  $u$  ein Kind von  $v$  mit  $L(u) \notin S$ , so aktualisieren wir  $L(u)$  durch  $h(g(L(v)))$ , wobei  $g = L(uv)$  und  $h = L(u)$ .

Durch wiederholte Ausführung von (Op2) erreicht man, daß alle Knoten aus  $T$  mit Werten aus  $S$  belegt sind. Diese Belegung nennen wir dann die *Endbelegung* der Knoten.

Analog zum **B-ATC** Problem braucht man auch für das **T-ATC** Problem gewisse zusätzliche Voraussetzungen, damit das Problem effizient lösbar wird. Ein **T-ATC** Problem heißt *zerlegbar* genau dann, wenn die folgenden beiden Eigenschaften erfüllt sind:

(T1) Die Menge  $H$  ist indiziert und die Funktionswerte der Funktionen aus  $H$  können in  $O(1)$  sequentieller Zeit berechnet werden.

(T2) Für alle  $h_i, h_j \in H$  gehört die Funktion  $h_i \circ h_j$  zu  $H$  und ihr Index kann in  $O(1)$  sequentieller Zeit berechnet werden.

Dann gilt:

**Satz 2.3.2 ([ADKP89])**

Zerlegbare **T-ATC** Probleme lassen sich auf einer **EREW-PRAM** in Zeit  $O(\log n)$  mit  $O(n/\log n)$  Prozessoren lösen. ■

### 2.3.3 Die Funktionen **B-ATC** und **T-ATC**

Sei  $T_w$  ein (nicht notwendig regulärer und binärer) Wurzelbaum,  $l : V \rightarrow S$  eine Belegung der Knoten aus  $T$  mit Werten aus  $S$ ,  $a \in S$  und  $f \in F$  sowie  $h_e \in H$  für alle  $e \in E$ .

Im folgenden benutzen wir häufig die zwei Funktionen

$$\mathbf{B-ATC}(T_w, l, f) \quad \text{und} \quad \mathbf{T-ATC}(T_w, a, (h_e)_{e \in E}),$$

die wie folgt arbeiten: Zunächst konvertieren beide Funktionen den Baum  $T_w$  in den regulären Wurzelbaum  $T' := B(T_w)$ .

Die Funktion  $\mathbf{B-ATC}(T_w, l, f)$  löst anschließend das **B-ATC** Problem mit der Belegung  $L$  auf  $T'$ , wobei

- $L(v^0) := l(v)$  für alle Knoten  $v$  aus  $T$  (man beachte, daß nach Lemma 2.1.1 die Menge der Blätter in  $T'$  durch  $\{v^0 : v \in V\}$  gegeben ist),
- $L(v) := f$  für alle inneren Knoten  $v$  aus  $T'$ ,
- $L(e) := \text{id}$  für alle Kanten aus  $T'$ , wobei  $\text{id}$  die Identitätsfunktion auf  $S$  bezeichne.

Für jeden Knoten  $v$  aus  $T$  liefert die Funktion einen Wert aus  $S$  zurück und zwar die Endbelegung von  $v$  bzgl. des eben angegebenen **B-ATC** Problems auf  $T'$ .

Analog löst  $\mathbf{T-ATC}(T_w, a, (h_e)_{e \in E})$  das **T-ATC** Problem auf  $T'$  mit der folgenden Initialisierung

- $L(w) = a$  für die Wurzel  $w$ ,
- $L(v) = \text{id}$  für alle Knoten  $v \neq w$  aus  $T'$ ,
- $L(e) = \text{id}$  für alle internen Kanten und  $L(e) = h_{e'}$  für jede externe Kanten  $e = u_i v_j$ , wobei  $e' = uv$ .

Sind alle Funktionen  $h_e, e \in E$ , identisch, so schreiben wir für  $\mathbf{T-ATC}(T_w, a, (h_e)_{e \in E})$  kurz  $\mathbf{T-ATC}(T_w, a, h)$ , wobei  $h = h_e$ .

Aus Lemma 2.1.1 folgt sofort

**Lemma 2.3.3**

Sei  $T_w = (V, E)$  ein Wurzelbaum und  $g_1 := \mathbf{T-ATC}(T_w, a, (h_e)_{e \in E})$ . Weiter gebe  $g_2$  die Endbelegung der Knoten aus  $T$  an, wenn man das **T-ATC** Problem mit der Initialisierung

$$L(x) = \begin{cases} \text{id}, & \text{falls } x \in V, \\ h_x, & \text{falls } x \in E \end{cases}$$



auf  $T_w$  löst. Dann gilt  $g_1 = g_2$ . ■

Viele Graphenklassen lassen sich durch Eliminationsordnungen charakterisieren. So auch die Klasse der Bäume. Eine Folge  $\sigma = (v_1, \dots, v_n)$  von paarweise verschiedenen Knoten aus  $T$  heißt eine *Blätter-Eliminationsordnung* von  $T$ , wenn  $V = \{v_1, \dots, v_n\}$  und für  $i = 1, \dots, n-1$  der Knoten  $v_i$  ein Blatt in  $G_i := G(\{v_i, \dots, v_n\})$  ist.

Entlang einer Blätter-Eliminationsordnung lassen sich viele Graphenprobleme mit folgender Strategie lösen: Zu Beginn werden alle Knoten des Baumes mit einem Wert initialisiert. Anschließend wird wiederholt ein Blatt  $b$  gelöscht und der Wert des Nachbarn von  $b$  nach einer bestimmten Regel aktualisiert, bis nur noch ein Knoten übrig bleibt. Aus den Endbelegungen der Knoten bestimmt man dann eine Lösung für das gegebene Problem.

Dieses sequentielle Verfahren läßt sich in eine Instanz eines **B-ATC** Problems umwandeln, wie im nächsten Lemma beschrieben ist:

#### **Lemma 2.3.4**

Sei  $T_w = (V, E)$  ein Wurzelbaum,  $r : V \rightarrow M$  und  $f : M \times M \rightarrow M$  zwei Funktionen. Weiter sei  $L := \mathbf{B-ATC}(T, r, f)$ . Dann existiert eine Blätter-Eliminationsordnung  $\sigma = (v_1, \dots, v_n)$  mit  $v_n = w$ , so daß wir  $L$  sequentiell wie folgt erhalten können: Wir initialisieren  $L$  durch  $r$  und anschließend löschen wir für  $i = 1, \dots, n-1$  nacheinander  $v_i$  und aktualisieren die Belegung des unmittelbaren Nachfolgers  $u_i$  von  $v_i$  in  $G_i$  durch  $f(u_i, v_i)$ . ■



# Kapitel 3

## Effiziente parallele Algorithmen für Bäume

In diesem Kapitel geben wir effiziente parallele Algorithmen für Bäume an. In [HY88] wurden bereits optimale parallele Algorithmen für folgende Probleme (auf Bäumen) entwickelt:

- Berechnung einer minimalen Knotenüberdeckung (**Vertex Cover Problem**). Hierbei heißt eine Teilmenge  $V' \subseteq V(G)$  eines Graphen  $G$  eine *Knotenüberdeckung*, wenn  $e \cap V' \neq \emptyset$  für alle  $e \in E(G)$  gilt.
- Berechnung einer maximalen unabhängigen Menge.
- Berechnung eines maximalen Matchings (**Maximum Matching Problem**). Ein Matching (oder *unabhängige Kantenmenge*)  $M$  in  $G$  ist eine Teilmenge von  $E(G)$ , so daß für alle  $e_1, e_2 \in M$  mit  $e_1 \neq e_2$  gilt  $e_1 \cap e_2 = \emptyset$ .

### 3.1 Abstandsberechnungen

Sei  $\text{succ}$  die Successor-Funktion auf  $\mathbb{Z}$ , d.h.  $\text{succ}(a) := a + 1$  für alle  $a \in \mathbb{Z}$ .

#### Lemma 3.1.1

Sei  $T_w$  ein Wurzelbaum. Dann berechnet  $L := \mathbf{T-ATC}(T_w, 0, \text{succ})$  für jeden Knoten  $v$  aus  $T$  den Abstand  $d(v, w)$  von  $v$  zur Wurzel  $w$ , d.h.  $L = \text{depth}$ .

**Beweis.** Die Behauptung folgt unmittelbar aus Lemma 2.1.1 und Induktion. ■

Wir betrachten für einen Graphen  $G$  die folgenden zwei Abstandsprobleme:

- (**SSSP — single source shortest path**)  
Man möchte die Abstände aller Knoten aus  $G$  zu einem festen Knoten berechnen.
- (**APSP — all pairs shortest path**)  
Gesucht ist die Abstandsmatrix  $(d_G(u, v))_{(u,v) \in V \times V}$ .

Sequentiell läßt sich **SSSP** für beliebige Graphen mit **BFS** in Linearzeit lösen. Wir zeigen im folgenden, daß für Bäume beide Probleme optimal lösbar sind (bei **APSP** bezogen auf die Ausgabe).

**Folgerung 3.1.2**

Die Probleme **SSSP** und **APSP** lassen sich auf Bäumen optimal parallel (bei **APSP** bezogen auf die Ausgabe) auf einer **EREW-PRAM** lösen.

**Beweis.** Da das **T-ATC** Problem aus Lemma 3.1.1 zerlegbar ist, folgt die Behauptung unmittelbar aus Satz 2.3.2. ■

Das **SSSP** Problem läßt sich zum Problem **DistSet** wie folgt verallgemeinern: Sei  $D \subseteq V$  eine Teilmenge von  $V$ . Dann ist für alle Knoten  $v \in V$  der Abstand  $d(v, D) = \min_{d \in D} d(v, d)$  von  $v$  zur Menge  $D$  gesucht. Wir zeigen, daß sich auch dieses Problem auf Bäumen optimal lösen läßt. Sei dazu die Funktion  $f : \mathbb{Z} \times \mathbb{Z} \rightarrow \mathbb{Z}$  definiert durch  $f(a, b) := \min(a, b + 1)$ .

**Algorithmus PDistSet**

**Eingabe :** Ein Baum  $T = (V, E)$  und  $D \subseteq V$ .

**Ausgabe :** Eine Abbildung  $g : V \rightarrow \mathbb{N}$  mit  $g(v) = d(v, D)$  für alle  $v \in V$ .

- (1) **begin**
- (2) Sei  $w$  ein beliebiger Knoten aus  $T$ ;
- (3)  $T_w := \text{Root-Tree}(T, w)$ ;
- (4)  $n := |V|$ ;
- (5) **for all**  $v \in V$  **in parallel do**
- (6)     **if**  $v \in D$
- (7)         **then**  $L(v) := 0$
- (8)         **else**  $L(v) := n$ ;
- (9)      $M := \mathbf{B-ATC}(T_w, L, f)$ ;
- (10)      $g := \mathbf{T-ATC}(T_w, M(w), (\min(\cdot + 1, M(v)))_{e=vv' \in E, v > v'})$ ;<sup>1</sup>
- (11) **return**( $g$ );
- (12) **end.**

**Lemma 3.1.3**

Sei  $G := \{g_i : g_i : \mathbb{Z} \rightarrow \mathbb{Z}, i \in I\}$ , wobei  $I := \mathbb{Z}^2 \cup \{\infty\}$  und für  $x \in \mathbb{Z}$

$$g_i(x) := \begin{cases} \min(x + a, b), & \text{falls } i = (a, b) \in \mathbb{Z}^2, \\ x, & \text{falls } i = \infty. \end{cases}$$

Dann gelten folgende Aussagen:

- (1)  $G$  ist bzgl. der üblichen Komposition „ $\circ$ “ von Funktionen abgeschlossen, d.h.  $g_i \circ g_j \in G$  für alle  $i, j \in I$ .
- (2) Es sei  $h : \mathbb{Z} \times \mathbb{Z} \rightarrow \mathbb{Z}$  definiert durch  $h(x, y) := \min(x + a, y + b)$ , wobei  $a, b \in \mathbb{Z}$ . Dann gehört auch die Funktion  $h \circ (g_i, g_j)$  für alle  $i, j \in I$  zur Menge  $G$ .
- (3) Die Indizes der verketteten Funktionen (bzgl. der Menge  $G$ ), die in (1) und (2) auftreten, können in konstanter Zeit berechnet werden.

**Beweis.**

<sup>1</sup> $v > v'$  stehe hier abkürzend für  $\text{depth}(v) > \text{depth}(v')$ .

- (1) Ist einer der beiden Indizes  $i, j$  gleich  $\infty$ , so ist dies trivial. Daher sei  $i := (a, b), j := (c, d) \in \mathbb{Z}^2$ . Dann gilt

$$\begin{aligned} g_{(a,b)} \circ g_{(c,d)} &= \min(\min(\cdot + c, d) + a, b) \\ &= \min(\min(\cdot + a + c, a + d), b) \\ &= \min(\cdot + (a + c), \min(a + d, b)) \\ &= g_{(a+c, \min(a+d, b))}. \end{aligned}$$

- (2) Wir beweisen dies nur für den Fall, daß  $i := (c, d), j := (e, f) \in \mathbb{Z}^2$  sind. Dann gilt:

$$\begin{aligned} h \circ (g_i, g_j) &= \min(\min(\cdot + c, d) + a, \min(\cdot + e, f) + b) \\ &= \min(\min(\cdot + a + c, a + d), \min(\cdot + b + e, b + f)) \\ &= \min(\cdot + \min(a + c, b + e), \min(a + d, b + f)) \\ &= g_{(\min(a+c, b+e), \min(a+d, b+f))}. \end{aligned}$$

- (3) Trivial. ■

### Satz 3.1.4

Der Algorithmus **PDistSet** ist korrekt und läßt sich auf einer **EREW-PRAM** optimal parallel implementieren.

#### Beweis.

Korrektheit: Induktiv folgt aus Lemma 2.3.4, daß nach Zeile (9) für jeden Knoten  $v \in V$  gilt

$$M(v) = \begin{cases} d(V(T_v) \cap D, v), & \text{falls } V(T_v) \cap D \neq \emptyset, \\ n, & \text{falls } V(T_v) \cap D = \emptyset, \end{cases}$$

also insbesondere  $M(w) = d(D, w)$ . Da für jeden Knoten  $v \neq w, u := \text{parent}(v)$ , gilt

$$d(v, D) = \begin{cases} \min(d(V(T_v) \cap D, v), d(u, D) + 1), & \text{falls } V(T_v) \cap D \neq \emptyset, \\ d(u, D) + 1, & \text{falls } V(T_v) \cap D = \emptyset, \end{cases}$$

ist klar, daß nach Ausführung von (10) die Funktion  $g$  gleich der Funktion  $d(\cdot, D)$  ist.

Komplexität: Dazu brauchen wir nur die Zerlegbarkeit des **B-ATC** bzw. **T-ATC** Problems in Zeile (9) bzw. (10) bestätigen. Die Zerlegbarkeit folgt aber unmittelbar aus Lemma 3.1.3. ■

## 3.2 Berechnung des kleinsten gemeinsamen Vorgängers von Knoten in Bäumen

Es sei  $T_w = (V, E)$  ein Wurzelbaum und  $U \subseteq V$  eine nichtleere Teilmenge von  $V$ . Dann gibt es genau einen Knoten  $\text{kgV}(U)$ , der folgende Eigenschaften erfüllt:

- (1) Für jeden Knoten  $u \in U$  ist  $\text{kgV}(U)$  ein Vorgänger von  $u$ , d.h.  $\text{kgV}(U) \in \bigcap_{u \in U} P(u, w)$ .

(2)  $\text{depth}(\text{kgV}(U))$  ist maximal unter allen Knoten, die Eigenschaft (1) erfüllen.

Sind  $u, v \in V$ , so gilt  $P(u, w) \neq P(v, w)$  genau dann, wenn  $u \neq v$  ist. Damit ist  $\text{kgV}(U)$  eindeutig bestimmt durch

$$P(\text{kgV}(U), w) = \bigcap_{u \in U} P(u, w).$$

Der Knoten  $\text{kgV}(U)$  heißt der *kleinste gemeinsame Vorgänger* der Knoten aus  $U$  (in  $T$ ).

### Lemma 3.2.1

Sei  $T_w = (V, E)$  ein Wurzelbaum und  $U \subseteq V$  eine nichtleere Teilmenge von  $V$ . Ist  $U' \subset U$  eine nichtleere echte Teilmenge von  $U$ , so gilt

$$\text{kgV}(U) = \text{kgV}(\{\text{kgV}(U')\} \cup (U \setminus U')).$$

**Beweis.** Die Aussage folgt sofort aus

$$\bigcap_{u \in U} P(u, w) = \bigcap_{u \in U'} P(u, w) \cap \bigcap_{u \in U \setminus U'} P(u, w) = P(\text{kgV}(U'), w) \cap \bigcap_{u \in U \setminus U'} P(u, w). \quad \blacksquare$$

Die Berechnung des kleinsten gemeinsamen Vorgängers zweier Knoten wurde bereits vielfach untersucht und es sind optimale parallele Algorithmen hierfür bekannt.

In [SV88] gehen die Autoren in zwei Phasen vor: In der ersten Phase berechnen sie für jeden Knoten  $v \in V$  eine natürliche Zahl  $\text{Inlabel}(v)$ . Diese Phase läßt sich auf einer **EREW-PRAM** optimal implementieren. Anschließend können sie, in einer zweiten Phase, den  $\text{kgV}$  zweier Knoten in konstanter Zeit aus den  $\text{Inlabel}$ -Werten berechnen. Somit lassen sich  $k$  solche  $\text{kgV}$ -Berechnungen auf einer **CREW-PRAM** in Zeit  $O(\log n)$  mit  $O((n+k)/\log n)$  Prozessoren durchführen.

Aus Lemma 3.2.1 folgt somit, daß sich der  $\text{kgV}$  einer nichtleeren Teilmenge von  $V$  auf einer **CREW-PRAM** optimal berechnen läßt. Doch der Beweis für die Korrektheit und Implementierung des Algorithmus aus [SV88] ist recht aufwendig und technisch.

Wir präsentieren hier einen einfachen optimalen parallelen Algorithmus, der den kleinsten gemeinsamen Vorgänger einer Teilmenge auf einer **EREW-PRAM** berechnet. Wir benötigen hierzu folgendes

### Lemma 3.2.2

Sei  $T_w = (V, E)$  ein Wurzelbaum und  $U \subseteq V$  eine nichtleere Teilmenge von  $V$ . Dann gelten folgende Aussagen:

- (1)  $U \subseteq V(T_{\text{kgV}(U)})$ .
- (2)  $\text{depth}(\text{kgV}(U)) \leq \text{depth}(\text{kgV}(U'))$  für jedes  $U' \subseteq U$ .
- (3) Ist  $U = \{u\}$ , so folgt  $\text{kgV}(U) = u$ .
- (4)  $\text{depth}(\text{kgV}(U)) \leq \text{depth}(u)$  für jedes  $u \in U$ .
- (5) Aus  $\text{kgV}(U) \notin U$  folgt
  - (a)  $|U| \geq 2$ .

(b)  $\text{outdeg}(\text{kgV}(U)) \geq 2$ .

(c) Es gibt  $u_1, u_2 \in U$  mit  $\text{kgV}(\{u_1, u_2\}) = \text{kgV}(U)$ .

**Beweis.** Die Aussagen (1) bis (3) folgen unmittelbar aus der Definition des kleinsten gemeinsamen Vorgängers. (4) folgt aus (2) und (3). Nun zum Beweis von (5): (a) folgt aus (3).  $\text{outdeg}(\text{kgV}(U)) = 0$  würde  $|U| = 1$  implizieren. Wäre  $\text{outdeg}(\text{kgV}(U)) = 1$ ,  $v$  der Sohn von  $\text{kgV}(U)$ , so folgt  $v \in \bigcap_{u \in U} P(u, w)$  mit  $\text{depth}(u) > \text{depth}(\text{kgV}(U))$ , Widerspruch. Also ist  $\text{outdeg}(\text{kgV}(U)) \geq 2$ . Seien  $v_1, \dots, v_k$  die Kinder von  $\text{kgV}(U)$  und  $V_i := V(T_{v_i})$ ,  $i = 1, \dots, k$ . Dann ist  $|V_i \cap U| \geq 1$  für mindestens zwei Indizes  $i_1, i_2 \in \{1, \dots, k\}$ . Sind  $u_j \in V_{i_j} \cap U$ ,  $j = 1, 2$ , so erfüllen  $u_1, u_2$  die Aussage (c). ■

Sei  $\text{or} : \{0, 1\} \times \{0, 1\} \rightarrow \{0, 1\}$  die BOOLEsche ODER-Funktion, d.h.  $\text{or}(a, b) = 1$  genau dann, wenn  $a = 1$  oder  $b = 1$  ist.

### Algorithmus PKGV

**Eingabe :** Ein Baum  $T = (V, E)$  und eine nichtleere Teilmenge  $U \subseteq V$  von  $V$ .

**Ausgabe :** Der Knoten  $\text{kgV}(U)$ .

- (1) **begin**
- (2) Sei  $w$  ein beliebiger Knoten aus  $T$ ;
- (3)  $T_w := \text{Root-Tree}(T, w)$ ;
- (4)  $\text{depth} := \mathbf{T-ATC}(T_w, 0, \text{succ})$ ;
- (5) **for all** Knoten  $v$  aus  $T_w$  **in parallel do**
- (6)     **if**  $v \in U$
- (7)         **then**  $L(v) := 1$
- (8)         **else**  $L(v) := 0$ ;
- (9)      $M := \mathbf{B-ATC}(T_w, L, \text{or})$ ;
- (10)     $W := U$ ;
- (11) **for all**  $v$  mit  $M(v) = 1$  **in parallel do**
- (12)     **if** ( $\text{outdeg}(v) > 1$ ) **and** (mind. zwei Kinder von  $v$  haben einen  $M$ -Wert gleich 1)
- (13)         **then**  $W := W \cup \{v\}$ ;
- (14)     Bestimme  $v_{\text{kgV}} \in W$  mit  $\text{depth}(v_{\text{kgV}}) = \min_{u \in W} \text{depth}(u)$ ;
- (15)     **return**( $v_{\text{kgV}}$ );
- (16) **end.**

### Lemma 3.2.3

Seien  $T_w$  und  $U$  wie in Lemma 3.2.2. Weiter sei  $L$  die Indikatorfunktion auf  $U$ , d.h.

$$L(v) := \begin{cases} 1, & \text{falls } v \in U, \\ 0, & \text{falls } v \notin U. \end{cases}$$

Dann ist das **B-ATC** Problem  $M := \mathbf{B-ATC}(T_w, L, \text{or})$  zerlegbar, und es gilt

$$(*) \quad \{v \in V : M(v) = 1\} = \bigcup_{u \in U} P(u, w).$$

**Beweis.** Die Gleichung (\*) folgt induktiv aus  $\text{or}(1, \cdot) = 1$ . Die Eigenschaften (B1) und (B2) sind für das **B-ATC** Problem erfüllt, da  $S = \{0, 1\}$ ,  $F = \{\text{or}\}$  und  $H = \{\text{id}, 1\}$ . ■

**Lemma 3.2.4**

Sei  $T_w = (V, E)$  ein Wurzelbaum und  $f : V \rightarrow \{0, 1\}$  eine BOOLESCHE Funktion auf  $V$ . Dann läßt sich die Funktion  $g : V \rightarrow \{0, 1\}$ , definiert durch

$$g(v) := \begin{cases} 1, & \text{falls } \text{outdeg}(v) > 1 \text{ und mind. zwei Kinder von } v \\ & \text{den } f\text{-Wert gleich 1 haben,} \\ 0, & \text{sonst,} \end{cases}$$

auf einer **EREW-PRAM** in  $O(\log |V|)$  Zeit mit  $O(|V|/\log |V|)$  Prozessoren berechnen.

**Beweis.** Für einen Knoten  $v$  bezeichnen wir die lineare Liste seiner Kinder mit  $\text{Klist}(v)$ . Das erste Element von  $\text{Klist}(v)$  sei  $v^e$  und das letzte  $v^l$ . Um die Anzahl der Kinder von  $v$  zu berechnen, die einen  $f$ -Wert gleich 1 besitzen, lösen wir folgendes gewichtete list-ranking Problem auf  $\text{Klist}(v)$ : Jeder Knoten  $u$  aus  $\text{Klist}(v)$  wird mit  $f(u)$  bewertet. Das Ergebnis des gewichteten list-ranking Problems auf  $\text{Klist}(v)$  bezeichnen wir mit  $b_v$ . (Ist  $\text{Klist}(v)$  eine leere Liste, so soll  $b_v = 0$  sein.) Dann ist  $g(v) = 1$  genau dann, wenn  $b_v \geq 2$  ist. Die angegebene Zeit- und Prozessorkomplexität erreicht man, da die Gesamtanzahl der Elemente in den Listen  $\text{Klist}(v)$ ,  $v \in V$ , in  $O(n)$  liegt. ■

**Korollar 3.2.5**

Der Algorithmus **PKG**V bestimmt den kleinsten gemeinsamen Vorgänger zu einer Knotenmenge auf einer **EREW-PRAM** in  $O(\log |V|)$  Zeit mit  $O(|V|/\log |V|)$  Prozessoren.

**Beweis.** Wir nehmen zunächst an, daß  $\text{kgV}(U) \notin W$  wäre. Da nach Zeile (10) des Algorithmus  $U \subseteq W$  ist, erhalten wir  $\text{kgV}(U) \notin U$ . Nach Lemma 3.2.2 hat dies zur Folge, daß  $\text{outdeg}(\text{kgV}(U)) > 1$  und mindestens zwei Kinder von  $\text{kgV}(U)$  einen  $M$ -Wert gleich 1 haben, im Widerspruch zu  $\text{kgV}(U) \notin W$ .

Sei  $v \in W \setminus \{\text{kgV}(U)\}$ . Wir bestätigen  $\text{depth}(v) > \text{depth}(\text{kgV}(U))$ , woraus sofort  $\text{kgV}(U) = v_{\text{kgV}}$  folgt. Für  $v \in U$  ist dies nach Lemma 3.2.2 erfüllt. Sei also  $v \notin U$ . Dann ist der Knoten in Zeile (13) zu  $W$  hinzugefügt worden, d.h.  $\text{outdeg}(v) > 1$  und  $M(u_1) = M(u_2) = 1$  für zwei Kinder  $u_1, u_2$  von  $v$ . Somit enthalten die Teilbäume  $T_{u_1}, T_{u_2}$  jeweils einen Knoten aus  $U$ . Da  $v \neq \text{kgV}(U)$ , muß also  $\text{depth}(v) > \text{depth}(\text{kgV}(U))$  gelten.

Die geforderte Zeit- und Prozessorkomplexität folgt aus Lemma 3.2.3 und 3.2.4. ■

### 3.3 Berechnung einer Blätter-Eliminationsordnung

Sequentiell läßt sich eine Blätter-Eliminationsordnung in Linearzeit berechnen, da jede perfekte Eliminationsordnung (p.e.o.) eine Blätter-Eliminationsordnung ist und eine p.e.o. in Linearzeit berechnet werden kann (vgl. [RTL76] — **LexBFS**, [TY84] — **MCS**).

Es sei die Funktion  $f : \mathbb{Z} \times \mathbb{Z} \rightarrow \mathbb{Z}$  definiert durch  $f(x, y) := \max(x, y + 1)$ .

**Algorithmus PBEO**

**Eingabe** : Ein Baum  $T = (V, E)$ .

**Ausgabe** : Eine Blätter-Eliminationsordnung gegeben durch eine bijektive Abbildung

$$\sigma : \{1, \dots, |V|\} \rightarrow V.$$



- (1) **begin**
- (2) Sei  $w$  ein beliebiger Knoten aus  $T$ ;
- (3)  $T_w := \text{Root-Tree}(T, w)$ ;
- (4)  $g := \mathbf{B-ATC}(T_w, 0, f)$ ;
- (5) Bestimme  $\sigma : \{1, \dots, |V|\} \rightarrow V$  so, daß  $(g(\sigma(1)), \dots, g(\sigma(|V|)))$  monoton wachsend ist;
- (6) **return**( $\sigma$ );
- (7) **end.**

**Satz 3.3.1**

Der Algorithmus **PBEO** berechnet eine Blätter-Eliminationsordnung für einen Baum  $T = (V, E)$  auf einer **EREW-PRAM** in  $O(\log |V|)$  Zeit unter Benutzung von  $O(|V|)$  Prozessoren.

**Beweis.** Induktiv folgt aus Lemma 2.3.4, daß  $g(v)$  für jeden Knoten  $v \in V$  die Tiefe des Wurzelbaumes  $T_v$  angibt. Somit ist  $g(u) < g(v)$  für alle  $u \in V(T_v - v)$  und die Knoten aus  $V(T_v - v)$  liegen (in  $\sigma$ ) links von  $v$ . Hieraus folgt, daß  $\sigma$  eine Blätter-Eliminationsordnung für  $T$  ist.

Die Zerlegbarkeit des **B-ATC** Problems in Zeile (4) zeigt man genauso, wie wir es bei den früheren **B-ATC** Problemen getan haben. Die Bestimmung von  $\sigma$  in Zeile (5) ist ein Sortierproblem von  $|V|$  (nicht notwendig paarweise verschiedenen) Zahlen aus  $\{0, \dots, g(w)\}$ . Nach [Col86] geht dies in  $O(\log |V|)$  Zeit unter Benutzung von  $O(|V|)$  Prozessoren auf einer **EREW-PRAM**. ■

## 3.4 Dominationsprobleme

Es sei  $G = (V, E)$  ein Graph und  $r : V \rightarrow \mathbb{N}$  eine Knotenbewertung.  $D \subseteq V$  heißt eine  $r$ -dominierende Menge in  $G$ , wenn für alle  $v \in V$  gilt  $d(v, D) \leq r(v)$ . Eine  $r$ -dominierende Menge  $D$  in  $G$  heißt *minimal*, wenn keine  $r$ -dominierende Menge  $D' \subset V$  mit  $|D'| < |D|$  existiert. Das **RDS-Problem** ( *$r$ -dominating set problem*) besteht nun darin, eine minimale  $r$ -dominierende Menge in  $G$  zu bestimmen.

Oftmals betrachtet man folgende Spezialfälle bzw. Abwandlungen des allgemeinen **RDS-Problem**s:

- *Dominating set problem* = **DS-Problem**.  
Hier ist  $r \equiv 1$ .
- *$k$ -dominating set problem* = **KDS-Problem**.  
Hier ist  $r$  eine konstante Funktion mit  $r \equiv k$ .
- *Connected  $r$ -dominating set problem* = **CRDS-Problem**.  
Man sucht eine zusammenhängende  $r$ -dominierende Menge mit minimaler Kardinalität.
- *Steiner tree problem* = *Steinerbaumproblem*.  
Gegeben ist eine Teilmenge  $D \subseteq V$  von  $V$ . Gesucht ist eine minimale zusammenhängende Menge  $S \subseteq V$  mit  $D \subseteq S$ . Das Steinerbaumproblem ist der Spezialfall des **CRDS-Problem**s mit

$$r(v) := \begin{cases} 0, & \text{falls } v \in D, \\ |V|, & \text{falls } v \notin D. \end{cases}$$

- *r*-dominating path problem = **RDHP**-Problem.  
Eine *r*-dominierende Menge  $D$ , so daß  $G(D)$  einen HAMILTONpfad besitzt, nennen wir einen *r*-dominierenden Pfad. Das **RDHP**-Problem besteht nun darin, zu beantworten, ob  $G$  einen *r*-dominierenden Pfad besitzt und falls ja, wie ein *r*-dominierender Pfad minimaler Kardinalität aussieht.
- *r*-dominating cycle problem = **RDHC**-Problem.  
Analog zum **RDHP**-Problem, man braucht nur das Word Pfad durch Kreis ersetzen. *r*-dominierenden Kreis
- *r*-dominating clique problem = **RDC**-Problem.  
Eine *r*-dominierende Menge  $D$  nennen wir eine *r*-dominierende Clique, falls  $G(D)$  vollständig ist. Das **RDC**-Problem besteht nun darin, zu beantworten, ob  $G$  eine *r*-dominierende Clique besitzt und falls ja, wie eine *r*-dominierende Clique minimaler Kardinalität aussieht.

Eine Übersicht der Komplexität einiger dieser Probleme für spezielle Graphenklassen gibt Abbildung 3.1 an. Für die Definitionen der vorkommenden Graphenklassen verweisen wir auf das Survey [Bra93] sowie [BDN94]. Wir geben hier nur in Abbildung 3.2 die Inklusionshierarchie der vorkommenden Graphenklassen an.

### 3.4.1 Das RDC-Problem

In diesem Abschnitt geben wir einen optimalen parallelen Algorithmus an, der entscheidet, ob ein Baum eine *r*-dominierende Clique besitzt und, falls „ja“, berechnet.

Da eine Clique in einem Baum nur die Kardinalität 1 und 2 besitzen kann, folgt bereits aus Satz 3.1.4, daß sich das **RDC**-Problem auf einer **CREW-PRAM** in Zeit  $O(\log |V|)$  mit  $O(|V|^2 / \log |V|)$  Prozessoren lösen läßt.

Wir benötigen hierzu die Funktion  $f : \mathbb{Z} \times \mathbb{Z} \rightarrow \mathbb{Z}$ , definiert durch  $f(a, b) := \min\{a, b - 1\}$ .

#### Algorithmus PRDC

**Eingabe** : Ein Baum  $T = (V, E)$  und eine Abbildung  $r : V \rightarrow \mathbb{N}$ .

**Ausgabe** : Eine *r*-dominierende Clique minimaler Kardinalität (falls existent) oder 'Nein'.

- (1) **begin**
- (2) Sei  $w$  ein beliebiger Knoten aus  $T$ ;
- (3)  $T_w := \text{Root-Tree}(T, w)$ ;
- (4)  $L := \mathbf{B-ATC}(T_w, r, f)$ ;
- (5) Bestimme einen Knoten  $v$  mit  $L(v) = 0$ ;
- (6) **if** (kein solcher Knoten  $v$  existiert) **or** ( $v = w$ )
- (7) **then return** ( $\{w\}$ )
- (8) **else begin**
- (9)  $u := \text{parent}(v)$ ;
- (10)  $T(u) := \text{Root-Tree}(T(V \setminus V(T_v)), u)$ ;
- (11)  $M := \mathbf{B-ATC}(T(u), r, f)$ ;

<sup>2</sup>In paaren Graphen enthält jede Clique höchstens zwei Elemente.

| Klasse                  | Erkennung                                              | RDS-Probl.                         | RDC-Probl.                                  |                                 | CRDS-Probl.                |
|-------------------------|--------------------------------------------------------|------------------------------------|---------------------------------------------|---------------------------------|----------------------------|
|                         |                                                        |                                    | Existenz                                    | Berechnung                      |                            |
| <b>alle Graphen</b>     | <b>LIN</b><br>(trivial)                                | NP-vollst.<br>(s. schwach chordal) | NP-vollst.<br>(s. schwach chordal)          |                                 | NP-vollst.<br>([GJ79])     |
| <b>schwach chordal</b>  | $O(n^4)$<br>([HHM89])                                  | NP-vollst.<br>(s. chordal)         | NP-vollst.<br>([BK87])                      |                                 | NP-vollst.<br>(s. chordal) |
| <b>homogen geordnet</b> | $O(n^3)$<br>([BDN94])                                  | ?                                  | $O(n^2)$<br>([DN95])                        |                                 | $O(n^2)$<br>([DN95])       |
| <b>distanz erblich</b>  | <b>LIN</b><br>([HM90])                                 | ?                                  | <b>LIN</b><br>([Dra94])                     |                                 | <b>LIN</b><br>([BD94])     |
| <b>dual chordal</b>     | <b>LIN</b><br>([BDCV93])                               | <b>LIN</b><br>([BCD94])            | <b>LIN</b><br>([DB94], [BCD94])             |                                 | $O(E(G^2))$<br>([BCD94])   |
| <b>doppelt chordal</b>  | <b>LIN</b><br>(s. chordal, dual chordal)               | <b>LIN</b><br>(s. dual chordal)    | <b>LIN</b><br>(s. dual chordal)             |                                 | <b>LIN</b><br>([Dra93])    |
| <b>chordal</b>          | <b>LIN</b><br>([RTL76], [TY84])                        | NP-vollst.<br>(s. Splitgraphen)    | $O(nm)$<br>([KDL94], [DB94])                | NP-vollst.<br>(s. Splitgraphen) | NP-vollst.<br>([CP84])     |
| <b>Splitgraphen</b>     | <b>LIN</b><br>([Gol80])                                | NP-vollst.<br>([BK87])             | $O(nm)$<br>(s. chordal)                     | NP-vollst.<br>([BK87])          | NP-vollst.<br>([BK87])     |
| <b>chordal paar</b>     | $O(\min(m \log n, n^2))$<br>([Spi93], [PT86], [Lub87]) | NP-vollst.<br>([MB87])             | $\in \mathbb{P}$<br>(trivial <sup>2</sup> ) |                                 | NP-vollst.<br>([MB87])     |

Abbildung 3.1: Dominationsprobleme auf verschiedenen Graphenklassen

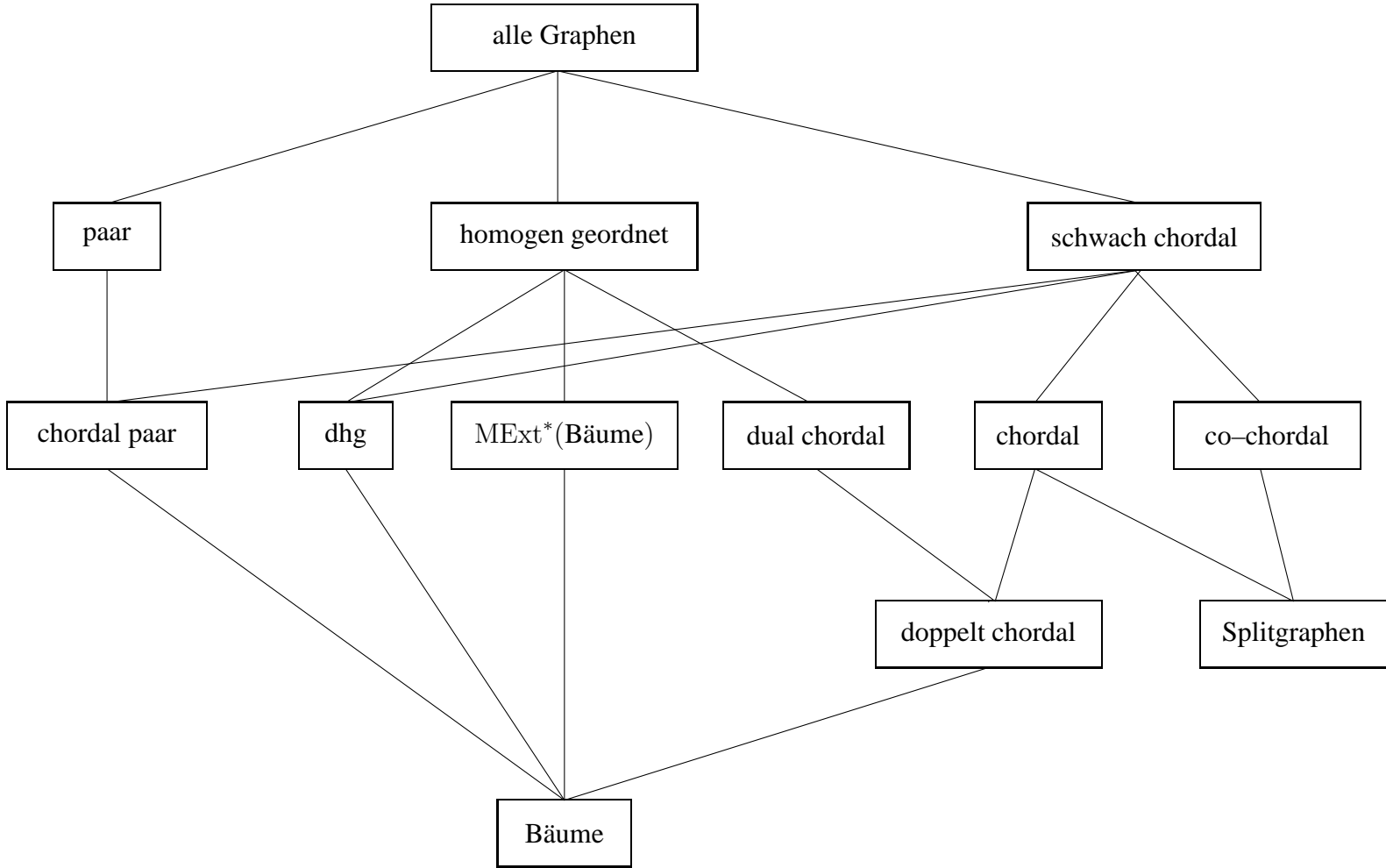


Abbildung 3.2: Inklusionshierarchie einiger Graphenklassen

```

(12) if $M(x) = 0$ für einen Knoten $x \neq u$ aus $T(u)$
(13) then return('Nein')
(14) else if $M(u) = 0$
(15) then return($\{u, v\}$)
(16) else return($\{v\}$);
(17) end
(18) end.

```

Für die Korrektheit benutzen wir einen Spezialfall eines Lemmas aus [BCD94].

#### Lemma 3.4.1

Sei  $T = (V, E)$  ein Baum und  $r : V \rightarrow \mathbb{N}$  eine Knotenbewertung. Weiter sei  $v$  ein Blatt in  $T$  mit  $r(v) > 0$  und  $u$  der Nachbar von  $v$ . Dann hat  $T$  genau dann eine  $r$ -dominierende Clique, wenn  $T' := T - v$  eine  $r'$ -dominierende Clique besitzt, wobei

$$r'(x) := \begin{cases} \min\{r(u), r(v) - 1\}, & \text{falls } x = u, \\ r(x), & \text{falls } x \neq u. \end{cases}$$

Ist  $D$  eine  $r'$ -dominierende Clique in  $T'$ , so auch eine  $r$ -dominierende Clique in  $T$ . ■

#### Lemma 3.4.2

Es sei  $T_w = (V, E)$  ein Wurzelbaum und  $r : V \rightarrow \mathbb{N}$  eine Knotenbewertung. Dann ist das **B-ATC** Problem  $L := \mathbf{B-ATC}(T, r, f)$  zerlegbar, und es gilt für alle  $v \in V$

$$(1) \quad L(v) = \min_{u \in T_v} (r(u) - d(u, v)).$$

**Beweis.** Die Zerlegbarkeit des **B-ATC** Problems folgt aus Lemma 3.1.3, da  $f = \min(a + 0, b + (-1))$ . Die zweite Behauptung folgt induktiv aus Lemma 2.3.4. ■

#### Satz 3.4.3

Der Algorithmus **PRDC** löst das **RDC**-Problem für einen Baum  $T = (V, E)$  auf einer **EREW-PRAM** in  $O(\log |V|)$  Zeit unter Benutzung von  $O(|V|/\log |V|)$  Prozessoren.

**Beweis.** Ist nach Ausführung von (4)  $L(v) > 0$  für alle  $v \in V \setminus \{w\}$ , so folgt aus Lemma 3.4.2, daß die Wurzel den gesamten Baum  $r$ -dominiert.

Also nehmen wir an, daß es mindestens einen Knoten  $v$  aus  $V \setminus \{w\}$  gibt, dessen  $L$ -Wert gleich 0 ist. Aus Lemma 3.4.2 folgt dann, daß  $L(u) > 0$  für alle  $u \in V(T_v - v)$ . Nach Lemma 3.4.1 hat  $T$  genau dann eine  $r$ -dominierende Clique, wenn  $T' := T(V \setminus V(T_v - v))$  eine  $r'$ -dominierende Clique besitzt, wobei

$$r'(u) := \begin{cases} 0 & \text{falls } u = v, \\ r(u) & \text{falls } u \neq v. \end{cases}$$

Besitzt  $T'$  eine  $r'$ -dominierende Clique  $C$ , so ist natürlich  $v \in C$ . Da  $v$  ein Blatt in  $T'$  ist, brauchen wir nur zu prüfen, ob  $\{v\}$  oder  $\{v, \text{parent}(v)\}$  den Baum  $T'$   $r'$ -dominieren. Dies führen wir in den Zeilen (9) bis (16) durch.

Die geforderte Zeit- und Prozessorkomplexität folgt aus Lemma 3.4.2, da das **B-ATC** Problem in den Zeilen (4) und (11) zerlegbar ist. ■

### 3.4.2 Das CRDS–Problem

In diesem Abschnitt geben wir einen optimalen parallelen Algorithmus an, der für einen Baum eine minimale zusammenhängende  $r$ -dominierende Menge berechnet.

Sei hierzu die Funktion  $f : \mathbb{Z} \times \mathbb{Z} \rightarrow \mathbb{Z}$  wie im letzten Abschnitt definiert, d.h.  $f(a, b) := \min\{a, b - 1\}$ .

#### Algorithmus PCRDS

**Eingabe** : Ein Baum  $T = (V, E)$  und eine Abbildung  $r : V \rightarrow \mathbb{N}$ .

**Ausgabe** : Eine minimale zusammenhängende  $r$ -dominierende Menge.

- (1) **begin**
- (2) Sei  $w$  ein beliebiger Knoten aus  $T$ ;
- (3)  $T_w := \text{Root-Tree}(T, w)$ ;  
    { Schritt 1 }
- (4)  $L := \mathbf{B-ATC}(T_w, r, f)$ ;
- (5)  $L_0 := \{v \in V : L(v) = 0\}$ ;
- (6) **if**  $L_0 = \emptyset$  **then return**( $\{w\}$ ); **exit**;  
    { Schritt 2 }
- (7)  $x := \text{kgV}(L_0)$ ;
- (8)  $L_1 := L_0 \cup \{v \in V(T_x) : L(v) < 0\}$ ;  
    { Schritt 3 }
- (9) **if**  $x \neq w$
- (10)     **then begin**
- (11)          $T'' := T(V \setminus V(T_x - x))$ ;
- (12)          $T''_x := \text{Root-Tree}(T'', x)$ ;
- (13)         **for all**  $v \in V(T'')$  **in parallel do**
- (14)             **if**  $v = x$
- (15)                 **then**  $r''(v) := 0$
- (16)                 **else**  $r''(v) := r(v)$ ;
- (17)              $L'' := \mathbf{B-ATC}(T''_x, r'', f)$ ;
- (18)              $D := L_1 \cup \{v \in V(T'') : L''(v) \leq 0\}$ ;
- (19)         **end**
- (20)     **else**  $D := L_1$ ;
- (21)     **return**( $D$ );
- (22) **end.**

Für die Korrektheit benutzen wir einen Spezialfall eines Lemmas aus [BCD94].

#### Lemma 3.4.4

Sei  $T = (V, E)$  ein Baum und  $r : V \rightarrow \mathbb{N}$  eine Knotenbewertung. Weiter sei  $v$  ein Blatt in  $T$  mit  $r(v) > 0$  und  $u$  der Nachbar von  $v$ . Ist  $D$  eine minimale zusammenhängende  $r'$ -dominierende Menge in  $T' = T - v$ , so ist  $D$  eine minimale zusammenhängende  $r$ -dominierende Menge in  $T$ , wobei

$$r'(x) := \begin{cases} \min\{r(u), r(v) - 1\}, & \text{falls } x = u, \\ r(x), & \text{falls } x \neq u. \end{cases} \quad \blacksquare$$

**Satz 3.4.5**

Der Algorithmus **PCRDS** ist korrekt und läßt sich auf einer **EREW-PRAM** optimal parallel implementieren.

**Beweis.** Zunächst beweisen wir die Korrektheit des Algorithmus. Der Algorithmus geht in drei Schritten vor.

Der erste Schritt umfaßt die Zeilen (4)–(6). Hier wird zunächst ein **B-ATC** Problem gelöst, das uns schon beim Algorithmus **PRDC** begegnet ist (siehe Lemma 3.4.2). In Zeile (5) werden dann die Knoten mit  $L$ -Wert 0 zur Menge  $L_0$  zusammengefaßt. Gilt  $L_0 = \emptyset$ , so folgt, daß  $w$  den Baum  $T$   $r$ -dominiert (Lemma 3.4.2). Ist  $v \in L_0$ , so haben alle Knoten im Teilbaum  $T_v$  (außer  $v$  natürlich) einen positiven  $L$ -Wert, werden also durch  $v$   $r$ -dominiert. Sei  $A := \bigcup_{v \in L_0} V(T_v - v)$ , dann gilt nach Lemma 3.4.4 und Induktion: Eine minimale zusammenhängende  $r'$ -dominierende Menge in  $T' := T(V \setminus A)$  ist eine minimale zusammenhängende  $r$ -dominierende Menge in  $T$ , wobei

$$r'(v) := \begin{cases} 0, & \text{falls } v \in L_0, \\ r(v), & \text{falls } v \in T' - L_0. \end{cases}$$

Also brauchen wir im folgenden nur eine minimale zusammenhängende  $r'$ -dominierende Menge  $D$  in  $T'$  berechnen.

Da  $r'(v) = 0$  für alle  $v \in L_0$ , ist  $L_0 \subseteq D$ , und wegen des Zusammenhangs von  $D$  ist sogar der gesamte von  $x = \text{kgV}(L_0)$  (in  $T'_w$ ) aufgespannte Teilbaum in  $D$  enthalten, d.h.  $L_1 := \bigcup_{u \in L_0} P(u, x) \subseteq D$ .  $L_1$  wird in Zeile (8) berechnet, denn  $u \in L_1$  genau dann, wenn  $u \in V(T_x)$  und  $L(u) \leq 0$ . Nach Ende des zweiten Schrittes verbleibt also nur noch, eine minimale zusammenhängende  $r''$ -dominierende Menge  $D''$  für den Baum  $T'' := T(V \setminus V(T_x - x))$  zu bestimmen, wobei

$$r''(v) := \begin{cases} 0, & \text{falls } v = x, \\ r(v), & \text{falls } v \neq x. \end{cases}$$

Denn dann ist  $D'' \cup L_1$  eine minimale zusammenhängende  $r$ -dominierende Menge in  $T$ .

Diese Berechnung führen wir im dritten Schritt durch. Hierzu zeigen wir zunächst:

(\*) Es gibt einen Knoten  $z \in P(x, w)$  so, daß  $D'' = P(x, z)$  ist.

Wir wissen aus dem ersten Schritt, daß alle Knoten aus  $T''$ , die nicht auf dem Pfad  $P(x, w)$  liegen, nach Ausführung von (4) einen positiven  $L$ -Wert besitzen. Daher haben sie auch einen positiven  $L''$ -Wert ( $L''$  wird in Zeile (17) berechnet). (\*) folgt somit aus Lemma 3.4.4 und Induktion.

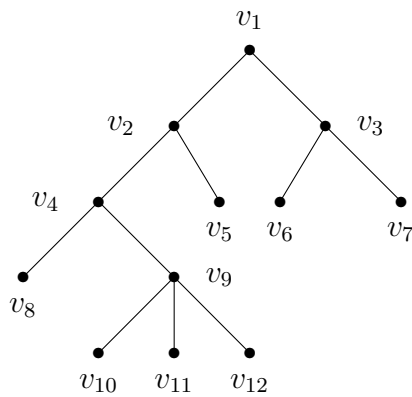
Wie der Knoten  $z$  aussieht, steht nach Ausführung von Zeile (17) fest:  $z$  ist der eindeutig bestimmte Knoten aus  $P(x, w)$  mit  $L''(z) = 0$ . Damit haben wir mit  $D := L_1 \cup P(x, z)$  eine minimale zusammenhängende  $r$ -dominierende Menge in  $T$  gefunden.

Komplexität: Das **B-ATC** Problem in den Zeilen (4) und (17) ist nach Lemma 3.4.2 zerlegbar und somit optimal parallel lösbar. Der kleinste gemeinsame Vorgänger von  $L_0$  läßt sich nach Korollar 3.2.5 optimal parallel berechnen. ■

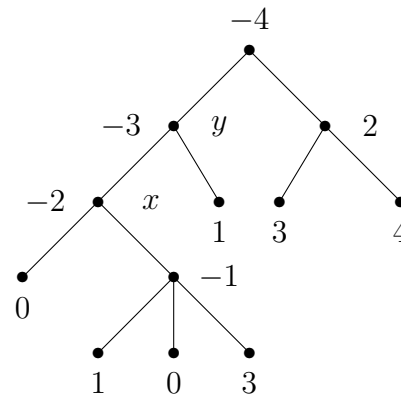
Ein Beispiel für den Algorithmus **PCRDS** ist in Abbildung 3.3 angegeben.

Abbildung 3.3: Beispiel zum Algorithmus PCRDS

|          |   |   |   |   |   |   |   |   |   |    |    |    |
|----------|---|---|---|---|---|---|---|---|---|----|----|----|
| $i$      | 1 | 2 | 3 | 4 | 5 | 6 | 7 | 8 | 9 | 10 | 11 | 12 |
| $r(v_i)$ | 2 | 3 | 2 | 2 | 1 | 3 | 4 | 0 | 2 | 1  | 0  | 3  |



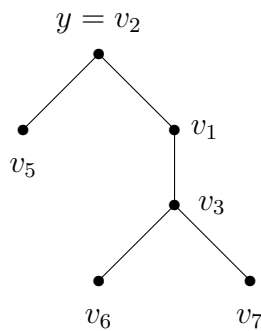
Der Baum  $T$ .



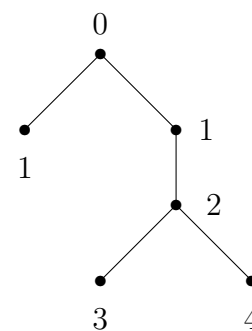
$L$ -Werte für  $T$  aus Zeile (4)

$$L_0 = \{v_8, v_{11}\},$$

$$L_1 = L_0 \cup \{v_4, v_9\}$$



Der Baum  $T(y)$ .

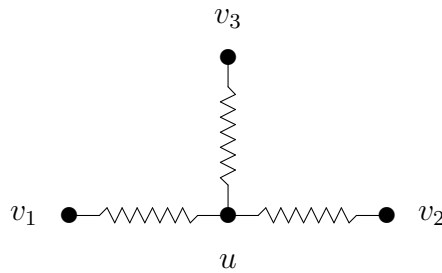


$L$ -Werte für  $T(y)$  nach Zeile (10)

Eine minimale zusammenhängende  $r$ -dominierende Menge in  $T$  ist  $D = \{v_2, v_4, v_8, v_9, v_{11}\}$ .



Abbildung 3.4: Skizze zum Beweis von Satz 3.4.6



### 3.4.3 Das RDHP-Problem

Eine Teilmenge  $V' \subseteq V$  eines Graphen  $G = (V, E)$  heißt ein *Pfad* in  $G$ , wenn es eine Anordnung  $\sigma$  der Knoten aus  $V'$  so gibt, daß  $\sigma$  ein Pfad in  $G$  ist.

Ist  $T = (V, E)$  ein Baum und  $V' \subseteq V$ , so gilt:  $G(V')$  besitzt einen HAMILTONPFAD genau dann, wenn  $V'$  ein Pfad in  $T$  ist.

#### Satz 3.4.6

Es sei  $T = (V, E)$  ein Baum,  $r : V \rightarrow \mathbb{N}$  eine Knotenbewertung und  $D \subseteq V$  eine minimale zusammenhängende  $r$ -dominierende Menge in  $T$ . Dann gelten folgende Aussagen:

- (1) Ist  $D$  ein Pfad in  $T$ , so ist  $D$  ein minimaler  $r$ -dominierender Pfad in  $T$ .
- (2)  $T$  besitzt genau dann einen  $r$ -dominierenden Pfad, wenn  $D$  ein Pfad in  $T$  ist.

**Beweis.** (1) ist trivial, da jeder Pfad einen zusammenhängenden Teilgraphen in  $T$  induziert. Wir brauchen also nur noch „ $\implies$ “ von (2) zu bestätigen. Dies tun wir indirekt. Sei  $D$  kein Pfad. Dann gibt es mindestens drei Knoten  $v_1, v_2, v_3 \in D$ , die Blätter in  $G(D)$  sind. Weiter sei  $u$  der eindeutig bestimmte Knoten aus  $P(v_1, v_2) \cap P(v_1, v_3) \cap P(v_2, v_3)$ , vgl. auch Abbildung 3.4. Sei  $T_{v_i}$  der Teilbaum der Nachfolger von  $v_i$  in  $T_u$  inklusive  $v_i$ ,  $i = 1, 2, 3$ . Da  $T$  eine minimale zusammenhängende  $r$ -dominierende Menge ist, muß jede zusammenhängende  $r$ -dominierende Menge jeweils mindestens einen Knoten aus den Teilbäumen  $T_i$  für  $i = 1, 2, 3$  enthalten. Somit kann es also insbesondere keinen  $r$ -dominierenden Pfad in  $T$  geben. ■

#### Korollar 3.4.7

Das **RDHP**-Problem läßt sich für einen Baum  $T = (V, E)$  optimal auf einer **EREW-PRAM** lösen.

**Beweis.** Nach Satz 3.4.6 brauchen wir nur eine minimale zusammenhängende  $r$ -dominierende Menge  $D$  berechnen (dies ist nach Satz 3.4.5 optimal möglich) und anschließend überprüfen, ob  $D$  ein Pfad in  $T$  ist. Diesen Test führen wir wie folgt durch: Wir berechnen zunächst für jeden Knoten  $d \in D$  den Grad  $\deg_{G(D)}(d)$  von  $d$  in  $G(D)$ . Dies ist ein gewichtetes List Ranking Problem, läßt sich also nach Satz 1.2.1 optimal durchführen. Anschließend berechnen wir die Anzahl  $l$  der Knoten aus  $D$ , die Grad 1 in  $G(D)$  besitzen. Dann gilt:  $D$  ist genau dann ein Pfad in  $G$ , wenn  $l \leq 2$  ist. ■

### 3.4.4 Das RDS–Problem

Das **RDS**–Problem ist wesentlich schwieriger parallel zu lösen als das **RDC**– oder **CRDS**–Problem. Sequentiell läßt es sich sogar für dual chordale Graphen (**Bäume**  $\subset$  **dual chordal**) in Linearzeit lösen, wie in [BCD94] gezeigt wurde. Will man den Algorithmus, um ihn zu parallelisieren, auf ein **B–ATC** Problem zurückführen, so ist die dabei vorkommende Funktion  $f$  so kompliziert, daß dieses **B–ATC** Problem nicht zerlegbar zu sein scheint ([HY90], dort wurde das **KDS**–Problem für Bäume behandelt).

Die Funktion  $f : [-R, R] \times [-R, R] \rightarrow [-R, R]$  ist gegeben durch<sup>3</sup>

$$f(a, b) := \begin{cases} a, & \text{falls } a \geq 0 \text{ und } (-R \leq b \leq -a - 1 \text{ oder } a \leq b \leq R), \\ b + 1, & \text{falls } a \geq 0 \text{ und } (-a \leq b \leq -1 \text{ oder } 0 \leq b \leq a - 1), \\ a, & \text{falls } a < 0 \text{ und } (-R \leq b \leq a - 1 \text{ oder } -a \leq b \leq R), \\ b + 1, & \text{falls } a < 0 \text{ und } (a \leq b \leq -1 \text{ oder } 0 \leq b \leq -a - 1). \end{cases}$$

#### Algorithmus PRDS

**Eingabe** : Ein Baum  $T = (V, E)$  und eine Abbildung  $r : V \rightarrow \mathbb{N}$ .

**Ausgabe** : Eine minimale  $r$ –dominierende Menge.

- (1) **begin**
- (2) Sei  $w$  ein beliebiger Knoten aus  $T$ ;
- (3)  $T_w := \text{Root–Tree}(T, w)$ ;
- (4)  $R := \max\{r(v) : v \in V\}$ ;
- (5)  $L := \mathbf{B–ATC}(B_w, r, f)$ ;
- (6)  $D := \{v \in V : L(v) = 0\}$ ;
- (7) **if**  $L(w) < 0$
- (8)     **then**  $D := D \cup \{w\}$ ;
- (9)     **return**( $D$ );
- (10) **end.**

#### Satz 3.4.8

Der Algorithmus **PRDS** ist korrekt und läßt sich auf einer **CREW–PRAM** in Zeit  $O(\log n \log \log n)$  unter Benutzung von  $O(n)$  Prozessoren implementieren.

**Beweis.** Korrektheit: Man braucht nur beim Beweis zum **KDS**–Problem aus [HY90] den  $k$ –Wert durch die  $r$ –Werte der Knoten ersetzen.

Komplexität: Dies wurde bereits in [HY90] gezeigt. ■

## 3.5 Übersicht der Algorithmen dieses Kapitels

Die folgende Tabelle gibt eine Übersicht der Komplexität der Algorithmen dieses Kapitels. Dabei bedeutet OPT Optimalität, d.h. sequentiell Linearzeit und parallel  $O(\log n)$  Zeit mit

<sup>3</sup>Mit  $[-R, R]$  ist hier natürlich  $\{-R, -R + 1, \dots, R - 1, R\}$  gemeint.

$O(n/\log n)$  Prozessoren, wenn  $n$  die Länge der Eingabe bezeichnet.

| Problem        | sequentielle Zeit | parallel                |                 |             |
|----------------|-------------------|-------------------------|-----------------|-------------|
|                |                   | Zeit                    | Prozessoren     | PRAM-Typ    |
| <b>SSSP</b>    |                   | OPT                     |                 | <b>EREW</b> |
| <b>APSP</b>    | $O(n^2)$          | $O(\log n)$             | $O(n^2/\log n)$ | <b>EREW</b> |
| <b>DistSet</b> |                   | OPT                     |                 | <b>EREW</b> |
| <b>kgV</b>     |                   | OPT                     |                 | <b>EREW</b> |
| <b>BEO</b>     | OPT               | $O(\log n)$             | $O(n)$          | <b>EREW</b> |
| <b>RDC</b>     |                   | OPT                     |                 | <b>EREW</b> |
| <b>CRDS</b>    |                   | OPT                     |                 | <b>EREW</b> |
| <b>RDHP</b>    |                   | OPT                     |                 | <b>EREW</b> |
| <b>RDS</b>     | OPT               | $O(\log n \log \log n)$ | $O(n)$          | <b>CREW</b> |



# Kapitel 4

## Modulare Erweiterungen und Zerlegungen

Zunächst definieren wir in den ersten beiden Abschnitten grundlegende Begriffe, die zur Untersuchung von modularen Erweiterungen einer Graphenklasse benötigt werden.

Anschließend führen wir die Graphenklasse **M** ein, die technisch für die Beweise der folgenden Abschnitte hilfreich ist.

In Abschnitt 4.4 zeigen wir dann, daß modulare Erweiterungen einer Graphenklasse **G**, die bezüglich Primgraphbildung abgeschlossen ist, genauso effizient sequentiell und parallel erkannt werden können wie Graphen aus **G**.

Im Abschnitt 4.5 untersuchen wir das **RDS**-Problem auf modularen Erweiterungen von Bäumen. Hierbei zeigen wir, daß es sich sequentiell in Linearzeit lösen läßt (Satz 4.5.5). Es sei angemerkt, daß auch das **CRDS**- und **RDC**-Problem für modulare Erweiterungen von Bäumen effizient sequentiell und parallel lösbar sind ([NS95]).

Wir schließen dieses Kapitel mit einigen Problemen, die auf modularen Erweiterungen **NP**-vollständig sind.

### 4.1 Definitionen

Es seien  $G = (V, E)$  ein Graph und  $V_1, V_2$  nichtleere disjunkte Teilmengen von  $V$ . Wir schreiben  $V_1 \bowtie V_2$  (bzw.  $V_1 \parallel V_2$ ), falls (in  $G$ ) jeder Knoten aus  $V_1$  mit jedem Knoten aus  $V_2$  adjazent ist (bzw. falls  $V_1 \bowtie V_2$  in  $\overline{G}$  gilt).  $G$  heißt *join-zerlegbar* (bzw. *anti join-zerlegbar*), wenn sich  $V$  so in zwei Mengen  $V_1, V_2$  partitionieren läßt, daß  $V_1 \bowtie V_2$  (bzw.  $V_1 \parallel V_2$ ) gilt.

Eine nichtleere Menge  $M \subseteq V$  heißt *Modul* (oder *modulare Menge*, *homogene Menge*) (in  $G$ ), wenn alle Knoten aus  $M$  in  $V \setminus M$  die gleiche Nachbarschaft besitzen, d.h.

$$N(m_1) \cap (V \setminus M) = N(m_2) \cap (V \setminus M) \quad \text{für alle } m_1, m_2 \in M.$$

Es sei  $M$  ein Modul.  $M$  heißt *echt*, wenn  $M \neq V$ .  $M$  heißt *trivial*, falls  $M = V$  oder  $M = \{v\}$ ,  $v \in V$ . Graphen, die nur triviale Module besitzen, nennen wir *Primgraphen*. Die dazugehörige Graphenklasse bezeichnen wir mit **Prim**.

Es sei  $M$  ein (in  $G$ ) nichttrivialer Modul und  $v_M \in M$ . Dann sei  $\text{MRed}(G, M, v_M)$  derjenige Graph, den man erhält, wenn man den Modul  $M$  in  $G$  zum repräsentierenden Knoten  $v_M$

reduziert, d.h.  $\text{MRed}(G, M, v_M) = G - (M \setminus \{v_M\}) = G(V \setminus (M \setminus \{v_M\}))$ .

Umgekehrt kann man in einem Graphen wie folgt einen Knoten modular erweitern: Seien  $v \in V$  ein Knoten und  $H$  ein Graph mit  $V(H) \cap V = \emptyset$ . Dann sei  $G' := (V', E') := \text{MExt}(G, v, H)$  derjenige Graph, den man erhält, wenn man den Graphen  $H$  in  $G$  „nachbarschaftstreu“ in den Knoten  $v$  einsetzt, d.h.

$$V' := (V \setminus \{v\}) \cup V(H)$$

und

$$E' := \{e \in E : v \notin e\} \cup E(H) \cup \{hx : h \in V(H), x \in V, xv \in E\}.$$

Es sei  $\mathbf{G}$  eine Graphenklasse. Dann sei  $\text{MExt}^*(\mathbf{G})$  die wie folgt rekursiv definierte Graphenklasse:

- (1) Jeder Graph  $G \in \mathbf{G}$  gehört zu  $\text{MExt}^*(\mathbf{G})$ .
- (2) Ist  $G = (V, E) \in \text{MExt}^*(\mathbf{G}) \setminus \{K_1\}$ ,  $v \in V$ ,  $H$  ein Graph mit  $V(H) \cap V = \emptyset$ , so gehört auch der Graph  $\text{MExt}(G, v, H)$  zu  $\text{MExt}^*(\mathbf{G})$ .<sup>1</sup>
- (3) Weitere Graphen enthält  $\text{MExt}^*(\mathbf{G})$  nicht.

$\text{MExt}^*(\mathbf{G})$  kann man als transitive Hülle der Graphenklasse  $\mathbf{G}$  bzgl. modularer Erweiterungen ansehen.

## 4.2 Der einem Graphen zugehörige modulare Baum und Primgraph

Zwei Module  $M_1, M_2$  in  $G$  *überlappen* sich, wenn  $M_1 \cap M_2$ ,  $M_1 \setminus M_2$  und  $M_2 \setminus M_1$  nicht-leere Mengen sind. Nicht überlappende Module nennen wir *überlappungsfrei*. Ein Modul  $M$  heißt *überlappungsfrei*, wenn für jeden Modul  $M'$  die Module  $M, M'$  überlappungsfrei sind. In jedem Graphen sind  $\{v\}$ ,  $v \in V$ , und  $V$  triviale Beispiele für überlappungsfreie Module.

Ist  $M \neq V$  ein überlappungsfreier Modul, so existiert genau ein überlappungsfreier Modul  $M' \supset M$  mit minimaler Kardinalität.<sup>2</sup> Setzen wir  $\text{parent}(M) := M'$ , so erhalten wir wie folgt einen Wurzelbaum  $T_G$  mit Wurzel  $V$ : Die Knotenmenge von  $T_G$  bilden die überlappungsfreien Module und die Kanten sind durch die *parent*-Funktion gegeben.  $T_G$  nennen wir den *modularen Baum* zu  $G$ . ( $T_G$  ist ein Baum, da jedes  $M \in V(T_G)$  nach Konstruktion der *parent*-Funktion durch einen Pfad (in  $T_G$ ) mit  $V$  verbunden ist. Die Kreisfreiheit ist durch  $\text{parent}(M) \supset M$ ,  $M \in V(T_G) \setminus \{V\}$ , gesichert.) Der modulare Baum kann effizient berechnet werden, wie der folgende Satz bestätigt.

### Satz 4.2.1

Es sei  $G$  ein Graph. Dann kann der modulare Baum  $T_G$  zu  $G$  in der folgenden Komplexität berechnet werden:

<sup>1</sup> $G \neq K_1$  ist hierbei wesentlich, da  $\text{MExt}(\{x\}, \emptyset, x, H) = H$ .

<sup>2</sup>Denn wären  $M'_1, M'_2$  zwei verschiedene (bzgl. der Kardinalität) minimale überlappungsfreie Module mit  $M'_i \supset M$ ,  $i = 1, 2$ , so würden sich wegen  $M'_1 \not\subseteq M'_2$ ,  $M'_2 \not\subseteq M'_1$  und  $M \subseteq M'_2 \cap M'_1$  die Module  $M'_1$  und  $M'_2$  überlappen.

- ([MS94])  
Sequentiell in Linearzeit  $O(|V| + |E|)$ .
- ([Dah95])  
Parallel auf einer **CRCW-PRAM** in Zeit  $O(\log^2 |V|)$  mit  $O(|V| + |E|)$  Prozessoren. ■

Es sei  $\mathcal{M}(G)$  der Hypergraph der echten maximalen Module in  $G$ . Zur Definition des Primgraphen eines Graphen benötigen wir folgendes

**Lemma 4.2.2 ([DMS88])**

Es seien  $G = (V, E)$  ein Graph und  $M_1, M_2 \in \mathcal{M}(G)$  mit  $M_1 \neq M_2$ . Dann gilt:

- (1) Aus  $M_1 \cap M_2 \neq \emptyset$  folgt:
- $M_1 \cup M_2 = V$ ,
  - $M_1 \cap M_2$  und  $V \setminus (M_1 \cap M_2)$  sind Module in  $G$ , d.h. insbesondere, daß  $G$  join-zerlegbar oder anti join-zerlegbar ist.
- (2) Ist  $\overline{G}$  nicht zusammenhängend, so gilt

$$\mathcal{M}(G) = \{V \setminus V_i : i = 1, \dots, k\},$$

wobei  $V_1, \dots, V_k$  die Zusammenhangskomponenten von  $\overline{G}$  bezeichnen. ■

Es sei  $G = (V, E)$  ein Graph. Dann sei der Primgraph  $\text{Prim}(G)$  wie folgt definiert:

- (1) Ist  $G = K_1$ , so sei  $\text{Prim}(G) := K_1$ .
- (2) Ist  $\mathcal{M}(G)$  eine Partition von  $V$ , so sei  $\text{Prim}(G)$  derjenige Graph, den man erhält, wenn man jeden echten maximalen Modul in  $G$  zu einem repräsentierenden Knoten reduziert. Dann ist wegen der Maximalität der (echten) Module aus  $\mathcal{M}(G)$  der Graph  $\text{Prim}(G)$  natürlich ein Primgraph.
- (3) Ist  $\mathcal{M}(G)$  keine Partition von  $G$  und  $G \neq K_1$ , so ist  $G$  nach Lemma 4.2.2 (1) join-zerlegbar oder anti join-zerlegbar. Wir setzen dann

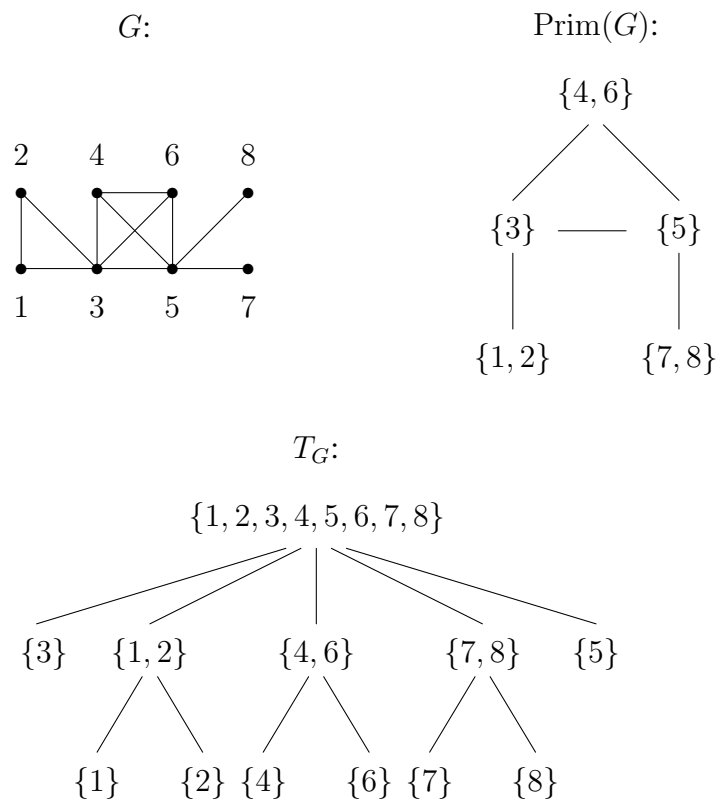
$$\text{Prim}(G) := \begin{cases} K_2, & \text{falls } G \text{ join-zerlegbar,} \\ 2K_1, & \text{falls } G \text{ anti join-zerlegbar.} \end{cases}$$

Ein Beispiel für den zugehörigen modularen Baum und Primgraphen eines Graphen ist in Abbildung 4.1 dargestellt.

## 4.3 Die Graphenklasse M

In diesem Abschnitt untersuchen wir, wann  $\mathcal{M}(G)$  ein dualer Hyperbaum ist. Die Graphenklasse aller Graphen  $G$ , für die  $\mathcal{M}(G)$  ein dualer Hyperbaum ist, bezeichnen wir mit **M**.

Abbildung 4.1: Beispiel für den zugehörigen modularen Baum und Primgraphen eines Graphen





**Lemma 4.3.1**

Es sei  $G = (V, E)$  ein zusammenhängender Graph. Dann ist  $\mathcal{M}(G)$  ein dualer Hyperbaum oder  $G$  ist join–zerlegbar.

**Beweis.** Wir unterscheiden zwei Fälle:

**Fall 1.** Alle Elemente aus  $\mathcal{M}(G)$  sind paarweise disjunkt.

Dann ist  $\mathcal{M}(G)$  trivialerweise ein dualer Hyperbaum, da jeder Baum mit der Knotenmenge  $\mathcal{M}(G)$  einen unterliegenden Baum für  $\mathcal{M}(G)$  darstellt.

**Fall 2.** Es existieren echte Module  $M_1, M_2$  mit  $M_1 \cap M_2 \neq \emptyset$ .

Dann sind nach Lemma 4.2.2 (1) die Mengen  $V_1 := M_1 \cap M_2$  und  $V_2 := V \setminus (M_1 \cap M_2)$  Module in  $G$ . Da  $G$  zusammenhängend ist, folgt  $V_1 \bowtie V_2$ . ■

**Korollar 4.3.2**

Es sei  $G$  ein zusammenhängender Graph. Ist  $c(\overline{G}) \leq 2$ , so ist  $\mathcal{M}(G)$  ein dualer Hyperbaum.

**Beweis.** Ist  $\overline{G}$  zusammenhängend, so ist  $G$  nicht join–zerlegbar und somit  $\mathcal{M}(G)$  nach Lemma 4.3.1 ein dualer Hyperbaum. Ist  $c(\overline{G}) = 2$ , so ist  $\mathcal{M}(G)$  nach Lemma 4.2.2 (2) zweielementig und somit trivialerweise ein dualer Hyperbaum. ■

Es sei  $\mathcal{H} = (V, \mathcal{E})$  ein Hypergraph. Der „2–section–graph“  $2\text{SEC}(\mathcal{H})$  von  $\mathcal{H}$  ist dann der folgende Graph:  $V(2\text{SEC}(\mathcal{H})) := V$  und für  $u, v \in V$  gilt  $uv \in E(2\text{SEC}(\mathcal{H}))$  genau dann, wenn  $u \neq v$  und  $\{u, v\} \subseteq e$  für ein  $e \in \mathcal{E}$  gilt.

$\mathcal{H}$  heißt *konform*, wenn jede vollständige Menge (Clique) in  $2\text{SEC}(\mathcal{H})$  in einer Hyperkante von  $\mathcal{H}$  enthalten ist.

Ein Graph  $G$  heißt *chordal*, wenn  $G$  keinen  $C_n$ ,  $n \geq 4$ , als induzierten Teilgraphen enthält. Dann gilt folgende wichtige Charakterisierung für duale Hyperbäume:

**Satz 4.3.3 ([Duc76], [Fla78])**

Es sei  $\mathcal{H}$  ein Hypergraph. Dann ist  $\mathcal{H}$  genau dann ein dualer Hyperbaum, wenn  $\mathcal{H}$  konform und  $2\text{SEC}(\mathcal{H})$  chordal ist. ■

**Lemma 4.3.4**

Es sei  $G = (V, E)$  ein Graph mit  $c(\overline{G}) \geq 3$ . Dann ist  $2\text{SEC}(\mathcal{M}(G))$  vollständig und  $\mathcal{M}(G)$  kein dualer Hyperbaum.

**Beweis.** Es seien  $V_1, \dots, V_k$  die Zusammenhangskomponenten von  $\overline{G}$ . Nach Lemma 4.2.2 (2) sind dann  $M_i := V \setminus V_i$ ,  $i = 1, \dots, k$ , die maximalen echten Module in  $G$ . Seien  $u, v$  zwei verschiedene Knoten aus  $V$ . Dann gibt es wegen  $k \geq 3$  ein  $j \in \{1, \dots, k\}$  mit  $u, v \notin V_j$ . Also gilt  $\{u, v\} \subseteq M_j$  und somit  $uv \in E(2\text{SEC}(\mathcal{M}(G)))$ . Hieraus folgt die Vollständigkeit von  $2\text{SEC}(\mathcal{M}(G))$ .

Da  $V$  eine Clique in  $2\text{SEC}(\mathcal{M}(G))$  ist, die in keiner Hyperkante von  $\mathcal{M}(G)$  enthalten ist, erhalten wir aus Satz 4.3.3, daß  $\mathcal{M}(G)$  kein dualer Hyperbaum ist. ■

**Korollar 4.3.5**

Es sei  $G$  ein zusammenhängender Graph. Dann ist  $\mathcal{M}(G)$  genau dann ein dualer Hyperbaum, wenn  $c(\overline{G}) \leq 2$ . ■

Für nicht zusammenhängende Graphen, erhält man eine Charakterisierung sofort aus

**Lemma 4.3.6**

Für einen Graphen  $G$  gelten folgende Aussagen:

- (1) Ist  $G$  nicht zusammenhängend, so ist  $\overline{G}$  zusammenhängend.
- (2) Es sei  $M \subseteq V$  eine Teilmenge von  $V$ . Dann ist  $M$  genau dann ein Modul in  $\overline{G}$ , wenn  $M$  ein Modul in  $G$  ist. ■

**Korollar 4.3.7**

Es gilt  $\mathbf{M} = \text{co-}\mathbf{M}$ , d.h.  $\mathcal{M}(G)$  ist genau dann ein dualer Hyperbaum, wenn  $\mathcal{M}(\overline{G})$  ein dualer Hyperbaum ist. ■

**Korollar 4.3.8 (Charakterisierungen für die Graphenklasse  $\mathbf{M}$ )**

Sei  $G$  ein Graph. Dann sind die folgenden Aussagen paarweise äquivalent:

- (1)  $G \in \mathbf{M}$ .
- (2)  $G$  ist entweder zusammenhängend und  $c(\overline{G}) \leq 2$  oder  $c(G) = 2$ .
- (3)  $\mathcal{M}(G)$  ist eine Partition von  $V$  oder  $G = K_1$  (d.h.  $\mathcal{M}(G) = \emptyset$ ).

**Beweis.** Die Beziehungen „(1)  $\iff$  (2)“ und „(3)  $\implies$  (1)“ folgen sofort aus den obigen Ergebnissen. Wir zeigen nun „(1)  $\implies$  (3)“. Sei dazu  $G \in \mathbf{M}$ ,  $G \neq K_1$ .

**Fall 1.**  $G$  ist zusammenhängend.

Dann ist  $c(\overline{G}) \leq 2$ . Wir nehmen an,  $\mathcal{M}(G)$  sei keine Partition von  $V$ . Dann impliziert Lemma 4.3.1, daß  $G$  join–zerlegbar ist. Somit hat  $\overline{G}$  genau zwei Zusammenhangskomponenten, im Widerspruch zu Lemma 4.2.2 (2).

**Fall 2.**  $G$  ist nicht zusammenhängend.

Dann ist  $c(G) = 2$  und somit  $\mathcal{M}(G) = \text{ZHK}(G)$  eine Partition von  $V$ . ■

**Bemerkung 4.3.9**

Es gelten die folgenden Aussagen:

- (1) Bäume und Primgraphen sind Graphen aus  $\mathbf{M}$ .
- (2)  $\text{co-}\mathbf{M} \subset \text{MExt}^*(\{2K_1, K_2\}) \subset \text{MExt}^*(\mathbf{Wälder})$ .

**Beweis.** Ein Baum  $G$  ist zusammenhängend und wegen der  $C_3$ –Freiheit kann  $\overline{G}$  nicht mehr als zwei Zusammenhangskomponenten enthalten. (2) folgt sofort aus Lemma 4.2.2 (1) und  $K_2 \in \text{MExt}^*(\{2K_1, K_2\}) \cap \mathbf{M}$ ,  $P_4 \in \text{MExt}^*(\mathbf{Wälder}) \setminus \text{MExt}^*(\{2K_1, K_2\})$ . ■

## 4.4 Erkennung modularer Erweiterungen von Graphen

Es sei  $\mathbf{G}$  eine Graphenklasse.  $\mathbf{G}$  heißt *bezüglich Primgraphbildung abgeschlossen*, wenn für alle  $G \in \mathbf{G}$  gilt  $\text{Prim}(G) \in \mathbf{G}$ . Wir zeigen in diesem Abschnitt, daß man modulare Erweiterungen einer bezüglich Primgraphbildung abgeschlossenen Graphenklasse  $\mathbf{G}$  genauso effizient erkennen kann wie Graphen aus  $\mathbf{G}$ . Der Grund hierfür liegt darin, daß sich der zugehörige Primgraph eines Graphen  $G$  aus dem modularen Baum  $T_G$  (genauer: aus den Kindern der Wurzel in  $T_G$ ) effizient berechnen läßt.

Es sei  $G$  ein Graph. Dann bezeichne  $\text{Mod}(G)$  die Menge aller Module in  $G$ .

**Lemma 4.4.1**

Es sei  $G$  ein zusammenhängender Graph. Dann gilt

$$\text{Mod}(G) = \{V\} \cup \bigcup_{M \in \mathcal{M}(G)} \text{Mod}(G(M)).$$

Ist  $G \notin \mathbf{M}$  und sind  $V_1, \dots, V_k$  die Zusammenhangskomponenten von  $\overline{G}$ , so gilt speziell

$$\text{Mod}(G) = \bigcup_{i=1}^k \text{Mod}(G(V_i)) \cup \left\{ \bigcup_{i \in I} V_i : I \in \mathcal{P}(\{1, \dots, k\} \setminus \{\emptyset\}) \right\}.$$

**Beweis.** Sei  $M$  ein echter Modul in  $G$ . Dann ist  $M$  in einem maximalen echten Modul  $M_{\max} \in \mathcal{M}(G)$  enthalten und damit insbesondere ein Modul in  $G(M_{\max})$ .

Ist umgekehrt  $M$  ein Modul in  $G(M_{\max})$ , so ist  $M$  auch ein Modul in  $G(M \cup (V \setminus M_{\max}))$ , da  $M_{\max}$  ein Modul in  $G$  ist. Hieraus folgt sofort, daß  $M$  ein Modul in  $G$  ist.

Sei nun  $G \notin \mathbf{M}$  und  $V_1, \dots, V_k$  die Zusammenhangskomponenten von  $\overline{G}$ . Dann ist  $k \geq 3$  nach Korollar 4.3.8. Ist  $M$  ein Modul in  $G(V_i)$ ,  $i \in \{1, \dots, k\}$ , so ist wegen  $M \parallel_{\overline{G}} V_j$ ,  $j \in \{1, \dots, k\} \setminus \{i\}$ ,  $M$  auch ein Modul in  $G$ . Ebenso leicht sieht man, daß für  $I \in \mathcal{P}(\{1, \dots, k\})$ ,  $I \neq \emptyset$ , die Menge  $\bigcup_{i \in I} V_i$  ein Modul in  $G$  ist.

Seien  $i_0, i_1 \in \{1, \dots, k\}$  mit  $i_0 \neq i_1$ . Wir nehmen nun an, daß es einen Modul  $M$  in  $G$  gibt, der

$$M \cap V_{i_0} \neq \emptyset, \quad M \cap V_{i_1} \neq \emptyset, \quad M \neq V_{i_0}$$

erfüllt. Da  $\overline{G}(V_{i_0})$  zusammenhängend ist, gibt es einen Knoten  $x \in V_{i_0} \setminus M$  und einen Knoten  $m \in M$  mit  $xm \in E(\overline{G})$ . Da  $x \parallel_{\overline{G}} M \setminus V_{i_0}$  liefert dies einen Widerspruch zur Modularität von  $M$ . ■

Welche Bedeutung die Mengen aus  $N_{T_G}(V)$  im Graphen  $G$  besitzen, zeigt daß folgende

**Lemma 4.4.2**

Es sei  $G$  ein zusammenhängender Graph. Dann gilt:

(1) Ist  $G \in \mathbf{M}$ , so ist  $N_{T_G}(V) = \mathcal{M}(G)$ .

(2) Ist  $G \notin \mathbf{M}$ , so sind  $N_{T_G}(V)$  die Zusammenhangskomponenten von  $\overline{G}$ .

**Beweis.** Ist  $G \in \mathbf{M}$ , so ist nach Korollar 4.3.8  $\mathcal{M}(G)$  eine Partition von  $G$ . Aus Lemma 4.4.1 folgt dann sofort, daß  $N_{T_G}(V) = \mathcal{M}(G)$  gilt.

Seien  $G \notin \mathbf{M}$  und  $V_1, \dots, V_k$  die Zusammenhangskomponenten von  $\overline{G}$ . Dann gilt  $k \geq 3$  nach Korollar 4.3.8. Es sei  $i \in \{1, \dots, k\}$ . Ist dann  $M$  ein Modul in  $G$  mit  $M \cap V_i \neq \emptyset$ , so folgt nach Lemma 4.4.1  $M \subseteq V_i$  oder  $V_i \subseteq M$ . Damit ist  $V_i$  ein echter überlappungsfreier Modul.

Sei  $I \subset \{1, \dots, k\}$  mit  $|I| \geq 2$ . Dann existieren  $i_0, i_1 \in I$  mit  $i_0 \neq i_1$  und ein  $i_2 \in \{1, \dots, k\} \setminus I$ . Dann sind  $\bigcup_{i \in I} V_i$  und  $V_{i_0} \cup V_{i_2}$  überlappende Module. Somit ist nach Lemma 4.4.1

$$N_{T_G}(V) = \{V_1, \dots, V_k\}$$

bewiesen. ■

**Satz 4.4.3**

Es sei  $G$  ein Graph. Dann können folgende Berechnungen bzw. Entscheidungen sequentiell und parallel in der gleichen Komplexität durchgeführt werden, wie die Berechnung des modularen Baumes zu  $G$  aus Satz 4.2.1:

- (1) Berechnung von  $\text{Prim}(G)$ .
- (2) Entscheidung, ob  $G \in \mathbf{M}$ .
- (3) Berechnung von  $\mathcal{M}(G)$ , falls  $G \in \mathbf{M}$ . Falls  $G \notin \mathbf{M}$ , so kann  $\overline{\mathcal{M}(G)} := \{V \setminus M : M \in \mathcal{M}(G)\}$  berechnet werden.<sup>3</sup>
- (4) Berechnung der Zusammenhangskomponenten von  $\overline{G}$ .

**Beweis.** Zunächst berechnen wir die Zusammenhangskomponenten  $V_1, \dots, V_k$  von  $G$ . Dies geht sequentiell mit Breiten- oder Tiefensuche in Linearzeit ([Bra94]) und parallel auf einer **CRCW-PRAM** in Zeit  $O(\log |V|)$  mit  $O(|V| + |E|)$  Prozessoren ([SV82]). Wir unterscheiden nun drei Fälle:

**Fall 1.**  $k \geq 3$ .

Dann ist  $G$  anti join-zerlegbar, denn es gilt:

$$\begin{aligned} \text{Prim}(G) &:= 2K_1 && \text{(nach Lemma 4.3.6 (2) und Lemma 4.2.2 (1), (2)),} \\ \mathcal{M}(G) &:= \{V \setminus V_1, \dots, V \setminus V_k\} && \text{(nach Lemma 4.3.6 (2) und 4.2.2 (2)),} \\ \text{ZHK}(\overline{G}) &= \{V\} && \text{(nach Lemma 4.3.6 (1)),} \\ G &\notin \mathbf{M} && \text{(nach Korollar 4.3.8).} \end{aligned}$$

**Fall 2.**  $k = 2$ .

Dann ist  $G$  anti join-zerlegbar, und es gilt:

$$\begin{aligned} \text{Prim}(G) &:= 2K_1 && \text{(nach Lemma 4.3.6 (2) und 4.2.2 (2)),} \\ \mathcal{M}(G) &:= \{V_1, V_2\} && \text{(nach Lemma 4.3.6 (2) und 4.2.2 (2)),} \\ \text{ZHK}(\overline{G}) &= \{V\} && \text{(nach Lemma 4.3.6 (1)),} \\ G &\in \mathbf{M} && \text{(nach Korollar 4.3.8).} \end{aligned}$$

**Fall 3.**  $k = 1$ , d.h.  $G$  ist zusammenhängend.

Dann berechnen wir den modularen Baum  $T_G$  zu  $G$  (Komplexität siehe Satz 4.2.1). Seien  $V_1, \dots, V_k$  die Kinder von  $V$  in  $T_G$ .

**Fall 3.1.**  $k = 0$ .

Dann ist  $V$  einelementig (d.h.  $G$  ist ein  $K_1$ ) und somit gilt trivialerweise

$$\begin{aligned} \text{Prim}(G) &= K_1, \\ \text{ZHK}(\overline{G}) &= \{V\}, \\ \mathcal{M}(G) &:= \emptyset, \\ G &\in \mathbf{M}. \end{aligned}$$

<sup>3</sup>Dies liegt daran, daß falls  $G \notin \mathbf{M}$ , die Größe der Menge  $\mathcal{M}(G)$  nicht mehr in  $O(|V| + |E|)$  liegen muß. So besteht  $\mathcal{M}(nK_1)$  z.B. aus  $n$  Mengen der Kardinalität  $n - 1$ , d.h.  $\mathcal{M}(nK_1)$  hat (bezogen auf  $n$ ) quadratische Größe.

**Fall 3.2.**  $k = 1$ .

Dieser Fall kann nicht auftreten, da die einelementigen Teilmengen von  $V \setminus V_1 \neq \emptyset$  nicht in dem von  $V_1$  (in  $T_G$ ) induziertem Teilbaum liegen können.

**Fall 3.3.**  $k = 2$ .

Dann ist  $G$  join-zerlegbar ( $V = V_1 \bowtie V_2$ ). Da  $k = 2$  ist nach Lemma 4.4.2  $c(\overline{G}) = 2$ , somit gilt:

$$\text{Prim}(G) := K_2 \quad (\text{nach Lemma 4.2.2 (2)}),$$

$$\mathcal{M}(G) := \{V_1, V_2\} \quad (\text{nach Lemma 4.2.2 (2)}),$$

$$\text{ZHK}(\overline{G}) = \{V_1, V_2\} \quad (\text{nach Lemma 4.2.2 (2)}),$$

$$G \in \mathbf{M} \quad (\text{nach Korollar 4.3.8}).$$

**Fall 3.4.**  $k \geq 3$ .

Berechne  $M_2 := V_2 \cup \dots \cup V_k$ . Dann prüfen wir, ob  $M_2$  ein Modul in  $G$  ist. Dies läßt sich sequentiell und parallel optimal mit gewichtetem list-ranking lösen, indem man für alle Knoten  $v \in V \setminus M_2$  die Anzahl  $a_v := |N(v) \cap M_2|$  berechnet (vgl. Satz 1.2.1). Denn dann ist  $M_2$  genau dann ein Modul, wenn für alle Knoten  $v \in V \setminus M_2$  entweder  $a_v = 0$  oder  $a_v = |M_2|$  gilt.

**Fall 3.4.1.**  $M_2$  ist ein Modul in  $G$ .

Dann gilt  $V = M_2 \bowtie V_1$  und aus Lemma 4.4.2 folgt:

$$G \notin \mathbf{M},$$

$$\text{Prim}(G) := K_2,$$

$$\text{ZHK}(\overline{G}) = \{V_1, \dots, V_k\},$$

$$\mathcal{M}(G) := \{V \setminus V_1, \dots, V \setminus V_k\} \quad (\text{nach Lemma 4.2.2 (2)}).$$

**Fall 3.4.2.**  $M_2$  ist kein Modul in  $G$ .

Dann ist  $G \in \mathbf{M}$  und  $\mathcal{M}(G) := \{V_1, \dots, V_k\}$  nach Lemma 4.4.2.  $\text{Prim}(G)$  erhalten wir, indem wir jede der Mengen  $V_i$  in  $G$  durch einen repräsentierenden Knoten aus  $V_i$  ersetzen. Dies geht effizient: Man markiert zunächst diejenigen Knoten, die entfernt werden sollen. Anschließend berechnet man für die Knotenliste und den Adjanzlisten die Teillisten der nicht markierten Knoten (parallel benutzt man hierzu die Verdopplungstechnik (siehe [GR88])).  $\overline{G}$  ist zusammenhängend, d.h.  $\text{ZHK}(\overline{G}) = \{V\}$ , da  $G \in \mathbf{M}$  und  $|\mathcal{M}(G)| \geq 3$ . ■

Wie sich der Primgraph bei Komplementbildung bzw. bei modularer Reduktion verhält, beantwortet das folgende

#### Lemma 4.4.4

Es sei  $G$  ein Graph. Dann gelten die folgenden Aussagen:

(1)  $\text{Prim}(\overline{G}) = \overline{\text{Prim}(G)}$ .

(2) Seien  $M \in \text{Mod}(G)$  ein echter Modul in  $G$  und  $v_M \in M$ . Wir setzen  $G' := \text{MRed}(G, M, v_M)$ . Dann gilt:

(a)  $\text{Prim}(G) = \text{Prim}(G')$ .

(b)  $G \in \mathbf{M} \implies G' \in \mathbf{M}$ . Die umgekehrte Implikation ist jedoch nicht allgemeingültig.

**Beweis.** Die Aussage (1) folgt unmittelbar aus der Definition von  $\text{Prim}(G)$  und Lemma 4.3.6 (2).

Nun zum Beweis von (2). Ist  $G \notin \mathbf{M}$ , so unterscheiden wir gemäß Korollar 4.3.8 zwei Fälle.

**Fall 1.**  $c(\overline{G}) > 2$ .

Nach Lemma 4.4.1 folgt dann  $c(\overline{G'}) \geq 2$  und somit

$$\text{Prim}(G) = \text{Prim}(G') = K_2.$$

**Fall 2.**  $c(G) > 2$ .

Aus (1) und Fall 1 schließen wir

$$\text{Prim}(G) = \overline{\text{Prim}(\overline{G})} = \overline{K_2} = 2K_1.$$

Sei nun  $G \in \mathbf{M}$ . Da  $M$  ein echter Modul in  $G$  ist, gibt es ein  $M_{\max} \in \mathcal{M}(G)$  mit  $M_{\max} \supseteq M$ . Im folgenden zeigen wir  $\mathcal{M}(G') = \mathcal{M}'$ , wobei

$$\mathcal{M}' := (\mathcal{M}(G) \setminus \{M_{\max}\}) \cup \{(M_{\max} \setminus M) \cup \{v_M\}\}.$$

Hieraus folgt dann unmittelbar  $G' \in \mathbf{M}$  und  $\text{Prim}(G) = \text{Prim}(G')$ .

Sei  $M' \in \mathcal{M}'$ . Dann ist  $M'$  ein echter Modul in  $G'$ . Wir zeigen, daß  $M'$  auch ein maximaler echter Modul ist.

**Fall 1.**  $M' = (M_{\max} \setminus M) \cup \{v_M\}$ .

Wäre  $M'$  nicht maximal, d.h.  $M' \subset M'_{\max}$ ,  $M'_{\max} \in \mathcal{M}(G')$ , so wäre  $(M'_{\max} \setminus \{v_M\}) \cup M \supset M_{\max}$  ein echter Modul in  $G$ , Widerspruch!

**Fall 2.**  $M' \in \mathcal{M}(G) \setminus \{M_{\max}\}$ .

Wir nehmen wiederum an, daß  $M'$  nicht maximal sei, d.h.  $M' \subset M'_{\max}$  für ein  $M'_{\max} \in \mathcal{M}(G')$ .

**Fall a.**  $v_M \in M'_{\max}$ .

Dann ist  $(M'_{\max} \setminus \{v_M\}) \cup M \supset M'$  ein echter Modul in  $G$ , Widerspruch!

**Fall b.**  $v_M \notin M'_{\max}$ .

Da

$$v_M \bowtie_{G'} M'_{\max} \iff M \bowtie_G M'_{\max} \quad (\text{bzw. } v_M \parallel_{G'} M'_{\max} \iff M \parallel_G M'_{\max})$$

ist  $M'_{\max} \supset M'$  ein echter Modul in  $G$ , Widerspruch!

Damit ist  $\mathcal{M}' \subseteq \mathcal{M}(G')$  bewiesen.  $\mathcal{M}'$  ist eine Partition von  $V(G')$ , da  $\mathcal{M}(G)$  wegen  $G \in \mathbf{M}$  eine Partition von  $V(G)$  ist. Hieraus folgt dann  $\mathcal{M}' = \mathcal{M}(G')$  (denn wäre  $G' \notin \mathbf{M}$ , so wären je zwei echte maximale Module in  $G'$  nach Korollar 4.3.8 und Lemma 4.2.2 (2) nicht disjunkt).

Da  $K_3 \notin \mathbf{M}$  und  $K_2 \in \mathbf{M}$  ist die Aussage „ $G' \in \mathbf{M} \implies G \in \mathbf{M}$ “ nicht allgemeingültig. ■

**Satz 4.4.5**

Es sei  $\mathbf{G}$  eine Graphenklasse, die bezüglich Primgraphbildung abgeschlossen ist. Dann gilt:

- (1) Ob ein Graph  $G$  in  $\text{MExt}^*(\mathbf{G})$  ist, läßt sich sequentiell in derselben Zeit entscheiden, wie die Frage, ob  $G$  in  $\mathbf{G}$  ist.
- (2) Läßt sich auf einer **CRCW-PRAM** in Zeit  $O(t)$  mit  $O(p)$  Prozessoren entscheiden, ob ein Graph  $G = (V, E)$  in  $\mathbf{G}$  ist, so ist in  $O(t + \log^2 |V|)$  Zeit mit  $O(p + |V| + |E|)$  Prozessoren entscheidbar, ob  $G$  in  $\text{MExt}^*(\mathbf{G})$  ist.

**Beweis.** Der Graph  $\text{Prim}(G)$  kann nach Satz 4.4.3 in der gleichen Komplexität berechnet werden, wie die Berechnung des modularen Baumes für  $G$  aus Satz 4.2.1. Mit Lemma 4.4.4 und Induktion folgt

$$G \in \text{MExt}^*(\mathbf{G}) \iff \text{Prim}(G) \in \mathbf{G}.$$

Hieraus folgt sofort die Behauptung. ■

Es sei  $\mathbf{G}$  eine Klasse von Graphen. Dann bezeichnen wir mit  $\text{hered}(\mathbf{G})$  die folgende Graphenklasse:  $G \in \text{hered}(\mathbf{G})$  genau dann, wenn jeder induzierte Teilgraph in  $G$  aus  $\mathbf{G}$  ist. Falls  $\mathbf{G}$  eine Klasse von zusammenhängenden Graphen ist, so fordert man natürlich nur, daß jeder zusammenhängende Teilgraph in  $G$  wieder aus  $\mathbf{G}$  ist.  $\mathbf{G}$  heißt eine *hereditäre Graphenklasse*, falls  $\mathbf{G} = \text{hered}(\mathbf{G})$  gilt.

Ein Knoten  $v$  aus  $G$  heißt *extremal*, falls  $v$  einen *Maximum-Nachbar* besitzt, d.h. es gibt einen Knoten  $w \in N[v]$  so, daß  $D(v, 2) = N[w]$  gilt. Ein Knotenreihenfolge  $(v_1, \dots, v_n)$  von  $V$  heißt eine *Maximum-Nachbarschaftsordnung*, wenn der Knoten  $v_i$  extremal in  $G_i := G(\{v_i, \dots, v_n\})$  ist. Einen Maximum-Nachbarn von  $v_i$  (in  $G_i$ ) bezeichnen wir mit  $\text{mn}_{G_i}(v_i)$ . Diejenigen Graphen, die eine Maximum-Nachbarschaftsordnung besitzen, nennt man *dual chordale Graphen (dual chordal)*. Die dual chordalen Graphen wurden in [BDCV93] eingeführt und charakterisiert.

**Satz 4.4.6**

Die folgenden Graphenklassen sind bezüglich Primgraphbildung abgeschlossen:

- (1) jede hereditäre Graphenklasse (d.h. insbesondere Bäume und Wälder),
- (2) dual chordale Graphen,
- (3) homogen geordnete Graphen (Definition siehe [BDN94]).

**Beweis.** (1) ist trivial, da  $\text{Prim}(G)$  ein induzierter Teilgraph in  $G$  ist, und  $\text{Prim}(G)$  genau dann zusammenhängend ist, wenn  $G$  zusammenhängend ist.

Es sei  $G \neq K_1$  ein dual chordaler Graph mit der Maximum-Nachbarschaftsordnung  $\sigma$ . Weiter sei  $M$  ein (echter) Modul in  $G$  sowie  $v_M \in M$ . Wir zeigen nun, daß auch der Graph  $G' := \text{MRed}(G, M, v_M)$  dual chordal ist. Dazu sei  $\sigma'$  die folgende Eliminationsordnung der Knoten aus  $G'$ :

Es sei  $v_r^M$  der in  $\sigma$  am weitesten rechts stehende Knoten aus  $M$ . Wir entfernen nun in  $\sigma$  alle Knoten aus  $M \setminus \{v_r^M\}$  und belassen die übrigen Knoten in ihrer (bzgl.  $\sigma$ ) ursprünglichen Reihenfolge. Anschließend ersetzen wir den Knoten  $v_r^M$  durch  $v_M$ . Die erhaltene Eliminationsordnung sei  $\sigma'$ .

Wir zeigen nun, daß  $\sigma' =: (v_1, \dots, v_k)$  eine Maximum–Nachbarschaftsordnung in  $G'$  ist.

Ist  $i$  die Position von  $v_M$  in  $\sigma'$ , so folgt aus der Konstruktion von  $\sigma'$ , und da  $M$  ein Modul in  $G$  ist, daß  $(v_i, \dots, v_k)$  eine Maximum–Nachbarschaftsordnung in  $G'(\{v_i, \dots, v_k\})$  ist. Sei nun  $l \in \{1, \dots, i-1\}$ . Ist  $\text{mn}_{G_j}(v_l) \notin M$  ( $j$  bezeichne die Position von  $v_l$  in  $\sigma$ ), so ist  $\text{mn}_{G_j}(v_l)$  auch ein Maximum–Nachbar von  $v_l$  in  $G'_l$ . Andernfalls, d.h. falls  $\text{mn}_{G_j}(v_l) \in M$ , ist wegen der Modularität von  $M$  der Knoten  $v_M$  ein Maximum–Nachbar von  $v_l$  in  $G'_l$ .

(3) wurde bereits in [BDN94] (Corollary 4.5) bewiesen. ■

#### Korollar 4.4.7

Die Graphen aus  $\text{MExt}^*(\mathbf{Wälder})$ ,  $\text{MExt}^*(\mathbf{Bäume})$  und  $\text{MExt}^*(\mathbf{dual chordal})$  können in Linearzeit erkannt werden.

**Beweis.** Bäume und Wälder lassen sich mit Breitensuche (**BFS**) oder Tiefensuche (**DFS**) in Linearzeit erkennen ([Bra94]). In [BDCV93] wird gezeigt, daß auch dual chordale Graphen in Linearzeit erkannt werden können. Somit folgt die Behauptung aus den Sätzen 4.4.5 und 4.4.6. ■

Auch die hereditäre Klasse von  $\text{MExt}^*(\mathbf{G})$  ist oftmals interessant. Wir setzen abkürzend

$$\text{HMExt}^*(\mathbf{G}) := \text{hered}(\text{MExt}^*(\mathbf{G})).$$

Folgende Eigenschaften sieht man sofort:

#### Lemma 4.4.8

Es sei  $\mathbf{G}$  eine hereditäre Graphenklasse. Dann gelten folgende Aussagen:

- (1)  $\mathbf{G} \subseteq \text{HMExt}^*(\mathbf{G})$ .
- (2)  $G \in \text{HMExt}^*(\mathbf{G})$  genau dann, wenn jeder induzierte Teilgraph (bzw. zusammenhängende induzierte Teilgraph, falls  $\mathbf{G}$  eine Klasse von zusammenhängenden Graphen ist) von  $G$  entweder einen nichttrivialen Modul enthält oder aus  $\mathbf{G}$  ist. ■

Für die Klasse  $\text{HMExt}^*(\mathbf{chordal})$  ist bereits eine Charakterisierung durch verbotene Teilgraphen bekannt.

#### Satz 4.4.9 ([Ola89])

Ein Graph  $G$  ist genau dann aus  $\text{HMExt}^*(\mathbf{chordal})$ , wenn er keinen  $C_n$ ,  $n \geq 5$ , sowie keinen Graphen aus Abbildung 4.2 als induzierten Teilgraphen enthält (sogenannte Weak bipolarizable graphs). ■

Ein Graph  $G$  heißt *Cograph*, wenn  $G$  keinen  $P_4$  als induzierten Teilgraphen besitzt.

#### Lemma 4.4.10 ([Sei74])

Sei  $G$  ein Graph mit mehr als einem Knoten. Ist dann sowohl  $G$  als auch  $\overline{G}$  zusammenhängend, so ist  $G$  kein Cograph. ■

#### Korollar 4.4.11

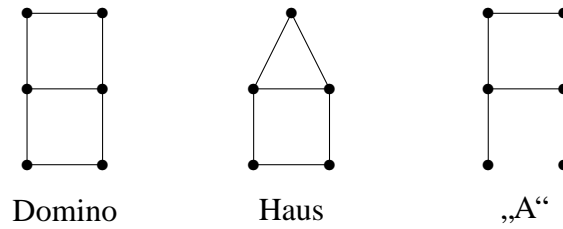
Die Klasse  $\text{HMExt}^*(\{K_1, K_2\})$  ist gleich der Klasse der zusammenhängenden Cographen.

**Beweis.** Die Inklusion „ $\subseteq$ “ ist klar, da ein  $P_4$  ein Primgraph ist.

Die umgekehrte Inklusion sieht man wie folgt: Sei  $G \neq K_1$  ein zusammenhängender Cograph. Dann ist nach Lemma 4.4.10 das Komplement  $\overline{G}$  von  $G$  nicht zusammenhängend. Aus dem Beweis von Satz 4.4.3 folgt  $\text{Prim}(G) = K_2$  und somit  $G \in \text{MExt}^*(\{K_1, K_2\})$ . Da die Klasse der Cographen eine hereditäre Graphenklasse ist, folgt  $G \in \text{HMExt}^*(\{K_1, K_2\})$ . ■



Abbildung 4.2: Ein Domino, Haus und ein „A“



Es sei  $G \in \text{MExt}^*(\mathbf{Bäume})$ . Weiter seien  $T = (V, E)$  ein Baum und  $(M_v)_{v \in V}$  disjunkte Moduln in  $G$ .  $(T, (M_v)_{v \in V})$  heißt eine *Baumdarstellung* von  $G$ , wenn

$$G = \text{MExt}(\text{MExt}(\dots \text{MExt}(T, v_n, M_{v_n}), \dots, v_2, M_{v_2}), v_1, M_{v_1}),$$

wobei  $V = \{v_1, \dots, v_n\}$ .  $T$  nennen wir den *unterliegenden Baum* der Baumdarstellung  $(T, (M_v)_{v \in V})$ .

Aus dem Beweis von Satz 4.4.3 folgt sofort

#### Korollar 4.4.12

Sei  $G \in \text{MExt}^*(\mathbf{Bäume})$ . Dann besitzt  $G$  eine Baumdarstellung. Sie kann sequentiell und parallel in der gleichen Komplexität berechnet werden, wie die Berechnung des modularen Baumes für  $G$  aus Satz 4.2.1. ■

## 4.5 Das RDS–Problem auf $\text{MExt}^*(\mathbf{Bäume})$

Wir wissen bereits, daß jeder Graph  $G$  aus  $\text{MExt}^*(\mathbf{Bäume})$  eine Baumdarstellung besitzt (Korollar 4.4.12). Diese Baumstruktur werden wir zur Lösung des **RDS**–Problems auf  $G$  benutzen.

Die Module der Baumdarstellung können jedoch einen beliebigen Graphen in  $G$  induzieren, was ungünstig ist. Daher untersuchen wir im Abschnitt 5.1 zunächst, ob wir uns auf spezielle Module beschränken dürfen. Wir erhalten (Satz 4.5.2): Beim **RDS**–Problem auf  $\text{MExt}^*(\mathbf{Bäume})$  können wir uns auf Graphen  $G \in \text{MExt}^*(\mathbf{Bäume})$  in Baumdarstellung beschränken, so daß für jeden Modul  $M$  der Baumdarstellung gilt:  $G(M)$  ist entweder ein  $K_1$  (d.h.  $M$  ist einelementig) oder ein  $2K_1$  (d.h.  $M$  besteht aus zwei nichtadjazenten Knoten), dessen beide Knoten den  $r$ –Wert 1 besitzen.

Im Abschnitt 5.3 führen wir eine spezielle Eliminationsordnung für Wurzelbäume ein (sog. starke Blätter–Eliminationsordnungen). Diese benötigen wir für den unterliegenden Baum der Baumdarstellung von  $G$  im Abschnitt 5.4, wo wir einen Algorithmus entwickeln, der das **RDS**–Problem auf  $\text{MExt}^*(\mathbf{Bäume})$  in Linearzeit löst.

### 4.5.1 Einschränkung des Problems auf spezielle Baumdarstellungen

Es sei  $(G, r)$  ein *knotenbewerteter Graph*, d.h.  $G$  ist ein Graph und  $r : V(G) \rightarrow \mathbb{N}$  eine zugehörige Knotenbewertung.

Jeden Modul  $M$  aus  $G$  zerlegen wir wie folgt in drei paarweise disjunkte Teilmengen:  $M_0 := \{v \in M : r(v) = 0\}$ ,  $M_1 := \{v \in M : r(v) = 1\}$  und  $M_{\geq 2} := \{v \in M : r(v) \geq 2\}$ .

Weiter definieren wir vier verschiedene Typen von speziellen Modulen in einem knotenbewerteten Graphen:

| Typ | Modul $M$           | $G(M)$ | $r$ -Werte                        |
|-----|---------------------|--------|-----------------------------------|
| 1   | $\{v_1\}$           | $K_1$  | $r(v_1) \in \mathbb{N}$           |
| 2   | $\{v_1, v_2\}$      | $2K_1$ | $r(v_1) = r(v_2) = 1$             |
| 3a  | $\{v_1, v_2\}$      | $2K_1$ | $r(v_1) = 0, r(v_2) = 1$          |
| 3b  | $\{v_1, v_2, v_3\}$ | $3K_1$ | $r(v_1) = 0, r(v_2) = r(v_3) = 1$ |

Entsprechend nennen wir für  $x \in \{1, 2, 3a, 3b\}$  einen knotenbewerteten Graphen  $(H, s)$  vom Typ  $x$ , wenn  $V(H)$  ein Modul vom Typ  $x$  in  $H$  ist.

#### Satz 4.5.1

Es sei  $\mathbf{G}$  eine Klasse von zusammenhängenden Graphen. Läßt sich das **RDS**-Problem für folgende Instanzen  $(G, r)$  auf  $\mathbf{G}$  in Zeit  $O(t)$  lösen, so läßt es sich bereits für alle Instanzen auf  $\mathbf{G}$  in derselben Zeit lösen.

- Entweder ist  $G \in \mathbf{M}$  und jeder echte Modul in  $G$  ist ein Modul vom Typ 1, 2, 3a oder 3b,
- oder  $G \notin \mathbf{M}$  und  $G$  besitzt eine join-Zerlegung  $V = M_1 \bowtie M_2$ , so daß  $M_1, M_2$  Module vom Typ 1, 2, 3a oder 3b sind.

**Beweis.** Es sei  $M$  ein beliebiger echter Modul in  $G$ . Wir konstruieren nun wie folgt aus  $G$  einen knotenbewerteten Graphen  $(G', r')$ : Wir ersetzen (in  $G$ ) „in natürlicher Weise“ den Modul  $M$  durch einen Modul  $M'$  vom Typ  $x$ ,  $x \in \{1, 2, 3a, 3b\}$ , exakter: Sei  $v_M \in M$  und  $(H, s)$  sei ein knotenbewerteter Graph vom Typ  $x$  mit  $V(H) = M'$ . Wir bilden dann den Graphen  $G' := \text{MExt}(\text{MRed}(G, M, v_M), v_M, H)$  und definieren  $r'$  durch

$$r'(v) := \begin{cases} r(v), & \text{falls } v \in V \setminus M, \\ s(v), & \text{falls } v \in M'. \end{cases}$$

Weiter geben wir an, wie man aus einer minimalen  $r'$ -dominierenden Menge  $D'$  in  $G'$  eine minimale  $r$ -dominierende Menge  $D$  in  $G$  berechnen kann.

Für den Beweis der Korrektheit benützen wir folgende Aussagen, die leicht einzusehen sind:

- (1)  $V(G') = (V(G) \setminus M) \cup M'$ ,
- (2)  $d_G(x, y) = d_{G'}(x, y)$  für alle  $x, y \in V(G) \setminus M$ ,
- (3)  $d_G(x, M) = d_{G'}(x, M')$  für alle  $x \in V(G) \setminus M$ ,
- (4)  $d_G(m_1, m_2) \leq 2$  für alle  $m_1, m_2 \in M$ .

Wir initialisieren  $D$  zunächst durch  $D := D' \cap (V(G) \setminus M) = D' \setminus M'$ .

**Fall 1a.**  $M_0 = \emptyset$  und es existiert ein  $x \in M$  mit  $M_1 \subseteq N_G[x]$ .

Dies ist insbesondere dann der Fall, wenn  $M_0 = M_1 = \emptyset$ . Wir ersetzen  $M$  durch den Modul  $M' := \{v_M\}$  vom Typ 1 mit  $r'(v_M) := \min_{x \in M} r(x) \geq 1$ . Falls  $v_M \in D'$ , so nehmen wir  $x$  in  $D$  auf.

Korrektheit: Zunächst zeigen wir, daß  $D$  eine  $r$ -dominierende Menge in  $G$  ist. Ist  $v_M \notin D'$ , so  $r$ -dominiert  $D$  nach (2) alle Knoten aus  $V \setminus M$ . Da  $v_M$  in  $G'$  durch  $D'$   $r'$ -dominiert wird, wird  $M$  nach (3) durch  $D$   $r$ -dominiert. Ist  $v_M \in D'$ , so  $r$ -dominiert  $D$  nach (2) und (3) alle Knoten aus  $V \setminus M$  und wegen  $x \in D$  auch alle Knoten aus  $M$  ( $x$   $r$ -dominiert alle Knoten aus  $M$  nach Voraussetzung und (4)).

Sei nun  $D_{\min}$  eine minimale  $r$ -dominierende Menge in  $G$ . Dann gilt  $|D_{\min} \cap M| \leq 1$ , da andernfalls  $(D_{\min} \setminus M) \cup \{x\}$  eine echt kleinere  $r$ -dominierende Menge in  $G$  wäre. Ist  $|D_{\min} \cap M| = 0$  (bzw.  $|D_{\min} \cap M| = 1$ ), so ist  $D_{\min}$  (bzw.  $D_{\min} \cup \{v_M\}$ ) eine  $r'$ -dominierende Menge in  $G'$ .

Damit ist  $D$  wegen  $|D| = |D'|$  tatsächlich eine minimale  $r$ -dominierende Menge in  $G$ .

**Fall 1b.**  $M_0 \neq \emptyset$  und  $M_0$   $r$ -dominiert  $M$  in  $G$ .

Wir ersetzen  $M$  durch den Modul  $M' := \{v_M\}$  vom Typ 1 mit  $r'(v_M) := 0$  und fügen  $M_0$  zu  $D$  hinzu.

Die Korrektheit beweist man wie im Fall 1a. Man beachte, daß wegen  $r'(v_M) := 0$  der Knoten  $v_M$  in  $D'$  enthalten sein muß.

**Fall 2.**  $M_0 = \emptyset$  und es existiert kein  $x \in M$  mit  $M_1 \subseteq N_G[x]$  ( $\implies M_1 \neq \emptyset$ ).

Dann ersetzen wir  $M$  durch den Modul  $M' = \{v_M^1, v_M^2\}$  vom Typ 2. Falls  $|D' \cap M'| = 1$  nehmen wir einen beliebigen Knoten aus  $M$  zu  $D$  hinzu. Falls  $|D' \cap M'| = 2$  nehmen wir einen beliebigen Knoten aus  $M$  und einen beliebigen Knoten aus  $N(M)$  ( $N(M) \neq \emptyset$ , da  $G$  zusammenhängend ist) zu  $D$  hinzu.

Korrektheit: Ist  $|D' \cap M'| = 1$ , so ist  $D' \cap N_{G'}(M') \neq \emptyset$  (und damit  $D \cap N_G(M) \neq \emptyset$ ), da der Knoten aus  $D' \cap M'$  (in  $G'$ ) den anderen Knoten aus  $D'$  nicht  $r'$ -dominieren kann. Somit ist klar (man beachte (2)–(4)), daß  $D$  in diesem Fall eine  $r$ -dominierende Menge in  $G$  ist.

Ist  $|D' \cap M'| = 2$ , so  $r$ -dominiert  $D$  den Graphen  $G$ , da der Knoten aus  $N(M) \cap D$  die gesamte Menge  $M$  (in  $G$ )  $r$ -dominiert.

Sei nun  $D_{\min}$  eine minimale  $r$ -dominierende Menge in  $G$ . Dann gilt  $|D_{\min} \cap M| \leq 2$ , da andernfalls  $(D_{\min} \setminus M) \cup \{x, m\}$ ,  $m \in M$ ,  $x \in N(M)$ , eine echt kleinere  $r$ -dominierende Menge in  $G$  wäre. Ist  $|D_{\min} \cap M| = 0$ , so ist  $D_{\min}$  auch eine  $r'$ -dominierende Menge in  $G'$ . Ist  $|D_{\min} \cap M| = 1$  (bzw.  $|D_{\min} \cap M| = 2$ ), so ist  $(D_{\min} \setminus M) \cup \{v_M^1\}$  (bzw.  $(D_{\min} \setminus M) \cup \{v_M^1, v_M^2\}$ ) eine  $r'$ -dominierende Menge in  $G'$ .

Damit ist  $D$  tatsächlich eine minimale  $r$ -dominierende Menge in  $G$  (da  $|D| = |D'|$ ).

**Fall 3.**  $M_0 \neq \emptyset$  und  $M_0$   $r$ -dominiert nicht  $M$  in  $G$ .

Dann sei  $M'_1$  die Menge aller Knoten aus  $M$ , die nicht durch einen Knoten aus  $M_0$   $r$ -dominiert werden, d.h.

$$M'_1 := \{x \in M_1 : x \notin N(M_0)\}.$$

**Fall 3a.** Es existiert ein  $x \in M$ , das ganz  $M'_1$  in  $G$   $r$ -dominiert.

Dann ersetzen wir  $M$  durch den Modul  $M' := \{v_M^1, v_M^2\}$ ,  $r(v_M^1) = 0$ ,  $r(v_M^2) = 1$  vom Typ 3a. Wir nehmen  $M_0$  zu  $D$  hinzu. Falls  $v_M^2 \in D'$ , so nehmen wir auch  $x$  zu  $D$  hinzu.

Die Korrektheit beweist man wie im Fall 1a.

**Fall 3b.** Es existiert kein  $x \in M$ , das ganz  $M'_1$  in  $G$   $r$ -dominiert.

Dann ersetzen wir  $M$  durch den Modul  $M' := \{v_M^1, v_M^2, v_M^3\}$ ,  $r(v_M^1) = 0$ ,  $r(v_M^2) = r(v_M^3) = 1$  vom Typ 3b. Wir nehmen  $M_0$  zu  $D$  hinzu.

Man beachte, daß  $D' \cap \{v_M^2, v_M^3\} = \emptyset$ , denn wäre  $i := |D' \cap \{v_M^2, v_M^3\}| \in \{1, 2\}$  so erhalten wir wie folgt einen Widerspruch:

1.  $i = 1$ .

Dann ist wegen  $v_M^1 \in D'$  auch  $D' \setminus \{v_M^2, v_M^3\}$  eine  $r'$ -dominierende Menge in  $G'$  mit weniger Elementen als  $D'$  (beachte:  $D' \cap N_{G'}(M') \neq \emptyset$ ).

2.  $i = 2$ .

Es sei  $x$  ein beliebiger Knoten aus  $N_{G'}(M')$ . Dann  $r'$ -dominiert auch  $(D' \setminus \{v_M^2, v_M^3\}) \cup \{x\}$  den Graphen  $G'$ , Widerspruch!

Die Korrektheit beweist man wie im Fall 2.

Die Korrektheit folgt nun induktiv, indem man im Falle  $G \in \mathbf{M}$  jedes  $M \in \mathcal{M}(G)$  bzw. im Falle  $G \notin \mathbf{M}$  die beiden Module einer beliebigen join-Zerlegung derart konvertiert.

Nun zur Komplexität: Wir zerlegen  $M$  zunächst in  $M_0, M_1, M_{\geq 2}$  und berechnen die Menge  $A$  der Knoten aus  $M$ , die  $M_0$  in  $G$   $r$ -dominiert. Weiter sei  $B := M_1 \setminus A$ . Ist  $B \neq \emptyset$ , so prüfen wir, ob es einen Knoten  $v \in M$  gibt, der  $B$  in  $G$   $r$ -dominiert, d.h. man muß prüfen, ob  $M \cap \bigcap_{b \in B} N_G[b] \neq \emptyset$  ist. Dies geht in Zeit  $O(|M| + \sum_{b \in B} \deg(b))$ , indem man die Nachbarschaftslisten der Knoten aus  $B$  durchläuft und für jeden Knoten aus  $M$  die Anzahl der Nachbarn in  $B$  berechnet. ■

Ein Beispiel zu der im letzten Beweis beschriebenen Konvertierung, findet man in Abbildung 4.3 (ein knotenbewerteter Graph aus  $\text{MExt}^*(\mathbf{Bäume})$  in Baumdarstellung) und Abbildung 4.4 (der gemäß Satz 4.5.1 konvertierte Graph aus Abbildung 4.3).

Wir spezialisieren nun den letzten Satz für die Graphenklasse  $\text{MExt}^*(\mathbf{Bäume})$ . Hierdurch erhalten wir eine weitere Vereinfachung.

### Satz 4.5.2

Beim RDS-Problem auf  $\text{MExt}^*(\mathbf{Bäume})$  können wir uns auf Graphen  $G \in \text{MExt}^*(\mathbf{Bäume})$  beschränken, die in einer Baumdarstellung  $(T, (M_v)_{v \in V(T)})$  gegeben sind, so daß für jedes  $v \in V(T)$  die Menge  $M_v$  ein Modul vom Typ 1 oder 2 in  $G$  ist.

**Beweis.** Es sei  $G \in \text{MExt}^*(\mathbf{Bäume})$ ,  $r : V(G) \rightarrow \mathbb{N}$  eine Knotenbewertung. Eine Baumdarstellung  $(T, (M_v)_{v \in V(T)})$  von  $G$  kann nach Korollar 4.4.12 in Linearzeit bestimmt werden. Weiter können wir nach Satz 4.5.1 annehmen, daß jedes  $M_v$ ,  $v \in V(T)$ , in  $G$  ein Modul des Typs 1, 2, 3a oder 3b ist.

Wir modifizieren nun die Baumdarstellung  $(T, (M_v)_{v \in V(T)})$  wie folgt in eine Baumdarstellung  $(T', (M'_v)_{v \in V(T')})$  eines Graphen  $G' \in \text{MExt}^*(\mathbf{Bäume})$ : Sei  $v$  ein Knoten in  $T$ , so daß  $M := M_v$  in  $G$  ein Modul vom Typ 3 (= Typ 3a oder Typ 3b) ist, d.h.  $M$  enthält genau einen Knoten  $v_0$  mit  $r(v_0) = 0$  und einen oder zwei Knoten mit  $r$ -Wert 1. Weiter seien  $u_1, \dots, u_k$  die

Abbildung 4.3: Ein knotenbewerteter Graph aus MExt\*(Bäume) in Baumdarstellung

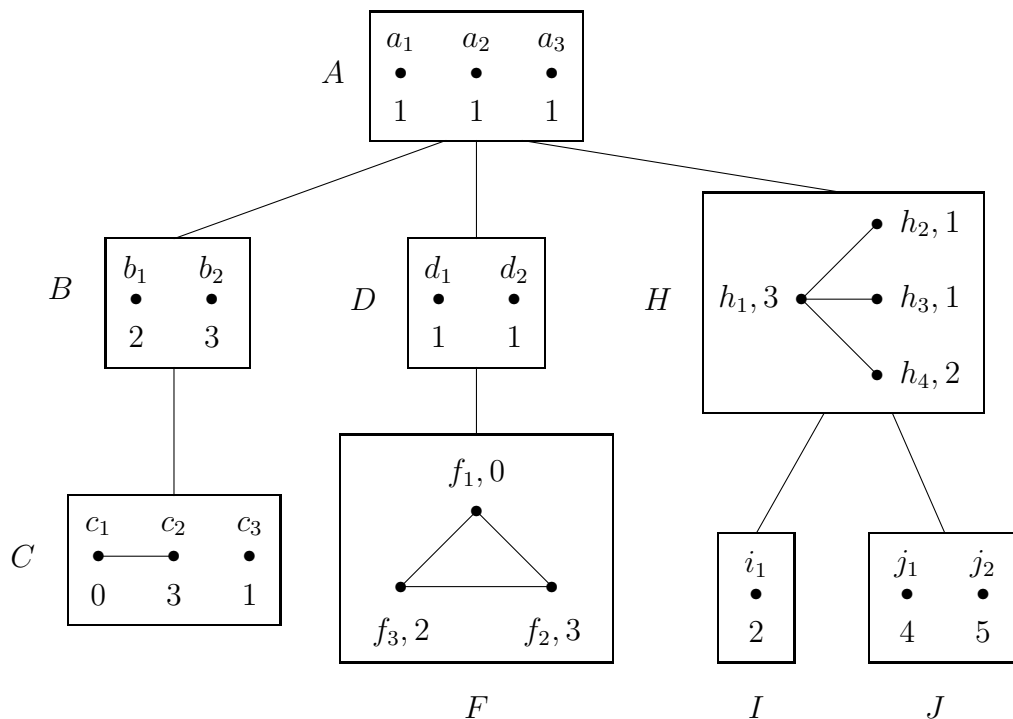


Abbildung 4.4: Der gemäß Satz 4.5.1 konvertierte Graph aus Abbildung 4.3

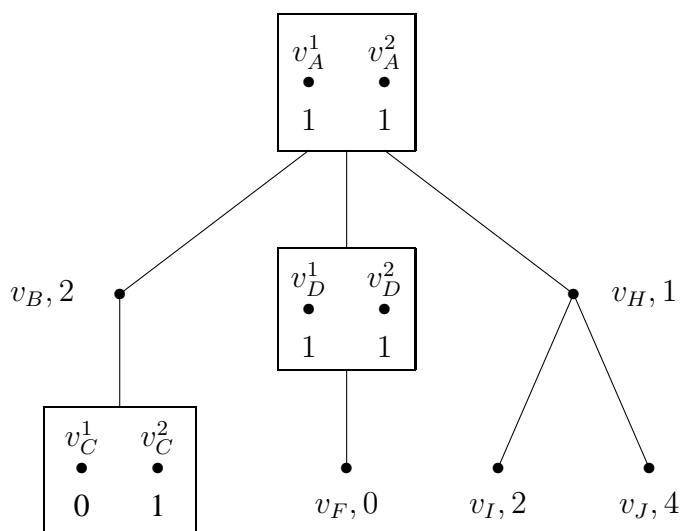
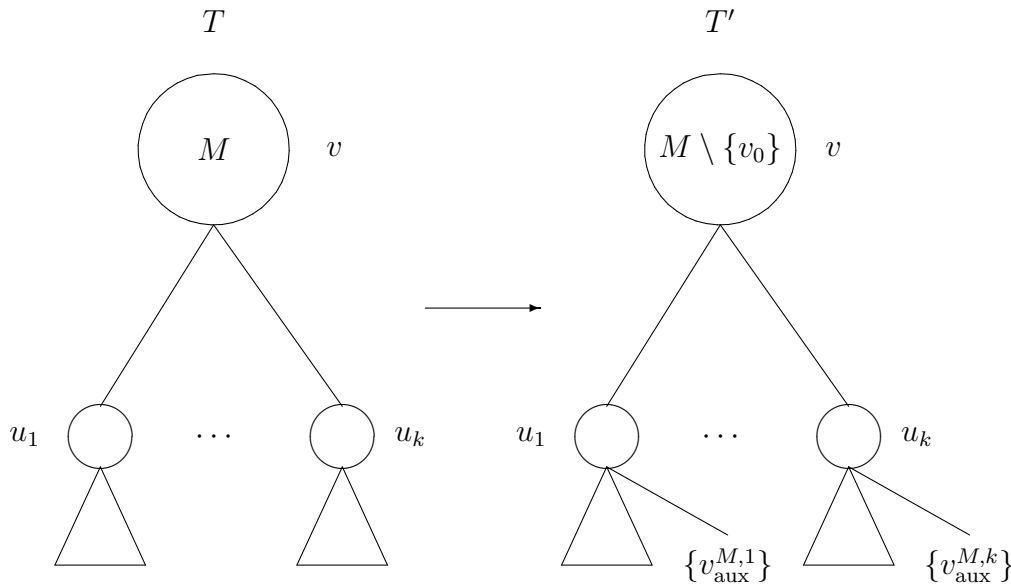


Abbildung 4.5: Skizze zur Konvertierung in Satz 4.5.2



Nachbarn von  $v$  in  $T$ . Wir entfernen nun  $v_0$  aus  $M$  und hängen an jeden Knoten  $u_i$ ,  $i = 1, \dots, k$ , (in  $T$ ) einen neuen Knoten als Blatt an, der einen Modul  $\{v_{aux}^{M,i}\}$  vom Typ 1 mit  $r$ -Wert 0 repräsentiert, vgl. Abbildung 4.5.

Dann gilt: Für jeden Knoten  $x \neq v_0$  in  $G$  ist

$$\min_{i=1}^k d_{G'}(x, v_{aux}^{M,i}) = d_G(x, v_0),$$

d.h.  $\{v_{aux}^{M,i} : i = 1, \dots, k\}$  dominiert in  $G'$  genau diejenigen Knoten, die  $v_0$  in  $G$  dominiert.

Hieraus folgt: Ist  $D'$  eine minimale  $r$ -dominierende Menge in  $G'$ , so ist eine minimale  $r$ -dominierende Menge in  $G$  gegeben durch

$$(D' \setminus \{v_{aux}^{M,i} : i = 1, \dots, k\}) \cup \{v_0\}.$$

Auf diese Weise lassen sich alle Module des Typs 3 in Module der Typen 1 und 2 konvertieren. Da die Anzahl der insgesamt neu hinzugefügten Knoten in  $O(\sum_{v \in V(T)} \deg(v)) = O(2|E(T)|)$  liegt, ist der Satz bewiesen. ■

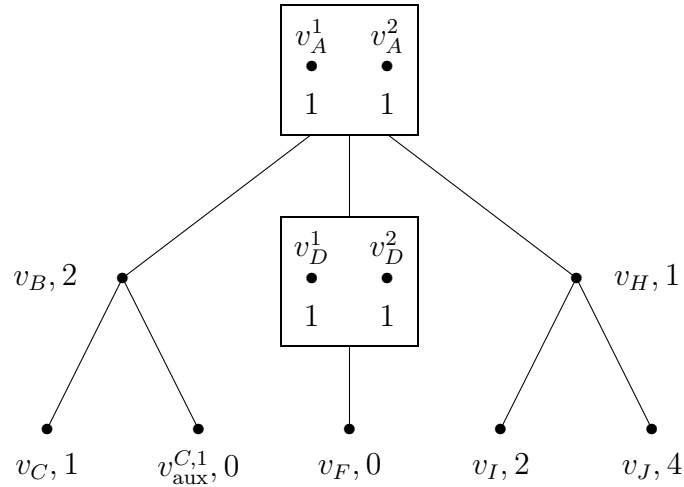
## 4.5.2 Starke Blätter-Eliminationsordnungen

Sei  $T = (V, E)$  ein Wurzelbaum und  $v \in V$ . Der Knoten  $v$  heißt ein *Vater von Blättern*, falls gilt:

- $\text{outdeg}(v) \geq 1$ , d.h.  $v$  besitzt mindestens ein Kind,
- alle Kinder von  $v$  sind Blätter.

$\sigma = ((v_1, B_1), \dots, (v_{k-1}, B_{k-1}), v_k)$  heißt eine *starke Blätter-Eliminationsordnung* in  $T$  genau dann, wenn

Abbildung 4.6: Der gemäß Satz 4.5.2 konvertierte Graph aus Abbildung 4.4



- für  $i = 1, \dots, k-1$  ist  $v_i$  ein Vater von Blättern in  $T_i := T - \bigcup_{j=1}^{i-1} B_j$  und  $B_i$  sind die Kinder von  $v_i$  in  $T_i$ ,
- $V \setminus \bigcup_{j=1}^{k-1} B_j = \{v_k\}$  (dann ist natürlich  $v_k = v_{k-1}$ ).

Die Bezeichnung „starke Blätter-Eliminationsordnung“ ist hierbei wie folgt motiviert: Ist  $\sigma_i$  eine beliebige Anordnung der Knoten aus  $B_i$ ,  $i = 1, \dots, k-1$ , so ist  $(\sigma_1, \dots, \sigma_{k-1}, v_k)$  eine Blätter-Eliminationsordnung in  $T$ .

### Satz 4.5.3

Jeder Wurzelbaum  $T_w = (V, E)$  besitzt eine starke Blätter-Eliminationsordnung  $\sigma$  und sie kann in Linearzeit berechnet werden.

**Beweis.** Die Existenz sieht man leicht: Ist  $T \neq K_1$  und  $v \in V$  ein Knoten mit  $\text{depth}(v) = \text{depth}(T)$ , so ist  $v$  ein Blatt und  $\text{parent}(v)$  ein Vater von Blättern in  $T$ . Hieraus folgt induktiv die Existenz einer starken Blätter-Eliminationsordnung. Der letzte Knoten von  $\sigma$  ist dabei immer die Wurzel  $w$ .

Nun zum Beweis, daß  $\sigma$  in Linearzeit berechnet werden kann. Wir bestimmen zunächst für jeden Knoten  $v$  dessen Ausgangsgrad  $\text{outdeg}(v)$ . Dann gilt für  $v \neq w$ :

$$v \text{ ist ein Blatt} \iff \text{outdeg}(v) = 0.$$

Anschließend berechnen wir für jeden Knoten  $v$  die Anzahl  $\text{Loutdeg}(v)$  der Kinder von  $v$ , die Blätter sind. Dann ist  $v$  ein Vater von Blättern genau dann, wenn

$$\text{outdeg}(v) \neq 0 \text{ und } \text{Loutdeg}(v) = \text{outdeg}(v).$$

Die starke Blätter-Eliminationsordnung berechnet man dann mit der üblichen Warteschlangentechnik<sup>4</sup>, d.h. man geht wie folgt vor:

- (1) Sei  $W = \emptyset$  eine zunächst leere Warteschlange und  $\sigma := ()$ .

<sup>4</sup>Ein klassisches Beispiel, wo die Warteschlangentechnik verwendet wird, ist Breitensuche ([Bra94]).

- (2) Füge alle Knoten  $v$  mit  $\text{outdeg}(v) \neq 0$  und  $\text{Loutdeg}(v) = \text{outdeg}(v)$  zu  $W$  hinzu.
- (3) Solange  $W \neq \emptyset$  führe folgendes aus:
- (a) Sei  $x \in W$  beliebig. Lösche  $x$  aus  $W$ .
  - (b) Entferne die Kinder  $K_x$  von  $x$  aus dem aktuellen Baum.
  - (c) Füge  $(x, K_x)$  am Ende von  $\sigma$  hinzu.
  - (d) Sei  $y := \text{parent}(x)$ . Aktualisiere

$$\text{Loutdeg}(y) := \text{Loutdeg}(y) + 1.$$

Ist  $\text{Loutdeg}(y) = \text{outdeg}(y)$ , so füge  $y$  zu  $W$  hinzu.

- (4) Der aktuelle Baum besteht dann nur noch aus einem einzelnen Knoten  $v$ . Füge  $v$  ans Ende von  $\sigma$  hinzu. ■

### 4.5.3 Der Algorithmus

Um das **RDS**-Problem für einen Graphen  $G \in \text{MExt}^*(\mathbf{B\ddot{a}ume})$ ,  $r : V(G) \rightarrow \mathbb{N}$  eine Knotenbewertung, zu lösen, dürfen wir nach Abschnitt 4.5.1 annehmen, daß  $G$  in einer Baumdarstellung  $(T = (V, E), (M_v)_{v \in V})$  gegeben ist und daß jedes  $M_v$ ,  $v \in V$ , ein Modul vom Typ 1 oder 2 (in  $G$ ) ist. Weiter nehmen wir an, daß  $T$  als Wurzelbaum vorliegt.

Um die Bezeichnungsweise zu vereinfachen, führen wir folgende Sprechweisen ein: Einen Knoten  $v \in V$  nennen wir einen  $i$ -Knoten, falls  $M_v$  (in  $G$ ) ein Modul vom Typ  $i$  ist,  $i = 1, 2$ . Weiter identifizieren wir  $v$  mit dem Knoten aus  $M_v$ , falls  $v$  ein 1-Knoten ist. Ist  $v$  ein 2-Knoten, so sei  $\{v_1, v_2\} := M_v$ . Für  $M_v$  schreiben wir auch  $v$ . Sprechen wir z.B. von den Knoten im Teilbaum  $T_x$ , so meinen wir die Knoten aus den zugehörigen Modulen der Knoten aus dem Teilbaum  $T_x$ , hierfür schreiben wir auch kurz  $V_G(T_x)$ , d.h.  $V_G(T_x) := \bigcup_{v \in V(T_x)} M_v$ . Anstatt  $r$ -dominiert schreiben wir häufig auch kurz dominiert.

Der Algorithmus basiert auf entsprechenden Algorithmen für das **RDS**-Problem auf Bäumen ([Sl76], [HY90]) und dual chordalen Graphen ([BCD94]).

Wenn wir im folgenden von den Parametern eines Knotens des aktuellen Baumes sprechen, so meinen wir für einen 1-Knoten  $v$  die zwei Parameter  $c(v)$  und  $r(v)$  und für einen 2-Knoten  $v$  die fünf Parameter  $c(v)$ ,  $A_v$ ,  $B_v$ ,  $C_v$  und  $D_v$ . Die Bedeutung dieser Parameter beschreiben wir später. Hier wollen wir zunächst nur das grobe Vorgehen des Algorithmus darlegen: Zunächst werden die Parameter der Blätter von  $T$  mit Werten belegt, und eine Menge  $R$  wird durch  $R := \emptyset$  initialisiert. Anschließend führen wir wiederholt den folgenden Schritt aus, bis der aktuelle Baum ein  $K_1$  ist:

Wir berechnen einen Vater von Blättern  $x$  in dem gerade aktuellen Baum. Anschließend löschen wir die Kinder von  $x$  und belegen die Parameter von  $x$  mit Werten. Diese Werte bestimmen wir hierbei aus den Parametern der Kinder von  $x$ . Weiter entscheiden wir, ob wir „neue“ Knoten zur Menge  $R$  hinzufügen.

Anschließend, d.h. wenn der aktuelle Baum nur noch aus der Wurzel  $w$  besteht, können wir eine minimale  $r$ -dominierte Menge für  $G$  aus  $R$  und den Parametern von  $w$  berechnen.



Den im jeden Schritt gerade vorliegenden Baum nennen wir den *aktuellen Baum*. Entsprechend unterscheiden wir zwischen *aktuellen* und *nicht aktuellen* Knoten.

Sei  $x$  ein Blatt im gerade aktuellen Baum und  $R_x := R \cap V_G(T_x)$ . Ist  $x$  ein 1–Knoten, so haben die Parameter  $r(x)$ ,  $c(x)$  folgende Bedeutung:

- $c(x)$  gibt den minimalen Abstand (in  $T$ ) von  $x$  zu einem Knoten aus  $R_x$  an, falls ein solcher existiert. Andernfalls sei  $c(x) := \infty$ .
- $r(x)$  gibt den maximal möglichen Abstand an, in dem  $x$  im aktuellen Baum dominiert werden muß, um alle noch nicht von  $R_x$  dominierten nicht aktuellen Knoten in  $T_x$  und  $x$  zu dominieren.

Ist  $x$  ein 2–Knoten, so haben die Parameter von  $x$  folgende Bedeutung:

- $c(x)$  gibt, wie für einen 1–Knoten, den minimalen Abstand (in  $T$ ) von  $x$  zu einem Knoten aus  $R_x$  an, falls ein solcher existiert. Sonst sei  $c(x) := \infty$ .
- $A_x$  (bzw.  $B_x$ ) ist eine bzgl. der (Mengen–)Inklusion minimale Menge, die folgende Eigenschaften erfüllt:
  - (1)  $A_x \cup R_x$  (bzw.  $B_x \cup R_x$ ) dominiert alle Knoten aus  $T_x$ .
  - (2)  $A_x \cap x \neq \emptyset$  (bzw.  $B_x \cap x = \emptyset$ ).
- $C_x$  (bzw.  $D_x$ ) ist eine bzgl. der (Mengen–)Inklusion minimale Menge, die folgende Eigenschaften erfüllt:
  - (1)  $C_x \cup R_x$  (bzw.  $D_x \cup R_x$ ) dominiert alle Knoten aus  $T_x - x$  (bzw. alle Knoten  $y$  aus  $T_x - x$  mit  $d_G(x_1, y) \geq r(y)$ ).<sup>5</sup>
  - (2)  $C_x \cup R_x$  (bzw.  $D_x \cup R_x$ ) dominiert *nicht* alle Knoten aus  $x = \{x_1, x_2\}$ .
  - (3)  $C_x \cap x \neq \emptyset$  (bzw.  $D_x \cap x = \emptyset$ ).

Natürlich brauchen einige der Mengen  $A_x$ ,  $B_x$ ,  $C_x$  und  $D_x$  nicht unbedingt definiert zu sein.

- $A_x$  ist immer definiert, da  $V_G(T_x)$  alle Knoten aus  $T_x$  dominiert.
- Die Menge  $B_x$  ist genau dann definiert, wenn  $T_x \neq (\{x\}, \emptyset)$ , denn dann dominiert  $V_G(T_x - x)$  den gesamten Teilbaum  $T_x$ .
- Ist  $R_x \cap N_G(x) \neq \emptyset$  (d.h.  $c(x) = 1$ ), so ist  $C_x$  nicht definiert, da  $R_x$  bereits (alle Knoten aus)  $x$  dominiert. Andernfalls ist  $C_x$  immer definiert, da die Menge  $\{x_1\} \cup \{v \in V_G(T_x) : v \notin N_G[x]\}$  alle Knoten aus  $T_x - x$ , aber nicht  $x_2$  dominiert.
- Ist  $R_x \cap N_G(x) \neq \emptyset$  (d.h.  $c(x) = 1$ ), so ist  $D_x$  nicht definiert. Andernfalls ist  $D_x$  genau dann definiert, wenn kein Kind  $y$  von  $x$  ein 1–Knoten mit  $r$ –Wert 1 oder ein 2–Knoten ist, welcher zusätzlich ein Blatt in  $T$  ist (denn dann dominiert  $V_G(T_x) \setminus N_G[x]$  alle Knoten  $y$  aus  $T_x - x$  mit  $d_G(x_1, y) \geq r(y)$ , jedoch nicht  $x$ ).

<sup>5</sup>Es sei angemerkt, daß die Knoten aus  $\{y \in V_G(T_x - x) : d_G(x_1, y) \geq r(y)\}$  gerade diejenigen Knoten aus  $V_G(T_x - x)$  sind, die nicht durch  $\text{parent}(x)$  dominiert werden können (falls  $x$  nicht die Wurzel in  $T$  ist).

Der folgende Satz untersucht (im Falle ihrer Definiiertheit) die Kardinalität der Mengen  $B_x$ ,  $C_x$  und  $D_x$  in Bezug auf  $A_x$ .

**Satz 4.5.4**

Es gilt:

- (1) Ist  $B_x$  definiert, so gilt  $|B_x| + 1 \geq |A_x|$ ,
- (2) Ist  $C_x$  definiert, so gilt  $|C_x| + 1 \geq |A_x|$ ,
- (3) Ist  $D_x$  definiert, so gilt  $|D_x| + 2 \geq |A_x|$ ,
- (4) Sind  $B_x$  und  $D_x$  definiert, so gilt  $|D_x| + 1 \geq |B_x|$ .

**Beweis.** Wegen der Minimalität von  $A_x$  folgt

$$|B_x| + 1 = |B_x \cup \{x_1\}| \geq |A_x|.$$

Ist  $T_x = (\{x\}, \emptyset)$ , so sind (2) und (3) trivial. Andernfalls sei  $v \in N_G(x) \cap V_G(T_x)$ , dann gilt

$$|C_x| + 1 = |C_x \cup \{v\}| \geq |A_x|, \quad |D_x| + 2 = |D_x \cup \{v, x_1\}| \geq |A_x|.$$

(4) beweist man ebenso. ■

Die Mengen  $B_x$ ,  $C_x$  und  $D_x$  sind im folgenden meist nur interessant, wenn sie definiert sind und eine kleinere Kardinalität als  $A_x$  besitzen. Daher schreiben wir abkürzend:  $D_x$  ist *2-optimal*, falls  $D_x$  definiert ist und  $|D_x| + 2 = |A_x|$  gilt.  $L$  heißt *1-optimal*, falls  $L$  definiert ist und  $|L| + 1 = |A_x|$  erfüllt,  $L \in \{B_x, C_x, D_x\}$ .

Es seien  $P_1, \dots, P_k$  nicht notwendig definierte Mengen. Dann bezeichne  $\min\{P_1, \dots, P_k\}$  eine definierte Menge aus  $\{P_1, \dots, P_k\}$ , die minimale Kardinalität besitzt (falls mind. eine Menge aus  $\{P_1, \dots, P_k\}$  definiert ist). Sind alle Mengen aus  $\{P_1, \dots, P_k\}$  undefiniert, so sei  $\min\{P_1, \dots, P_k\} := \infty$ .

Wir kommen nun zur Initialisierung der Parameter der Blätter in  $T$ . Da  $R$  zu Beginn noch leer ist, müssen wir den  $c$ -Wert jedes Blattes mit  $\infty$  initialisieren. Weiter gibt  $r(v)$  für ein Blatt  $v$ , das ein 1-Knoten ist, dessen  $r$ -Wert aus der gegebenen Knotenbewertungsfunktion  $r$  auf  $G$  an. Die Mengenparameter eines Blattes  $v$ , das ein 2-Knoten ist, werden wie folgt initialisiert:

- $A_v = \{v_1, v_2\}$ ,
- $B_v$  nicht definiert,
- $C_v = \{v_1\}$  und
- $D_v = \emptyset$ .

Im Ausgangsgraphen erfüllen die Parameter der Blätter dann trivialerweise die oben angegebene Bedeutung.

Es sei der aktuelle Baum kein  $K_1$  und  $x$  sei hierin ein Vater von Blättern. Wir beschreiben nun, wie wir die Parameter von  $x$  belegen und welche, wenn überhaupt, Knoten wir zu  $R$  hinzufügen. Dabei beweisen wir für jeden Fall, daß die  $x$  zugewiesenen Parameter ihrer (oben beschriebenen) Bedeutung gerecht werden, und daß  $R$  mit einer minimalen  $r$ -dominierenden

Menge für den Restgraphen eine minimale  $r$ -dominierende Menge für  $G$  liefert (natürlich unter der Voraussetzung, daß die Parameter der Blätter im aktuellen Baum ihrer Bedeutung gerecht werden).

Sei  $K_x$  die Menge der Kinder von  $x$  im aktuellen Baum. Wir unterscheiden je nach Typ des  $x$ -Knotens zwei Fälle:

**Fall 1.**  $x$  ist ein 1-Knoten.

In diesem Fall können wir die Kinder von  $x$  sequentiell abpflücken. Hierbei haben die Parameter von  $x$  folgende Bedeutung: Sei  $K_{\text{ent}}^x$  die Menge der schon entfernten Kinder von  $x$  und  $V_{\text{ent}} := \bigcup_{u \in K_{\text{ent}}^x} V_G(T_u)$ .

- $c(x)$  gibt den minimalen Abstand (in  $T$ ) von  $x$  zu einem Knoten aus  $R \cap V_{\text{ent}}$  an, falls ein solcher existiert. Andernfalls sei  $c(x) := \infty$ .
- $r(x)$  gibt den maximal möglichen Abstand an, in dem  $x$  dominiert werden muß, um alle noch nicht von  $R \cap V_{\text{ent}}$  dominierten Knoten aus  $V_{\text{ent}} \cup \{x\}$  zu dominieren.

Klar ist, daß die Parameter von  $x$  nach dem Entfernen aller Kinder von  $x$  die oben beschriebene Bedeutung erhalten.

Die Parameter von  $x$  müssen wir wie folgt initialisieren:  $c(x) := \infty$  und  $r(x)$  sei der  $r$ -Wert des Knotens aus  $x$ .

Sei  $y$  ein noch nicht entferntes Kind von  $x$  und  $r(x)$ ,  $c(x)$  erfüllen obige Bedeutung. Wir entfernen dann  $y$  und aktualisieren die Parameter von  $x$  und  $R$  gemäß folgender Fallunterscheidung:

**Fall 1.1.**  $y$  ist ein 1-Knoten.

**Fall 1.1.1.**  $r(y) = 0$ .

Da  $r(y) = 0$  ist, müssen wir  $y$  zur Menge  $R$  hinzunehmen, d.h.  $R := R \cup \{y\}$ . Die Parameter von  $x$  werden wie folgt aktualisiert:  $c(x) := 1$ , da  $d(x, y) = 1$ . Ist  $r(x) \geq 1$ , so dominiert  $R \cap V_{\text{ent}}$  alle Knoten aus  $V_{\text{ent}}$  und  $x$ . Daher setzen wir  $r(x) := \infty$ . Ist  $r(x) = 0$ , so wird  $r(x)$  nicht aktualisiert.

**Fall 1.1.2.**  $r(y) > 0$ .

**Fall 1.1.2.1.** ( $r(y) = \infty$ ) oder ( $c(x) + 1 \leq r(y)$ ).

Dann werden alle Knoten in  $T_y$  bereits durch die Menge  $R \cap V_{\text{ent}}$  dominiert. Daher brauchen wir keinen Knoten aus  $T_y$  zu  $R$  hinzufügen.<sup>6</sup> Wir aktualisieren  $c(x)$  durch  $c(x) := \min\{c(x), c(y) + 1\}$ . Falls  $c(y) + 1 \leq r(x)$ , so werden alle Knoten aus  $V_{\text{ent}} \cup \{x\}$  bereits durch  $R \cap V_{\text{ent}}$  dominiert. Daher setzen wir in diesem Fall  $r(x) := \infty$ . Falls  $c(y) + 1 > r(x)$ , so wird  $x$  durch keinen Knoten aus  $R_y$   $r$ -dominiert. In diesem Fall aktualisieren wir  $r(x)$  nicht.

**Fall 1.1.2.2.** ( $r(y) \neq \infty$ ) und ( $c(x) + 1 > r(y)$ ).

Dann wird  $y$  nicht durch  $R \cap V_{\text{ent}}$  dominiert. Da  $r(y) > 0$  brauchen wir jedoch keinen Knoten aus  $T_y$  zu  $R$  hinzunehmen.<sup>6</sup> Wir aktualisieren daher den  $r$ -Wert von  $x$  durch  $r(x) := \min\{r(x), r(y) - 1\}$ . Weiter sei  $c(x) := \min\{c(x), c(y) + 1\}$ .

<sup>6</sup>Ist  $S$  eine minimale  $r$ -dominierende Menge in  $G$  mit  $R \subseteq S$  und  $S \cap (V(T_y) \setminus R) \neq \emptyset$ , so ist auch  $(S \setminus (V(T_y) \setminus R)) \cup \{x\}$  eine minimale  $r$ -dominierende Menge in  $G$ .

**Fall 1.2.**  $y$  ist ein 2–Knoten.

**Fall 1.2.1.**  $c(y) = 1$ .

Dann sind  $C_y$  und  $D_y$  undefiniert, da  $y$  bereits durch  $R_y$  dominiert wird. Um die noch nicht dominierten Knoten aus  $T_y$  zu dominieren, muß entweder  $A_y$  oder  $B_y$  zu  $R$  hinzugenommen werden.<sup>7</sup> (Denn: Sei  $K$  die Menge der noch nicht durch  $R$  dominierten Knoten in  $T_y$ . Da kein Knoten aus  $K$  durch einen Knoten aus  $T - V(T_y)$  dominiert werden kann, muß entweder  $A_y$  oder  $B_y$  zu  $R$  hinzugefügt werden.) Wir unterscheiden zwei Fälle:

**Fall 1.2.1.1.**  $B_y$  ist 1–optimal.

Dann ist es optimal  $B_y$  zu  $R$  hinzuzunehmen, da  $|B_y| + 1 = |A_y|$  und  $B_y \cup \{x\}$  mehr Elemente dominiert als  $A_y$ . Die Parameter von  $x$  aktualisieren wir wie folgt:  $c(x) := \min(c(x), c(y) + 1) = \min(c(x), 2)$ . Falls  $r(x) \geq 2$ , so dominiert  $R \cap V_{\text{ent}}$  bereits alle Knoten aus  $V_{\text{ent}} \cup \{x\}$ . Daher setzen wir dann  $r(x) := \infty$ .

**Fall 1.2.1.2.**  $B_y$  ist nicht 1–optimal.

Hier ist es optimal  $A_y$  zu  $R$  hinzuzunehmen, da  $|B_y| \geq |A_y|$  und  $A_y$  einen Knoten aus  $y$  enthält. Die Parameter von  $x$  aktualisieren wir wie folgt:  $c(x) := \min(c(x), 1) = 1$ . Falls  $r(x) \geq 1$ , so dominiert  $R \cap V_{\text{ent}}$  bereits alle Knoten aus  $V_{\text{ent}} \cup \{x\}$ . Daher setzen wir dann  $r(x) := \infty$ .

**Fall 1.2.2.**  $c(y) > 1$ .

Hier werden die Knoten aus  $y$  noch nicht durch  $R_y$  und damit auch nicht durch  $R_x$  dominiert. Wir haben also nur zwei Möglichkeiten, um die noch nicht dominierten Knoten in  $T_y$  zu dominieren. Entweder nehmen wir die Knoten aus  $A_y$  oder  $B_y$  zu  $R$  hinzu, so daß dann der gesamte Baum  $T_y$  durch  $R$  dominiert wird, oder wir nehmen  $C_y$  oder  $D_y$  zu  $R$  hinzu. Dann müssen wir jedoch auch  $x$  zu  $R$  hinzunehmen, da ein Knoten aus  $y$  noch nicht dominiert wird. Um zu entscheiden, welche der beiden Möglichkeiten die Optimalere ist, unterscheiden wir fünf Fälle. Die weiter hinten liegenden Fälle seien dabei mit den vorigen jeweils disjunkt zu verstehen.

**Fall 1.2.2.1.**  $D_y$  ist definiert und 2–optimal.

Dann nehmen wir  $D_y$  zu  $R$  hinzu und setzen  $r(x) := 0$  (d.h. wir fordern, daß  $x$ , wenn es entfernt wird, auf jeden Fall zu  $R$  hinzugefügt werden muß), sowie

$$c(x) := \begin{cases} \min(c(x), c(y) + 1), & \text{falls } D_y = \emptyset, \\ \min(c(x), c(y) + 1, 3), & \text{falls } D_y \neq \emptyset. \end{cases}$$

Dies ist optimal, da  $|D_y \cup \{x\}| \leq |\min\{A_y, B_y, C_y\}|$  und  $D_y \cup \{x\}$  mindestens so viele noch nicht dominierte Knoten dominiert wie einer der anderen (definierten) Mengenparameter von  $y$ .

**Fall 1.2.2.2.**  $B_y$  ist definiert und 1–optimal.

Dann nehmen wir  $B_y$  zu  $R$  hinzu und aktualisieren die Parameter von  $x$  wie folgt:  $c(x) := \min(c(x), 2)$  (da  $d(x, B_y) = 2$ ). Ist  $r(x) \geq 2$ , so sei  $r(x) = \infty$  (Begründung wie im Fall 1.2.1.1).

<sup>7</sup>Man beachte: Werden bereits alle Knoten in  $T_y$  durch  $R_y$  dominiert, so ist  $B_y = \emptyset$ .

Warum  $B_y$  optimaler ist als  $A_y$  und  $D_y$  ist klar. Wir müssen also nur bestätigen, daß dies auch dann der Fall ist, wenn  $C_y$  1-optimal ist. Dies sieht man so: Nehmen wir  $C_y$  zu  $R$  hinzu, so wird ein Knoten aus  $y$  noch nicht dominiert. Daher sind wir gezwungen auch  $x$  zu  $R$  hinzuzunehmen. Da  $B_y \cup \{x\}$  genauso viele noch nicht dominierte Knoten dominiert wie  $C_y \cup \{x\}$  ist hier  $B_y$  eine bessere oder gleichgute Wahl.

**Fall 1.2.2.3.**  $C_y$  ist definiert und 1-optimal.

Dann nehmen wir  $C_y$  zu  $R$  hinzu und aktualisieren:  $c(x) := 1$ ,  $r(x) := 0$ .

**Fall 1.2.2.4.**  $D_y$  ist definiert und 1-optimal.

Dann nehmen wir  $D_y$  zu  $R$  hinzu und aktualisieren:  $r(x) := 0$  und

$$c(x) := \begin{cases} \min(c(x), c(y) + 1), & \text{falls } D_y = \emptyset, \\ \min(c(x), c(y) + 1, 3), & \text{falls } D_y \neq \emptyset. \end{cases}$$

**Fall 1.2.2.5.** Keine der Mengen-Parameter  $B_y$ ,  $C_y$  und  $D_y$  ist optimal.

Dann nehmen wir  $A_y$  zu  $R$  hinzu und aktualisieren:  $c(x) := 1$  und falls  $r(x) \geq 1$  setzen wir  $r(x) := \infty$ .

**Fall 2.**  $x$  ist ein 2-Knoten.

Zunächst entfernen wir sequentiell alle Kinder  $y$  von  $x$ , die 1-Knoten sind und deren  $r$ -Wert ungleich 1 ist. Dazu initialisieren wir  $c(x)$  zunächst durch  $\infty$ . Ist  $r(y) = 0$ , so entfernen wir  $y$ , fügen  $y$  zu  $R$  hinzu und setzen  $c(x) := 1$ . Ist  $r(y) > 1$ , so entfernen wir  $y$  und aktualisieren  $c(x)$  durch  $c(x) := \min(c(x), c(y) + 1)$ .

Sind dann bereits alle Kinder abgepflückt, so bekommen die Mengenparameter von  $x$  folgende Werte zugewiesen:

Ist  $c(x) = 1$ , so sind  $C_x$  und  $D_x$  nicht definiert.  $A_x := \{x_1\}$  und  $B_x := \emptyset$ . Ist  $c(x) > 1$ , so setzen wir  $A_x := \{x_1, y\}$ ,  $B_x := \{y\}$ ,  $y$  ein beliebiges Kind von  $x$ ,<sup>8</sup>  $C_x := \{x_1\}$  und  $D_x := \emptyset$  (da  $1 = d(x, y) < r(y)$  für alle  $y \in K_x$ ).

Andernfalls gibt es noch Kinder  $y_1, \dots, y_m$  von  $x$ , die keine 1-Knoten mit  $r$ -Wert ungleich 1 sind.

Dann braucht keiner der schon entfernten Kinder von  $x$  zu einem Mengenparameter von  $x$  hinzugefügt werden: Sei  $y$  ein schon entferntes Kind von  $x$ . Ist  $r(y) = 0$ , so ist dies klar. Andernfalls, d.h. falls  $r(y) > 1$ , sieht man dies wie folgt: Da  $x \cap A_x, x \cap C_x \neq \emptyset$  gilt  $y \notin A_x$  und  $y \notin C_x$ . Aus  $d(x, y) = 1 < r(y)$  folgt  $y \notin D_x$ . Da jeder Knoten aus einem noch nicht entfernten Kind,  $y$  dominiert, können wir ebenfalls  $y \notin B_x$  annehmen.

Die übrig gebliebenen Kinder  $y_1, \dots, y_m$  dürfen wir nicht sequentiell abpflücken. Um die Bezeichnungsweise zu vereinfachen, fassen wir ein Kind  $y$  von  $x$ , das ein 1-Knoten mit  $r$ -Wert 1 ist, als einen 2-Knoten auf, und zwar mit den Mengen  $A_y = \{y\}$ ,  $D_y = \emptyset$  (denn: alle Knoten aus  $T_y$ , die noch nicht durch  $R_y$  dominiert werden, erfüllen  $r(y) + d(z, y) \leq r(y)$ , d.h.  $d(z, y) < r(y)$ ),

$$B_y := \begin{cases} \{z\}, & \text{falls } N_{T_y}(y) \neq \emptyset, z \in N_{T_y}(y), \\ \text{nicht definiert,} & \text{falls } N_{T_y}(y) = \emptyset, \end{cases}$$

<sup>8</sup>Nach Definition besitzt  $x$  mindestens ein Kind!

und  $C_y$  sei undefiniert.

Die Mengen-Parameter von  $x$  werden nun wie folgt aktualisiert:

- Es sei

$$O := \{x_1\} \cup \bigcup_{i=1}^m \min\{A_{y_i}, B_{y_i}, C_{y_i}, D_{y_i}\},$$

d.h.  $O$  ist diejenige Menge, die  $x_1$  und von jedem Kind  $y_i$ ,  $i = 1, \dots, m$ , eine (bzgl. der Kardinalität) minimale (definierte) Menge enthält. Dann muß  $|A_x| \geq |O|$  gelten.

Ist  $c(x) = 1$ , so können wir  $A_x := O$  setzen.

Ist  $c(x) > 1$ , so muß mindestens von einem Kind  $y_{i_0}$  die Menge  $A_{y_{i_0}}$  oder  $C_{y_{i_0}}$  hinzugenommen werden, damit alle Knoten aus  $x$  dominiert werden.<sup>9</sup> Für die übrigen Kinder  $y_j$ ,  $j \neq i_0$ , nehmen wir dann eine definierte Menge kleinster Kardinalität hinzu, d.h. also

$$A_x := \{x_1\} \cup K \cup \bigcup_{i \in \{1, \dots, m\} \setminus \{i_0\}} \min\{A_{y_i}, B_{y_i}, C_{y_i}, D_{y_i}\},$$

wobei

$$K \in \{A_{y_{i_0}}, C_{y_{i_0}}\}.$$

Um  $i_0$  und  $K$  anzugeben, unterscheiden wir mehrere Fälle. Die weiter hinten liegenden Fälle seien dabei mit den vorigen jeweils disjunkt zu verstehen.

**Fall I.** Es gibt ein  $j \in \{1, \dots, m\}$ , so daß die Kardinalität von  $B_{y_j}$ ,  $C_{y_j}$  und  $D_{y_j}$  (falls definiert) größer oder gleich der Kardinalität von  $A_{y_j}$  ist, d.h.  $|A_{y_j}| = |\min\{A_{y_j}, B_{y_j}, C_{y_j}, D_{y_j}\}|$ .

Dann sei  $i_0 := j$  und  $K := A_{y_{i_0}}$ .

Da  $|A_x| = |O|$  ist dies optimal.

**Fall II.** Es gibt ein  $j \in \{1, \dots, m\}$ , so daß  $C_{y_j}$  definiert und 1-optimal ist und  $D_{y_j}$  nicht 2-optimal ist.

Dann sei  $i_0 := j$  und  $K := C_{y_{i_0}}$ .

In diesem Fall hat  $C_{y_j}$  unter den definierten Mengenparameter von  $y_j$  die kleinste Kardinalität. Somit gilt wiederum  $|A_x| = |O|$ .

**Fall III.** Jedes Kind  $y_j$  besitzt eine optimale Menge als Parameter und falls  $C_{y_j}$  definiert und 1-optimal ist, so ist auch  $D_{y_j}$  definiert und 2-optimal,  $j = 1, \dots, m$ .

Existiert ein  $j$ , so daß  $C_{y_j}$  1-optimal ist, so setzen wir  $i_0 := j$  und  $K := C_{y_{i_0}}$ . Dann gilt  $|O| = |A_x| - 1$  (denn nur bei  $y_j$  haben wir anstatt der (bzgl. der Kardinalität) optimalen 2-optimalen Menge  $D_{y_j}$  die 1-optimale Menge  $C_{y_j}$  hinzugenommen). Doch  $O$  kann von keinem Kind eine A-Menge (da Fall I nicht erfüllt ist) und keine C-Menge (da Fall II nicht erfüllt ist) enthalten. Somit ist  $A_x$  richtig gewählt worden.

Ist für kein  $j$  die Menge  $C_{y_j}$  1-optimal so unterscheiden wir wiederum zwei Fälle:

<sup>9</sup>Wir dürfen o.B.d.A. voraussetzen, daß  $|A_x \cap x| = 1$  ist, denn im Falle  $|A_x \cap x| = 2$  ist  $(A_x \setminus \{x_2\}) \cup \{z\}$ ,  $z \in N_G(x) \cap V_G(T_x)$ , genauso optimal.

**Fall III.a.** Es gibt ein  $j \in \{1, \dots, m\}$ , so daß  $D_{y_j}$  nicht 2-optimal ist.

Dann sei  $i_0 := j$  und  $K := A_{y_{i_0}}$ .

Die Korrektheit beweist man wie oben, da wieder  $|O| = |A_x| - 1$ .

**Fall III.b.** Für jedes Kind  $y_j$  ist  $D_{y_j}$  2-optimal.

Dann sei  $i_0 \in \{1, \dots, m\}$  beliebig und  $K := A_{y_{i_0}}$ .

Da  $|O| = |A_x| - 2$  ist, haben wir auch in diesem Fall die richtige Wahl getroffen.

- Ist  $c(x) = 1$ , so ist  $B_x := \bigcup_{i=1}^m F_i$ , wobei für  $i \in \{1, \dots, m\}$  gilt

$$F_i := \begin{cases} B_{y_i}, & \text{falls } B_{y_i} \text{ definiert und 1-optimal ist,} \\ A_{y_i}, & \text{sonst.} \end{cases}$$

Ist  $c(x) > 1$ , so muß mindestens von einem Kind  $y_{i_0}$  die Menge  $A_{y_{i_0}}$  hinzugenommen werden. Wir setzen

$$B_x := A_{y_{i_0}} \cup \bigcup_{i \in \{1, \dots, m\} \setminus \{i_0\}} \min\{A_{y_i}, B_{y_i}\}.$$

Zur Wahl von  $i_0$  unterscheiden wir:

**Fall a.** Für ein Kind  $y_j$  ist  $B_{y_j}$  undefiniert oder  $B_{y_j}$  ist nicht 1-optimal.

Dann sei  $i_0 := j$ .

**Fall b.** Für jedes Kind  $y$  ist  $B_y$  1-optimal.

Dann sei  $i_0 \in \{1, \dots, m\}$  beliebig.

- Ist  $c(x) = 1$ , so ist  $C_x$  undefiniert. Andernfalls ist

$$C_x := \{x_1\} \cup \bigcup_{i=1}^m \min\{B_{y_i}, D_{y_i}\}.$$
<sup>10</sup>

- Ist  $c(x) = 1$ , so ist  $D_x$  nicht definiert. Ebenso falls für ein Kind  $y$  die Menge  $B_y$  undefiniert ist (d.h.  $y$  ist ein Blatt in  $T$ ). Andernfalls ist  $D_x := \bigcup_{i=1}^m B_{y_i}$ .

Nun kommen wir zu dem Fall, daß der aktuelle Baum nur noch aus genau einem Knoten  $w$  besteht. Wir unterscheiden wiederum zwei Fälle:

**Fall 1.**  $w$  ist ein 1-Knoten.

Ist  $r(w) \neq \infty$ , so nehmen wir  $w$  zu  $R$  hinzu.

**Fall 2.**  $w$  ist ein 2-Knoten.

Hier müssen wir zunächst überprüfen, ob die Knoten aus  $w$  bereits dominiert werden, d.h. ob  $c(w) = 1$  ist.

**Fall 2.1.**  $c(w) = 1$ .

Die Knoten  $w_1$  und  $w_2$  werden bereits durch Knoten aus  $R$  dominiert. Wir nehmen daher  $\min\{A_w, B_w, C_w, D_w\} = \min\{A_w, B_w\}$  zu  $R$  hinzu.

<sup>10</sup>Man beachte, daß eine der beiden Mengen  $B_{y_i}, D_{y_i}$  immer definiert ist!

**Fall 2.2.**  $c(w) > 1$ .

Die Knoten  $w_1$  und  $w_2$  werden nicht durch Knoten aus  $R$  dominiert. Daher müssen wir entweder  $A_w$  oder  $B_w$  zu  $R$  hinzunehmen. Falls  $B_w$  definiert und 1-optimal ist, nehmen wir  $B_w$  hinzu, andernfalls  $A_w$ .

$R$  ist dann eine minimale  $r$ -dominierende Menge für  $G$ . Somit erhalten wir:

#### Satz 4.5.5

Das RDS-Problem läßt sich auf  $\text{ME}_{\text{Ext}}^*$  (**Bäume**) in Linearzeit lösen.

**Beweis.** Die Korrektheit folgt unmittelbar induktiv aus den obigen Ausführungen. Somit brauchen wir nur noch bestätigen, daß sich der oben beschriebene Algorithmus in Linearzeit implementieren läßt. Eine starke Blätter Eliminationsordnung läßt sich nach Satz 4.5.3 in Linearzeit bestimmen. Problematisch ist nur die Aktualisierung der Mengenparameter. Denn würde man, wie im Algorithmus beschrieben, die Mengenparameter jedes 2-Knotens tatsächlich berechnen, so wäre die Laufzeit im schlechtesten Fall quadratisch in  $T$  (man beachte  $O(\sum_{x \in V} |V(T_x)|) \subseteq O(|V(T)|^2)$ ). Um dieses Problem zu umgehen, speichern wir für einen Vater von Blättern  $x$  im aktuellen Baum, der ein 2-Knoten ist, folgendes ab:

**Fall I.**  $x$  besitzt nur Kinder, die 1-Knoten sind, und deren  $r$ -Wert ungleich 1 ist.

Dann speichern wir die tatsächlichen (definierten) Mengenparameter  $A_x, B_x, C_x$  und  $D_x$  ab.

**Fall II.**  $x$  besitzt einen 1-Knoten mit  $r$ -Wert 1 oder einen 2-Knoten als Kind.

Hier wird nur die Bildung der (definierten) Mengenparameter aus denen der Kinder abgespeichert, d.h. für jeden (definierten) Mengenparameter  $P_x$  von  $x$  wird für jedes Kind  $y$  abgespeichert, welcher Mengenparameter von  $y$  zu  $P_x$  (wie im Algorithmus beschrieben) hinzugefügt wird.

Zusätzlich wird in beiden Fällen noch der Optimalitätsgrad der definierten Mengenparameter aus  $\{B_x, C_x, D_x\}$  und ein BOOLESCHE Variable, die entscheidet, ob  $D_x = \emptyset$  gilt, gemerkt.

Die abgespeicherten Informationen sind dann in  $O(\text{outdeg}(x))$ . Im folgenden zeigen wir, daß sie auch in  $O(\text{outdeg}(x))$  berechnet werden können.

Zunächst berechnet man  $|O|$  ( $O$  sei die Menge aus Fall 2, Akt. des  $A$ -Parameters, des obigen Algorithmus, siehe Seite 64). Danach werden die Informationen über  $A_x$  bestimmt (welcher Fall für  $A_x$  eintritt, läßt sich in  $O(\text{outdeg}(x))$  entscheiden). Dann wissen wir auch, wie die Kardinalität von  $A_x$  bzgl. der von  $O$  aussieht (s. Algorithmus,  $|A_x| \in \{|O| + i : i = 0, 1, 2\}$ ). Anschließend werden die Informationen für  $B_x, C_x$  und  $D_x$  bestimmt. Hierbei läßt sich leicht feststellen, wie der Optimalitätsgrad der (definierten)  $B$ -,  $C$ - bzw.  $D$ -Mengenparameter aussieht (man benötigt ja nur die Kardinalität der Mengen  $B_x, C_x$  und  $D_x$  in Bezug auf  $|O|$ ).

Zu zeigen bleibt, daß ein Mengenparameter, falls er zu  $R$  hinzugefügt wird (dies kann nur im Fall 1.2 ( $x \neq w$ ) oder im Fall 2 ( $x = w$ ) auftreten), effizient berechnet werden kann. Dazu sei  $x$  ein Knoten, für den ein Mengenparameter  $P_x$  benötigt wird. Wir gehen dann wie folgt (rekursiv) vor:<sup>11</sup>

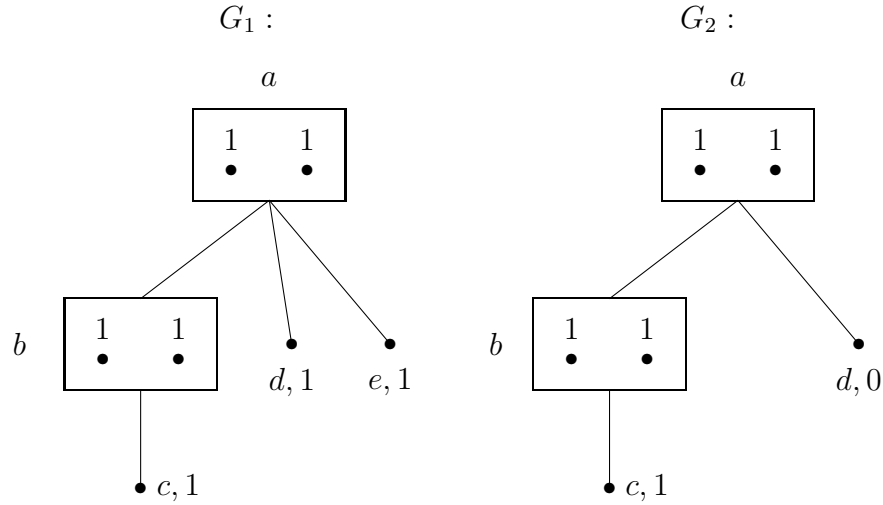
Es sei  $y \in V(T_x)$  ein 2-Knoten oder ein 1-Knoten, der im Fall 2 als ein 2-Knoten aufgefaßt wurde. Ferner sei  $P_y$  ein (definierter) Mengenparameter von  $y$ . Dann ist Mengenparameter( $y, 'P_y'$ ) die folgende Funktion:<sup>12</sup>

<sup>11</sup>Dieses Vorgehen läßt sich leicht mit Breitensuche implementieren.

<sup>12</sup> $P_y'$  soll hierbei als Information aufgefaßt werden, daß der Mengenparameter  $P_y$  berechnet werden soll.



Abbildung 4.7: Zwei Beispiele zum RDS-Algorithmus auf MExt\*(Bäume)



Seien  $z_1, \dots, z_k$  die Kinder von  $y$ , denen Mengenparameter zugeordnet sind. Ist  $x$  ein 1-Knoten, der im Fall 2 als ein 2-Knoten aufgefaßt wurde, oder ist  $k = 0$ , so sei

$$\text{Mengenparameter}(y, 'P_y') := P_y$$

(in diesem Fall wurde  $P_y$  bereits berechnet (s.o., Fall I)). Ist  $k > 0$ , so sei  $'P_{z_i}'$ ,  $i = 1, \dots, k$ , diejenige Information, die für das Kind  $z_i$  für den Parameter  $P_y$  abgespeichert wurde (s.o., Fall II). Dann setzen wir

$$\text{Mengenparameter}(y, 'P_y') := I_y \cup \bigcup_{i=1}^k \text{Mengenparameter}(z_i, 'P_{z_i}'),$$

wobei

$$I_y := \begin{cases} \{y_1\}, & \text{falls } 'P_y' \in \{'A_y', 'C_y'\}, \\ \emptyset, & \text{falls } 'P_y' \in \{'B_y', 'D_y'\}. \end{cases}$$

Dann ist  $P_x = \text{Mengenparameter}(x, 'P_x')$ . Sei  $K$  die Menge der Knoten aus  $V(T_x - x)$ , denen ein Mengenparameter zugeordnet ist und dessen Vater kein 1-Knoten ist. Zur Berechnung von  $P_x$  wird dann die Zeit  $O(t)$  benötigt, wobei  $t$  die Größe der Zusammenhangskomponente von  $T_x(\{x\} \cup K)$  ist, in der  $x$  liegt.

Da ein Mengenparameter nur im Fall 1.2 ( $x \neq w$ ) oder im Fall 2 ( $x = w$ ) berechnet werden muß, benötigt man die Zeit  $O(|V(T)|)$  zur Berechnung aller im Algorithmus benötigten Mengenparameter.

Insgesamt läßt sich der Algorithmus also in Linearzeit implementieren (man beachte  $\sum_{v \in V} \text{outdeg}(v) \leq \sum_{v \in V} \text{deg}(v) = 2|E|$ ). ■

Wir betrachten nun noch zwei Beispiele zum obigen Algorithmus. In Abbildung 4.7 sind zwei knotenbewertete Graphen  $G_1$  und  $G_2$  aus MExt\*(Bäume) in Baumdarstellung dargestellt. Als starke Blätter Eliminationsordnung benutzen wir  $((b, \{c\}), (a, \{b, d, e\}), a)$  für  $G_1$  und  $((b, \{c\}), (a, \{b, d\}), a)$  für  $G_2$ . Nach dem Entfernen von  $c$ , bekommt  $b$  in beiden Graphen die Parameter  $c(b) = \infty$ ,  $A_b := \{b_1, c\}$ ,  $B_b := \{c\}$ ,  $C_b := \{b_1\}$ ,  $D_b$  ex. nicht zugeordnet.

In  $G_1$  werden anschließend die Knoten  $d$  und  $e$  als 2-Knoten aufgefaßt, d.h.  $c(d) = c(e) = \infty$ ,  $A_d = \{d\}$ ,  $A_e = \{e\}$ ,  $D_d = D_e = \emptyset$  und  $B_d, C_d, B_e, C_e$  ex. nicht. Die Parameter für  $a$  werden dann (in  $G_1$ ) wie folgt belegt:  $c(a) = \infty$ ,  $A_a := \{a_1\} \cup C_b \cup D_d \cup D_e = \{a_1, b_1\}$ ,  $B_a := B_b \cup A_d \cup A_e = \{c, d, e\}$ ,  $C_a := \{a_1, \} \cup B_b \cup D_d \cup D_e = \{a_1, c\}$ ,  $D_a$  ex. nicht. Damit ist  $R \cup A_a = \{a_1, b_1\}$  eine minimale  $r$ -dominierende Menge in  $G_1$ .

In  $G_2$  wird nach dem Entfernen von  $c$  zunächst auch  $d$  entfernt und  $R := \{d\}$ ,  $c(a) = 1$  gesetzt. Die Parameter für  $a$  werden dann wie folgt belegt:  $c(a) = 1$ ,  $A_a := \{a_1\} \cup C_b = \{a_1, b_1\}$  (oder  $A_a := \{a_1\} \cup B_b = \{a_1, c\}$ ),  $B_a := B_b = \{c\}$ ,  $C_a$  und  $D_a$  ex. nicht. Damit ist  $R \cup B_a = \{c, d\}$  eine minimale  $r$ -dominierende Menge in  $G_2$ .

Diese beiden Beispiele zeigen einen wichtigen Aspekt: Bei den Algorithmen für das **RDS**-Problem auf Bäumen ([Sla76], [HY90], [BCD94]) kann nach dem Entfernen eines Blattes entschieden werden, ob es zur minimalen  $r$ -dominierenden Menge hinzugefügt werden darf bzw. muß, oder nicht. Hier ist ein solches Vorgehen nicht möglich, denn: Man sieht leicht, daß es keine minimale  $r$ -dominierende Menge für  $G_1$  gibt, die  $c$  enthält, und daß  $\{c, d\}$  die einzige minimale  $r$ -dominierende Menge für  $G_2$  ist. Somit kann nach dem Entfernen von  $c$  noch nicht entschieden werden, ob  $c$  zur Menge  $R$  hinzugefügt werden muß oder nicht.

## 4.6 NP-vollständige Probleme auf modularen Erweiterungen

Es seien  $G = (V, E)$  ein Graph und  $x \notin V$ . Dann sei  $G \bowtie x := (V', E')$  derjenige Graph, den man erhält, wenn man  $x$  mit jedem Knoten in  $G$  verbindet, d.h.

$$V' := V \cup \{x\}, \quad E' := E \cup \{vx : v \in V\}.$$

Es sei  $G = (V, E)$  ein Graph. Folgende Graphenparameter sind grundlegend für die algorithmische Graphentheorie:

$$\alpha(G) := \max\{|I| : I \subseteq V, G(I) \text{ unabhängig}\},$$

$$\omega(G) := \alpha(\overline{G}) = \max\{|C| : C \subseteq V, G(C) \text{ vollständig}\},$$

$$\chi(G) := \min\{k : V_1, \dots, V_k \text{ eine Partition von } V, G(V_1), \dots, G(V_k) \text{ unabhängig}\},$$

$$\kappa(G) := \chi(\overline{G}) = \min\{k : V_1, \dots, V_k \text{ eine Partition von } V, G(V_1), \dots, G(V_k) \text{ vollständig}\}.$$

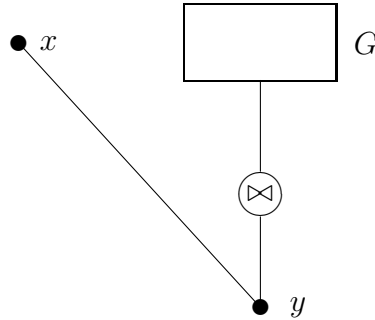
$\chi(G)$  nennt man auch die *chromatische Zahl* von  $G$ , da  $\chi(G)$  die minimale Anzahl von Farben angibt, die man benötigt, um die Knoten von  $G$  so zu färben, daß je zwei benachbarte Knoten nicht die gleiche Farbe zugewiesen bekommen.

Insbesondere für perfekte Graphen spielen obige Graphenparameter eine entscheidene Rolle.  $G$  heißt  $\alpha$ -perfekt (bzw.  $\chi$ -perfekt), falls für jedes  $V' \subseteq V$  gilt  $\alpha(G(V')) = \kappa(G(V'))$  (bzw. falls für jedes  $V' \subseteq V$  gilt  $\chi(G(V')) = \omega(G(V'))$ ).  $G$  heißt perfekt, falls  $G$   $\alpha$ -perfekt oder  $\chi$ -perfekt ist. Dann gilt der folgende

### Satz 4.6.1 (Perfect Graph Theorem, [Lov72])

Für einen Graphen  $G$  sind folgende Aussagen äquivalent:

- (1)  $G$  ist perfekt.

Abbildung 4.8: Der Graph  $G' := (G + x) \bowtie y$ 

(2)  $G$  ist  $\alpha$ -perfekt.

(3)  $G$  ist  $\chi$ -perfekt. ■

Besonders im Hinblick auf algorithmischen Nutzen spielen die perfekten Graphen eine zentrale Rolle (vgl. [Gol80]).

Modulare Erweiterungen einer Graphenklasse sind dagegen meist nicht perfekt, denn: Ein  $C_5$  ist nicht perfekt, da  $\chi(C_5) = 3 \neq 2 = \omega(G)$ . Damit ist auch der Graph  $C_5 \bowtie x$  nicht perfekt, aber z.B.  $C_5 \bowtie x \in \text{MExt}^*(\{K_2\})$ .

#### Satz 4.6.2

Auf der Graphenklasse  $\mathbf{G} := \{G \bowtie x : G \text{ Graph, } x \notin V(G)\}$  sind folgende Probleme NP-vollständig:

- (1) Die Berechnung der Graphenparameter  $\alpha(G)$ ,  $\omega(G)$ ,  $\kappa(G)$  und  $\chi(G)$ .
- (2) Das **HC**-Problem (HAMILTONkreis Problem).
- (3) Das **HP**-Problem (HAMILTONpfad Problem).
- (4) Das **RDHC**- und **RDHP**-Problem.

**Beweis.** Wir benutzen Satz 1.2.2, denn die Berechnung der Graphenparameter, das **HC**- und das **HP**-Problem sind für beliebige Graphen NP-vollständig ([GJ79], [Bra94]).

Es sei  $G$  ein Graph,  $x \notin V(G)$  und  $G' := G \bowtie x$ . Dann gilt

$$\alpha(G') := \alpha(G), \quad \omega(G') := \omega(G) + 1, \quad \kappa(G') := \kappa(G), \quad \chi(G') := \chi(G) + 1,$$

woraus (1) folgt.

(2) sieht man so:  $G$  besitzt genau dann einen HAMILTONpfad, wenn  $G'$  einen HAMILTONkreis besitzt. (Denn ist  $P$  ein HAMILTONpfad in  $G$ , so ist  $x - P - x$  ein HAMILTONkreis in  $G'$ . Weiter ist jeder HAMILTONkreis in  $G'$  von der Form  $x - P - x$ ,  $P$  ein HAMILTONpfad in  $G$ .)

Seien  $G$  ein Graph und  $x, y \notin V(G)$ . Weiter sei  $G' := (G + x) \bowtie y$  (vgl. Abbildung 4.8). Dann gilt

$$G \text{ hat einen HAMILTONpfad} \iff G' \text{ hat einen HAMILTONpfad.}$$

Ist  $P$  ein HAMILTONpfad in  $G$ , so ist  $P - y - x$  ein HAMILTONpfad in  $G'$ . Umgekehrt beginnt (oder endet) jeder HAMILTONpfad  $P'$  in  $G'$  bei  $x$ ,  $P'$  hat also die Form  $P' = x - y - P$  (oder  $P' = P - y - x$ ),  $P$  ein HAMILTONpfad in  $G$ .

(4) folgt unmittelbar daraus, daß ein Graph  $G$  genau dann einen HAMILTONpfad (bzw. HAMILTONkreis) besitzt, falls der knotenbewertete Graph  $(G, r)$ ,  $r : V(G) \rightarrow \mathbb{N}$ ,  $r \equiv 0$ , einen  $r$ -dominierenden Pfad (bzw. Kreis) besitzt. ■

Da  $\text{MExt}^*(\mathbf{Bäume}) \supset \{G \bowtie x : G \text{ Graph}, x \notin V(G)\}$  erhalten wir sofort:

### Korollar 4.6.3

Auf der Graphenklasse  $\text{MExt}^*(\mathbf{Bäume})$  sind folgende Probleme  $\mathbb{NP}$ -vollständig:

- (1) Die Berechnung der Graphenparameter  $\alpha(G)$ ,  $\omega(G)$ ,  $\kappa(G)$  und  $\chi(G)$ .
- (2) Das **HC**-Problem.
- (3) Das **HP**-Problem.
- (4) Das **RDHC**- und **RDHP**-Problem. ■

# Literaturverzeichnis

- [ADKP89] K. ABRAHAMSON, N. DADOUN, D. G. KIRKPATRICK, AND T. PRZYTYCKA. A simple parallel tree contraction algorithm. *Journal of Algorithms* 10, pages 287–302, 1989.
- [AHU74] A. AHO, J. HOPCROFT, AND J. ULLMAN. The design and analysis of computer algorithms. Addison–Wesley, 1974.
- [BCD94] A. BRANDSTÄDT, V. D. CHEPOI, AND F. F. DRAGAN. The algorithmic use of hypertree structure and maximum neighbourhood orderings. *Technical Report SM-DU-244, Gerhard–Mercator–Universität — Gesamthochschule Duisburg, 1994. 20th International Workshop "Graph–Theoretic Concepts in Computer Science" 1994, Springer, Lecture Notes in Computer Science 903, pages 65–80. Theoretical Computer Science (to appear).*
- [BD94] A. BRANDSTÄDT AND F. F. DRAGAN. A linear time algorithm for connected  $r$ –domination and Steiner Tree on Distance–Hereditary Graphs. *Technical Report SM-DU-261, Gerhard–Mercator–Universität — Gesamthochschule Duisburg, 1994.*
- [BDCV93] A. BRANDSTÄDT, F. F. DRAGAN, V. D. CHEPOI, AND V. I. VOLOSHIN. Dually chordal graphs. *Technical Report SM-DU-225, Gerhard–Mercator–Universität — Gesamthochschule Duisburg, 1993. 19th International Workshop "Graph–Theoretic Concepts in Computer Science" 1993, Springer, Lecture Notes in Computer Science 790 (Jan van Leeuwen, ed.), pages 237–251.*
- [BDN94] A. BRANDSTÄDT, F. F. DRAGAN, AND F. NICOLAI. Homogeneously orderable graphs. *Technical Report SM-DU-271, Gerhard–Mercator–Universität — Gesamthochschule Duisburg, 1994. 21th International Workshop "Graph–Theoretic Concepts in Computer Science" 1995, Springer, Lecture Notes in Computer Science (to appear).*
- [BK87] A. BRANDSTÄDT AND D. KRATSCH. Domination problems on permutation and other graphs. *Theoretical Computer Science* 54, pages 181–198, 1987.
- [Bra93] A. BRANDSTÄDT. Special graph classes — a survey (revised version). *Technical Report SM-DU-199, Gerhard–Mercator–Universität — Gesamthochschule Duisburg, 1993.*
- [Bra94] A. BRANDSTÄDT. Graphen und Algorithmen. B. G. Teubner, Stuttgart, 1994.

- [Bun74] A. BUNEMAN. A characterization of rigid circuit graphs. *D.M.* 9, pages 205–212, 1974.
- [Col86] R. COLE. Parallel merge sort. *FOCS*, 1986.
- [CP84] D. G. CORNEIL AND Y. PERL. Clustering and domination in perfect graphs. *D.A.M.* 9, pages 27–39, 1984.
- [CV86a] R. COLE AND U. VISHKIN. Approximate and exact parallel scheduling with applications to list, tree and graph problems. *FOCS*, 1986.
- [CV86b] R. COLE AND U. VISHKIN. Deterministic coin tossing and acceleration cascades: Micro and macro techniques for designing parallel algorithms. *Proceedings of the 18th Annual ACM Symposium on Theory of Computing*, pages 206–219, 1986.
- [Dah95] E. DAHLHAUS. Efficient parallel modular decomposition. *21th International Workshop "Graph-Theoretic Concepts in Computer Science"*, Springer, *Lecture Notes in Computer Science (to appear)*, 1995.
- [DB94] F. F. DRAGAN AND A. BRANDSTÄDT.  $r$ -dominating cliques in Helly graphs and chordal graphs. *Proc. of the 11th STACS, Caen, France, Springer, LNCS 775*, 1994.
- [DMS88] A. D'ATRI, M. MOSCARINI, AND A. SASSANO. The steiner tree problem and homogeneous sets. *MFCS '88, Springer, Lecture Notes in Computer Science 324*, pages 246–261, 1988.
- [DN95] F. F. DRAGAN AND F. NICOLAI.  $r$ -domination problems on homogeneously orderable graphs. *Technical Report SM-DU-275, Gerhard-Mercator-Universität — Gesamthochschule Duisburg, 1995. Accepted for FCT 1995.*
- [Dra93] F. F. DRAGAN. HT-graphs: centers, connected  $r$ -domination and Steiner Trees. *Computer Science Journal of Moldova Vol. 1, No. 2*, pages 64–83, 1993.
- [Dra94] F. F. DRAGAN. Dominating cliques in distance-hereditary graphs. "Algorithm Theory – SWAT '94" *4th Scandinavian Workshop on Algorithm Theory Aarhus, Denmark, July 1994, Springer, LNCS 824 (Erik M. Schmidt and Sven Skyum, eds.)*, 1994.
- [Duc76] P. DUCHET. Propriete de Helly et problemes de representation. *In Colloqu. Internat. CNRS 260, Problemes Combinatoires et Theorie du Graphs, Orsay, France*, pages 117–118, 1976.
- [Fla78] C. FLAMENT. Hypergraphs arbores. *D.M.* 21, pages 223–226, 1978.
- [Gav74] F. GAVRIL. The intersection graphs of subtrees in trees are exactly the chordal graphs. *J. Comb. Th. (B)* 16, pages 47–56, 1974.
- [GJ79] M. R. GAREY AND D. S. JOHNSON. Computers and Intractability: A guide to the theory of NP-completeness. *W. H. Freeman*, 1979.

- [Gol80] M. C. GOLUMBIC. Algorithmic graph theory and perfect graphs. *Academic Press*, 1980.
- [GR88] A. GIBBONS AND W. RYTTER. Efficient parallel algorithms. *Cambridge University Press*, 1988.
- [Har94] T. J. HARRIS. A survey of PRAM simulation techniques. *ACM Comp. Surveys*, Vol. 26, No. 2, pages 185–206, 1994.
- [HHM89] R. B. HAYWARD, C. HOANG, AND F. MAFFRAY. Optimizing weakly triangulated graphs. *Graphs and Combin.* 5, pages 339–349, 1989.
- [HM90] P. L. HAMMER AND F. MAFFRAY. Completely separable graphs. *D.A.M.* 27, pages 85–99, 1990.
- [HY88] X. HE AND Y. YESHA. Binary tree algebraic computation and parallel algorithms for simple graphs. *Journal of Algorithms* 9, pages 92–113, 1988.
- [HY90] Y. HE AND Y. YESHA. Efficient parallel algorithms for  $r$ -dominating set and  $p$ -center problems on trees. *Algorithmica*, pages 129–145, 1990.
- [Ja92] J. JA JA. An Introduction to parallel algorithm. *Addison–Wesley*, 1992.
- [KDL94] D. KRATSCH, P. DAMASCHKE, AND A. LUBIW. Dominating cliques in chordal graphs. *D.M.* 128, pages 269–275, 1994.
- [Lov72] L. LOVASZ. Normal hypergraphs and the perfect graph conjecture. *D.M.* 2, pages 253–267, 1972.
- [Lub87] A. LUBIW. Doubly lexical orderings of matrices. *SIAM J. Comput.* 16, No. 5, pages 854–879, 1987.
- [MB87] H. MÜLLER AND A. BRANDSTÄDT. The NP-completeness of Steiner Tree and Dominating Set for chordal bipartite graphs. *Theor. Comp. Science* 53, pages 257–265, 1987.
- [MS94] R. MCCONNELL AND J. SPRINRAD. Linear-time modular decomposition and efficient transitive orientation of comparability graphs. In *5th Annual ACM-SIAM Symposium of Discrete Algorithms (SODA)*, pages 536–545, 1994.
- [Nic94a] F. NICOLAI. A hypertree characterisation of distance-hereditary graphs. *Technical Report SM-DU-255, Gerhard–Mercator–Universität — Gesamthochschule Duisburg*, 1994.
- [Nic94b] F. NICOLAI. Strukturelle und algorithmische Aspekte distanz-erblicher Graphen und verwandter Klassen. *Dissertation, Gerhard–Mercator–Universität — Gesamthochschule Duisburg*, 1994.
- [NS95] F. NICOLAI AND T. SZYMCZAK. Homogeneous extensions of trees and  $r$ -domination problems. *Technical Report (to appear), Gerhard–Mercator–Universität — Gesamthochschule Duisburg*, 1995.

- [Ola89] S. OLARIU. Weak bipolarizable graphs. *D.M.* 74, pages 159–171, 1989.
- [PT86] R. PAIGE AND R.E. TARJAN. Three Partition Refinement Algorithms. *SIAM J. Comput.* Vol. 16 No. 5, 1986.
- [Rei90] K. R. REISCHUK. Einführung in die Komplexitätstheorie. *B. G. Teuber, Stuttgart*, 1990.
- [RTL76] D. ROSE, R. E. TARJAN, AND G. LUEKER. Algorithmic aspects on vertex elimination on graphs. *SIAM J. Comput.* Vol. 5, pages 266–283, 1976.
- [Sei74] D. SEINSCHKE. On a property of the class of  $n$ -colorable graphs. *J. Comb. Th. (B)* 16, pages 191–193, 1974.
- [Sla76] P. L. SLATER.  $R$ -domination in graphs. *J. Assoc. Comput. Mach.*, 23 (3), pages 446–450, 1976.
- [Spi93] J.P. SPINRAD. Doubly Lexical Ordering of Dense 0-1 Matrices. *I.P.L.* 45, pages 229–235, 1993.
- [SV82] Y. SHILOACH AND U. VISHKIN. An  $O(\log n)$  parallel connectivity algorithm. *Journal of Algorithms* 3, pages 57–67, 1982.
- [SV88] B. SCHIEBER AND U. VISHKIN. On finding lowest common ancestors: Simplification and parallelization. *SIAM J. Comput.* Vol. 17, No. 6, pages 1253–1262, 1988.
- [TY84] R. E. TARJAN AND M. YANNAKAKIS. Simple linear-time algorithms to test chordality of graphs, test acyclicity of hypergraphs, and selectively reduce acyclic hypergraphs. *SIAM J. Comput.* Vol. 13, No. 3, pages 566–579, 1984.
- [Vis83] U. VISHKIN. Synchronous parallel computation — A survey. *Technical Report TR-71, Department of Computer Science, Courant Institute, New York University*, 1983.
- [Wal72] J.R. WALTER. Representations of rigid cycle graphs. *PhD thesis, Wayne State Univ.*, 1972.



# Symbol- und Sachwortverzeichnis

- $B(T)$ , 11  
 $C_n$ , 5  
 $D(v, k)$ , 4  
 $G - U$ , 4  
 $G - u$ , 4  
 $G(U)$ , 4  
 $G_1 + G_2$ , 4  
 $K_n$ , 4  
 $L(u, v)$ , 12  
 $N(U)$ , 4  
 $N(v)$ , 4  
 $N[U]$ , 4  
 $N[v]$ , 4  
 $N^k(v)$ , 4  
 $O(f)$ , 3  
 $P(u, v)$ , 5  
 $P_n$ , 5  
 $T_G$ , 40  
 $T_v$ , 6  
 $T_w$ , 5  
 $V_1 \bowtie V_2$ , 39  
 $V_1 \parallel V_2$ , 39  
 $c(G)$ , 5  
**B-ATC**( $T_w, l, f$ ), 18  
 Bypass( $v$ ), 14  
 $\mathcal{E}(v)$ , 6  
 MExt( $G, v, H$ ), 40  
 MExt\*( $\mathbf{G}$ ), 40  
 HMExt\*( $\mathbf{G}$ ), 50  
 MRed( $G, M, v_M$ ), 39  
 $\mathcal{H}^*$ , 6  
 $\mathcal{M}(G)$ , 41  
 Mod( $G$ ), 44  
 $\mathbb{N}$ , 3  
 NC, 8  
 NP, 8  
 NP-vollständig, 8  
 Prim( $G$ ), 41  
 Prune( $b$ ), 13  
 $\mathbb{P}$ , 8  
 $\mathbb{P}$ -vollständig, 9  
 Root-Tree( $T, w$ ), 7  
**T-ATC**( $T_w, a, (h_e)_{e \in E}$ ), 18  
 ZHK( $G$ ), 5  
 $\mathbb{Z}$ , 3  
 $\alpha$ -perfekt, 68  
 $\alpha(G)$ , 68  
 $\overline{G}$ , 4  
 $\chi$ -perfekt, 68  
 $\chi(G)$ , 68  
 deg( $v$ ), 4  
 depth( $T$ ), 5  
 depth( $v$ ), 5  
 hered( $\mathbf{G}$ ), 49  
 $\kappa(G)$ , 68  
 kgV( $U$ ), 23  
 $\leq_{\text{logspace}}$ , 9  
 $\leq_{\text{pol}}$ , 8  
 $\min\{P_1, \dots, P_k\}$ , 60  
 $\omega(G)$ , 68  
 outdeg( $v$ ), 5  
 parent( $v$ ), 5  
 succ, 21  
 $\wp$ , 3  
 $\wp_k$ , 3  
 2SEC( $\mathcal{H}$ ), 43  
 $d(v, W)$ , 5  
 $d_G(v, w)$ , 5  
 $kG$ , 4  
 (Op1), 16  
 (Op2), 17  
**M**, 41  
**Prim**, 39  
 1-Knoten, 58  
 1-optimal, 60  
 2-Knoten, 58  
 2-optimal, 60

- 2-section-graph, 43
- Abstand, 5
- adjazent, 4
- Adjazenzliste, 5
- Anfangsknoten, 4
- anti join-zerlegbar, 39
- APSP**, 21
- Ausgangsgrad, 5
- B-ATC Problem**, 16  
zerlegbar, 16
- Baum, 5  
aktuelle, 59  
modulare, 40  
unterliegender, 6, 51
- Baumdarstellung, 51
- Baumkontraktion, 14
- benachbart, 4
- Binärbaum, 11
- Blätter, 5
- Blätter-Eliminationsordnung, 19  
starke, 56
- chordal, 43
- chromatische Zahl, 68
- Clique, 4
- Cograph, 50
- CRCW-PRAM**, 6
- CRDS-Problem**, 27
- CREW-PRAM**, 6
- disjunkte Vereinigung, 4
- Dominationsprobleme, 27
- DS-Problem**, 27
- dual chordal, 49
- dualer Hyperbaum, 6
- Endbelegung, 16, 17
- Endknoten, 4
- EREW-PRAM**, 6
- Funktion  
logspace-berechenbar, 8  
polynomialzeit-berechenbar, 8
- Grad, 4
- Graph  
anti join-zerlegbarer, 39  
dual chordaler, 49  
join-zerlegbarer, 39  
knotenbewerteter, 51  
komplementärer, 4  
kreisfreier, 5  
perfekter, 68  
regulärer, 11  
unabhängiger, 4  
vollständiger, 4  
zusammenhängender, 5
- Graphenklasse  
hereditäre, 49
- Hamilton, 70
- Handschlagslemma, 4
- HC-Problem**, 70
- homogene Menge, 39
- HP-Problem**, 70
- Hyperbaum, 6
- Hypergraph, 6  
duale, 6  
dualer Hyperbaum, 6  
Hyperbaum, 6  
konform, 43  
unterliegender Baum, 6
- join-zerlegbar, 39
- $k$ -elementigen Teilmengen einer Menge, 3
- $k$ -te Disk, 4
- $k$ -te Nachbarschaft, 4
- Kante, 4
- Kantenmenge  
unabhängige, 21
- KDS-Problem**, 27
- Kind  
linkes, 11  
rechtes, 11
- Kinder, 5
- kleinste gemeinsame Vorgänger, 24
- Knoten, 4  
aktueller, 59  
extremaler, 49
- Knotenüberdeckung, 21
- komplementärer Graphen, 4
- konform, 43
- Kontraktion, 14  
unabhängig, 14

- Kontraktionsfolge, 14
  - Länge, 14
  - optimale, 14
  - unabhängige, 14
- Kreis, 5
  - sehnenlos, 5
- kreisfrei, 5
- Landauschen Symbole, 3
- Linkskante, 12
- list ranking, 7
  - gewichtetes, 7
- Matching, 21
- Maximum–Nachbar, 49
- Maximum–Nachbarschaftsordnung, 49
- Maximumsberechnung, 7
- Menge
  - homogene, 39
  - Kardinalität einer, 3
  - modulare, 39
  - unabhängige, 4
  - vollständige, 4
- Minimumsberechnung, 7
- Modul, 39
  - echt, 39
  - trivial, 39
- modulare Baum, 40
- modulare Menge, 39
- Module
  - überlappende, 40
  - überlappungsfreie, 40
- Nachbarschaft
  - abgeschlossene, 4
  - offene, 4
- Nachfolger, 5
  - unmittelbarer, 5
- optimal, 7
- Partialsommenproblem, 7
- perfekt, 68
- Pfad, 4, 35
  - Länge, 5
  - sehnenlos, 5
- polynomialzeit–reduzierbar, 8
- Potenzmenge, 3
- PRAM**, 6
  - CRCW**, 6
  - CREW**, 6
  - EREW**, 6
  - Speicherkonflikte, 6
- Primgraphbildung
  - abgeschlossen bezüglich, 44
- Primgraphen, 39
- $r$ –dominierende Clique, 28
- $r$ –dominierende Menge, 27
  - minimale, 27
- $r$ –dominierender Kreis, 28
- $r$ –dominierender Pfad, 28
- RDC**–Problem, 28
- RDHC**–Problem, 28
- RDHP**–Problem, 28
- RDS**–Problem, 27
- regulär, 11
- Söhne, 5
- speedup–optimal, 6
- SSSP**, 21
- Steinerbaumproblem, 27
- T-ATC** Problem, 17
  - zerlegbar, 17
- Tiefe, 5
- unabhängig, 4
- Vater, 5
- Vater von Blättern, 56
- Vertex Cover, 21
- vollständig, 4
- Vorgänger, 5
  - unmittelbarer, 5
- Wälder, 5
- Wurzel, 5
- Wurzelbaum, 5
  - binärer, 11
  - Nachfolger, 5
    - unmittelbarer, 5
  - regulärer, 11
  - Vorgänger, 5
    - unmittelbarer, 5
- Zahl

chromatische, 68  
zusammenhängend, 5  
Zusammenhangskomponente, 5

# Erklärung

Hiermit bestätige ich, daß ich die vorliegende Arbeit selbständig verfaßt, keine anderen als die angegebenen Quellen und Hilfsmittel benutzt, sowie Zitate kenntlich gemacht habe.

---

(Datum)

---

(Unterschrift)